

Азәрбајҹан ССР
Елмләр Академијасы
Академия наук
Азербайджанской ССР

ISSN 0002-3078

**МӘ'РУЗӘЛӘР
ДОКЛАДЫ**

ЧИЛД
XLII
ТОМ



1986

15 ИБ

ДАН Азерб. ССР публикует краткие сообщения об оригинальных, нигде не печатанных ранее, результатах научных исследований, представленные академиками АН Азерб. ССР, которые тем самым берут на себя ответственность за научные достоинства представляемой статьи.

В «Докладах» не публикуются крупные статьи, механически разделенные на ряд отдельных сообщений, статьи полемического характера, без новых фактических сообщений, статьи полемического характера, без новых фактических данных, статьи с описанием промежуточных опытов, без определенных выводов и обобщений, чисто методические статьи, если предлагаемый метод не является принципиально новым, а также статьи по систематике растений и животных (за исключением описания особо интересных для науки находок).

Будучи органом срочной информации, журнал «ДАН Азерб. ССР» принимает и отбирает к печати статьи, объем которых допускает их публикацию в установленные решением Президиума АН Азерб. ССР сроки.

В связи со всеми перечисленными ограничениями отклонение статьи редакцией «Доклады АН Азерб. ССР» означает только, что она не согласуется с требованиями и возможностями этого журнала и не исключает ее публикации в других изданиях:

ПРАВИЛА ДЛЯ АВТОРОВ

Редакция журнала «Доклады АН Азерб. ССР» просит авторов руководствоваться приведенными правилами и надеется, что авторы ознакомятся с ними прежде, чем пришлют статью в редакцию.

Статьи, присланные без соблюдения этих правил, к рассмотрению не принимаются.

1. Статьи, направляемые в редакцию, должны иметь представление члена АН СССР или академика АН Азерб. ССР, если оно требуется (см. выше).

Статьи с просьбой направить их на представление редакцией не принимаются.

2. Статья публикуется по мере поступления. Единственным поводом для внеочередной публикации является исключительная важность сообщения и соображения приоритета. Для этого необходимо специальное решение редколлегии.

3. Как правило, редакция направляет предоставленные статьи на рецензию.

4. «Доклады» помещают не более трех статей одного автора в год. Это правило не распространяется на членов АН СССР, академиков Академии наук Азерб. ССР.

5. Авторы должны определить раздел, в который следует поместить статью, а также дать индекс статьи по Универсальной десятичной классификации (УДК). К статье прилагается отпечатанный на машинке реферат в двух экземплярах, предназначенный для передачи в один из реферативных журналов ВИНИТИ.

6. В конце статьи нужно указать полное название учреждения, в котором выполнено исследование, фамилии всех авторов, а также полный почтовый адрес и номер телефона (служебный и домашний) каждого соавтора.

Кроме того, авторский коллектив должен указать лицо, с которым редакция будет вести переговоры и переписку.

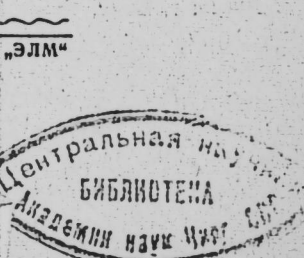
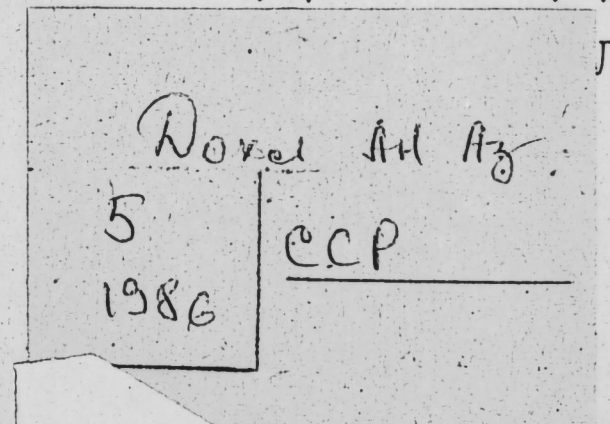
7. Возвращение рукописи автору на доработку не означает, что статья принята к печати. После получения доработанного текста рукопись вновь рассматривается редакцией. Доработанный текст автор должен вернуть вместе с первоначальным экземпляром статьи, а также ответом на все замечания. Датой поступления считается день получения редакцией окончательного варианта статьи.

8. В «Докладах» публикуются статьи, занимающие не более $\frac{1}{4}$ авторского листа (6 страниц машинописи). В этот объем входят текст, таблицы, библиография (не больше 15 источников) и рисунки, число которых не должно превышать четырех, включая и обозначения «а», «б» и т. д. в том числе вклейки на мелованной бумаге. Вклейки даются только для микрофотографий большого увеличения. Штриховые рисунки (карты, схемы и т. п.) на вклейках не печатаются, а даются на кальке. Текст и графический материал представляются в двух экземплярах. Повторение одних и тех же данных в тексте, таблицах и графиках недопустимо. Рисунки должны быть выполнены четко, в формате, обеспечивающем ясность передачи всех деталей фотографии представляются на глянцевой бумаге. Подписи к рисункам должны быть напечатаны в 2-х экземплярах через два интервала на отдельной странице. На обороте рисунков мягким карандашом указываются фамилии авторов, название статьи и номер рисунка.

(Продолжение на третьей странице обложки)

МЭРУЗЭЛЭР ДОКЛАДЫ

ЛД



РЕДАКЦИОННАЯ КОЛЛЕГИЯ:

Э. Ю. Салаев (главный редактор), Г. Б. Абдуллаев, М. Т. Абасов, В. С. Алиев, Г. А. Алиев, Дж. А. Алиев, И. Г. Алиев, Дж. Б. Гулиев, Н. А. Гулиев, М. З. Джафаров, Ф. Г. Максудов, А. А. Надиров, Ю. М. Сейдов (зам. главного редактора), М. А. Усейнов, Г. Г. Зейналов (ответств. секретарь).

УДК 517.956.6

МАТЕМАТИКА

Акад. Ф. Г. МАКСУДОВ. Т. М. РАСУЛОВ

О ЕДИНСТВЕННОСТИ РЕШЕНИЯ ОДНОЙ СМЕШАННОЙ
ЗАДАЧИ ДЛЯ КВАЗИЛИНЕЙНОЙ СИСТЕМЫ В ОБЛАСТИ
С ПЕРЕМЕННОЙ ГРАНИЦЕЙ

В работах [2, 3] предложена удобная схема метода последовательных приближений для решения смешанной задачи

$$\left. \begin{aligned} \frac{\partial c_1}{\partial t} &= f_1(\alpha_3, p_3, p_4) \\ \frac{\partial \alpha_2}{\partial t} &= f_2(\alpha_3, \alpha_4, p_3, p_4, p_5) \\ \frac{\partial \alpha_3}{\partial t} - f_{31}(\alpha_3, \alpha_4, p_3, p_4) \frac{\partial \alpha_3}{\partial x} &= f_{32}(\alpha_3, \alpha_4, p_3, p_4, p_5) \\ \frac{\partial p_k}{\partial t} - D_k \frac{\partial^2 p_k}{\partial x^2} &= F_{3+k} \left(\alpha_1, \alpha_2, \alpha_3, \frac{\partial \alpha_1}{\partial x}, \frac{\partial \alpha_2}{\partial x}, \frac{\partial \alpha_3}{\partial x}, \frac{\partial^2 \alpha_1}{\partial x^2}, \right. \\ &\quad \left. \frac{\partial^2 \alpha_2}{\partial x^2}, \frac{\partial^2 \alpha_3}{\partial x^3}, p_1, p_2, p_3, p_4, p_5 \right) \end{aligned} \right\} \quad (1)$$

$$(\kappa = \overline{1, 5}), a(t) < x < b(t), 0 < t < T$$

$$\alpha_k(x, 0) = \alpha_{k0}(x) (\kappa = \overline{1, 3}), p_k(x, 0) = p_{k0}(x) (\kappa = \overline{1, 5}) \quad (2)$$

$$p_k[a(t), t] = \varphi_k(t), p_k[b(t), t] = \Psi_k(t) (\kappa = \overline{1, 5}), \quad (3)$$

где D_k — положительные постоянные (см. также [1]).

Предполагалось выполнение условий:

1°. Функции $a(t)$ и $b(t)$ при $t \in [0, T]$ удовлетворяют условию Гельдера с показателем, большим $1/2$, функции $\varphi_k(t)$ и $\Psi_k(t)$ непрерывны на $[0, T]$.

2°. Функции $\alpha_{k0}(x)$ ($\kappa = \overline{1, 3}$) имеют непрерывные производные до четвертого порядка, а функции $p_{k0}(x)$ ($\kappa = \overline{1, 5}$) — до третьего, на интервале $[a(0), b(0)]$ (предполагается, что $a(0) \leq a(t), b(t) \leq b(0)$ при $t \in [0, T]$).

3°. Правые части системы (1) дважды непрерывно-дифференцируемы в замкнутом кубе K_0^{19} с центром в точке $(\alpha_{10}(x), \alpha_{20}(x), \alpha_{30}(x), \frac{\partial \alpha_{10}}{\partial x}(x), \dots, \frac{\partial \alpha_{30}}{\partial x}(x), \frac{\partial^2 \alpha_{10}}{\partial x^2}(x), \frac{\partial^2 \alpha_{20}}{\partial x^2}(x), \frac{\partial^2 \alpha_{30}}{\partial x^2}(x), p_{10}(x), \dots, p_{50}(x), \frac{\partial p_{10}}{\partial x}(x), \dots, \frac{\partial p_{50}}{\partial x}(x))$ и со стороной $2L$ (где L —

© Издательство „Элм“, 1986

Сдано в набор 12. 03. 86. Подписано к печати 09. 07. 86. ФГ 06169. Формат бумаги 70×100^{1/16}. Бумага типографская № 1. Гарнитура шрифта литературная. Печать высокая. Усл. печ. лист 7,47. Усл. кр.-отт. 7,47. Уч.-изд. лист 6,91. Тираж 580. Заказ 462. Цена 70 коп.

Издательство „Элм“.

370143 Баку-143, проспект Нариманова, 31, Академгородок, Главное здание Типография „Красный Восток“ Государственного комитета Азербайджанской ССР по делам издательства, полиграфии и книжной торговли. Баку, ул. Ази Асланова, 80.

Адрес: г. Баку, Коммунистическая, 10. Редакция «Докладов Академии наук Азербайджанской ССР»

достаточно большое положительное постоянное) при всех $x \in [a(0), b(0)]$.

В работе [2] доказано существование решения смешанной задачи (1)–(3) в области $\Pi_t = \{(x, t) : a(0) \leq x \leq b(0), 0 \leq t \leq \varepsilon\}$, при достаточно малом $\varepsilon > 0$, получаемого как предел построенных последовательных приближений.

Настоящая работа посвящена доказательству единственности решения задачи (1)–(3) в области Π_t .

Имеет место

Теорема. При выполнении условий 1–3° смешанная задача (1)–(3) имеет единственное решение в области Π_t .

Доказательство. Пусть задача (1)–(3) имеет в области Π_t два решения: $\alpha_k(x, t)$ ($k = \overline{1, 3}$), $\rho_k(x, t)$ ($k = \overline{1, 5}$), $\tilde{\alpha}_k(x, t)$, $\tilde{\rho}_k(x, t)$ ($k = \overline{1, 5}$). Тогда наибольшее из чисел

$$\max_{\Pi_t} |\alpha_k(x, t) - \tilde{\alpha}_k(x, t)|, \quad \max_{\Pi_t} |\rho_k(x, t) - \tilde{\rho}_k(x, t)| \quad (4)$$

отлично от нуля. Обозначим его через δ . Очевидно, что разность упомянутых решений

$$\alpha_k^{(1)}(x, t) = \alpha_k(x, t) - \tilde{\alpha}_k(x, t), \quad \rho_k^{(1)}(x, t) = \rho_k(x, t) - \tilde{\rho}_k(x, t)$$

удовлетворяет системе интегро-дифференциальных соотношений

$$\begin{aligned} \alpha_k^{(1)}(x, t) &= \int_0^t [f_2[\alpha(x, \tau), \alpha_4(x, \tau), \rho_3(x, \tau), \rho_4(x, \tau)] - \\ &- f_k[\tilde{\alpha}_3(x, \tau), \tilde{\alpha}_4(x, \tau), \tilde{\rho}_3(x, \tau), \tilde{\rho}_4(x, \tau)]] d\tau \quad (k = 1, 2), \\ \alpha^{(1)}(x, t) &= \int_0^t \left\{ \left[f_{31}(\alpha_3, \alpha_4, \rho_3, \rho_4) \frac{\partial \alpha_3(x, \tau)}{\partial x} + f_{32}(\alpha_3, \alpha_4, \rho_3, \rho_4, \rho_5) \right] - \right. \\ &- \left. \left[f_{31}(\tilde{\alpha}_3, \tilde{\alpha}_4, \tilde{\rho}_3, \tilde{\rho}_4) \frac{\partial \tilde{\alpha}_3(x, \tau)}{\partial x} + f_{32}(\tilde{\alpha}_3, \tilde{\alpha}_4, \tilde{\rho}_3, \tilde{\rho}_4, \tilde{\rho}_5) \right] \right\} d\tau, \\ \rho_k^{(1)}(x, t) &= \int_0^t d\tau \int_{a(0)}^{b(0)} \frac{\exp \left[-\frac{|x-\xi|^2}{4D_k(t-\tau)} \right]}{2\sqrt{\pi D_k(t-\tau)}} \left[F_{3+k}[\alpha_1(\xi, \tau), \alpha_2(\xi, \tau), \right. \\ &\left. \alpha_3(\xi, \tau), \frac{\partial \alpha_1(\xi, \tau)}{\partial \xi}, \dots \frac{\partial \alpha_3(\xi, \tau)}{\partial \xi}, \frac{\partial^2 \alpha_1(\xi, \tau)}{\partial \xi^2}, \dots \frac{\partial^2 \alpha_3(\xi, \tau)}{\partial \xi^2}], \right. \\ &\left. \rho_1(\xi, \tau), \dots \rho_5(\xi, \tau), \frac{\partial \rho_1(\xi, \tau)}{\partial \xi}, \dots \frac{\partial \rho_5(\xi, \tau)}{\partial \xi} \right] - F_{3+k} \left[\tilde{\alpha}_1(\xi, \tau), \right. \\ &\left. \tilde{\alpha}_2(\xi, \tau), \tilde{\alpha}_3(\xi, \tau), \frac{\partial \tilde{\alpha}_1(\xi, \tau)}{\partial \xi}, \dots \frac{\partial \tilde{\alpha}_3(\xi, \tau)}{\partial \xi}, \right. \\ &\left. \frac{\partial^2 \tilde{\alpha}_1(\xi, \tau)}{\partial \xi^2}, \dots \frac{\partial^2 \tilde{\alpha}_3(\xi, \tau)}{\partial \xi^2}, \tilde{\rho}_1(\xi, \tau), \dots \tilde{\rho}_5(\xi, \tau), \right. \\ &\left. \frac{\partial \tilde{\rho}_1(\xi, \tau)}{\partial \xi}, \dots \frac{\partial \tilde{\rho}_5(\xi, \tau)}{\partial \xi} \right] \right\} d\tau. \end{aligned} \quad (5)$$

В силу условия 3° правые части системы (1) удовлетворяют условию Липшица с некоторым постоянным N . Следовательно, из (3) получаем

$$|\alpha_k^{(1)}(x, t)| \leq \int_0^t N |\alpha_3(x, \tau) - \tilde{\alpha}_3(x, \tau)| + |\alpha_4(x, \tau) - \tilde{\alpha}_4(x, \tau)| + \\ + |\rho_3(x, \tau) - \tilde{\rho}_3(x, \tau)| + |\rho_4(x, \tau) - \tilde{\rho}_4(x, \tau)| d\tau \quad (k = 1, 2), \quad (6)$$

$$|\alpha_3^{(1)}(x, t)| \leq \int_0^t N \left\{ |\alpha_3(x, \tau) - \tilde{\alpha}_3(x, \tau)| + \left| \frac{\partial \alpha_3(x, \tau)}{\partial x} - \frac{\partial \tilde{\alpha}_3(x, \tau)}{\partial x} \right| + \right. \\ \left. + |\alpha_4(x, \tau) - \tilde{\alpha}_4(x, \tau)| + |\rho_3(x, \tau) - \tilde{\rho}_3(x, \tau)| + \right. \\ \left. + |\rho_4(x, \tau) - \tilde{\rho}_4(x, \tau)| + |\rho_5(x, \tau) - \tilde{\rho}_5(x, \tau)| \right\} d\tau, \quad (7)$$

$$|\rho^{(1)}(x, t)| \leq \int_0^t N \left\{ \sum_{k=1}^3 |\alpha_k(\xi, \tau) - \tilde{\alpha}_k(\xi, \tau)| + \right. \\ \left. + \sum_{k=1}^3 \left| \frac{\partial^2 \alpha_k(\xi, \tau)}{\partial \xi^2} - \frac{\partial^2 \tilde{\alpha}_k(\xi, \tau)}{\partial \xi^2} \right| + \sum_{k=1}^5 |\rho_k(\xi, \tau) - \tilde{\rho}_k(\xi, \tau)| + \right. \\ \left. + \sum_{k=1}^5 \left| \frac{\partial \rho_k(\xi, \tau)}{\partial \xi} - \frac{\partial \tilde{\rho}_k(\xi, \tau)}{\partial \xi} \right| \right\} d\tau \quad (k = \overline{1, 5}). \quad (8)$$

Из (6)–(8) следуют неравенства

$$|\alpha_k^{(1)}(x, t)| \leq 19Nt \leq 12Ne \quad (k = \overline{1, 3}) \quad (9)$$

$$|\rho_s^{(1)}(x, t)| \leq 19Nt \leq 19Ne \quad (s = \overline{1, 5})$$

Повторяя эти рассуждения m раз, из (5) получим неравенства

$$|\alpha_k^{(1)}(x, t)| \leq \frac{(19Ne)^m}{m!}$$

или

$$0 < \delta \leq \frac{(19Ne)^m}{m!}$$

При $m \rightarrow \infty$ будем иметь $\delta = 0$. Полученное противоречие доказывает теорему.

Литература

- Максудов Ф. Г., Нигматуллин Р. И., Хабеев Н. С. Труды всесоюзного семинара по численным методам решения задач фильтрации. — Баку, 1978.
- Расулов Т. М. Дифференциальные уравнения, 1982, т. XVIII, № 8, с. 1427—1440.
- Расулов Т. М. Материалы IV Республикаской конф. молодых ученых по математике и механике. — Баку, 18—21 марта 1980 г.

Институт
математики и механики
АН АзССР

Поступило 8. II. 1985

Ф. Г. Максудов, Т. М. Расулов

ДЭЈИШЭН СЭРҮЭДЛИ ОБЛАСТ ҮЧҮН ГОЈУЛМУШ КВАЗИХЭТТИ СИСТЕМИН ҚАЛЛИНИН ЈЕКАНЭЛИИ НАГГЫНДА

Мәгәләдә мислилар мәһілүлла нефтиң лајдан чыхарылмасы мәсэләсүнин өрәнил-
мәсүндә мејдана чыхан дәјишиң сэрүэдли област үчүн гојулмуш гејри-хәттү систем-
мин қаллниң әлверишли ардычыл жаһынлашма үсүлү тәклиф олунур. Қаллни јеканэ-
лии наггында теорем исбат олунмушшур.

ABOUT A SINGLE SOLUTION OF A MIXED PROBLEM FOR A QUASI-LINEAR SYSTEM IN THE AREA WITH CHANGEABLE BOUNDARY

The article gives a convenient scheme of the method of consecutive approximations for the solution of a non-linear mixed problem in the area with a changeable boundary imitating the process of oil displacement from beds with micellar solutions. The theorem of a single problem is proved.

А. Д. ИСКЕНДЕРОВ, А. А. НИФТИЕВ

**ЗАДАЧА ОПТИМАЛЬНОГО УПРАВЛЕНИЯ
ДЛЯ КВАЗИЛИНЕЙНЫХ ЭВОЛЮЦИОННЫХ УРАВНЕНИЙ**

(Представлено академиком АН Азербайджанской ССР М. Л. Расуловым)

В данной работе рассмотрена задача оптимального управления системами, описываемыми дифференциально-операторными уравнениями первого и второго порядков в гильбертовом пространстве. Управление входит в операторные коэффициенты и правую часть уравнения. Доказана теорема существования решения, установлено необходимое условие оптимальности в виде принципа максимума, найдено выражение градиента функционала в случае его дифференцируемости и дано применение полученных результатов к одной задаче оптимального управления. Подробно рассматривается задача для абстрактного эволюционного уравнения первого порядка. Результаты для уравнения второго порядка приводятся вкратце, так как эта задача изучается аналогично задаче для уравнения первого порядка.

В работах [1—4] также изучены задачи оптимального управления для абстрактных эволюционных уравнений. К данной работе наиболее близка работа [3], где постановка задачи и вид критерия качества отличаются от поставки и критерия качества в рассмотренной ниже задаче.

Уравнение первого порядка. Пусть V_0 —замкнутое ограниченное множество в гильбертовом пространстве U , $V = \{v : v \in L_2(0, T; U), v(t) \in V_0, \forall t \in (0, T)\}$, A_0 —неограниченный замкнутый линейный оператор, отображающий плотную в гильбертовом пространстве H область $D(A_0)$ в H , $A(t, v)$ —самосопряженный линейный оператор, при каждом $t \in [0, T]$ и $v \in V_0$ действующий из $D(A_0)$ в H и удовлетворяющий неравенствам

$$m \|A_0 \varphi\|_H \leq \|A(t, v) \varphi\|_H \leq M \|A_0 \varphi\|_H, \quad \forall t \in [0, T], \\ v \in V_0, \quad \varphi \in D(A_0),$$

где m и M положительные постоянные. Кроме того, пусть $H_0 = D(A_0)$ —гильбертово пространство с нормой

$$\|\varphi\|_{H_0}^2 = \|\varphi\|_H^2 + \|A_0 \varphi\|_H^2, \quad \varphi \in D(A_0).$$

C —линейный непрерывный оператор, действующий из H_0 в гильбертово пространство H_1 , оператор $B(t, v)$ для каждого $t \in [0, T]$ и $v \in V_0$ непрерывно действует из H_0 в H ; оператор $f(t, v)$ непрерыв-

но действует из $[0, T] \times L_2(0, T; U)$ в $L_2(0, T; H)$; оператор $K(t, v, u, p)$ непрерывно действует из $[0, T] \times V \times L_2(0, T; H) \times L_2(0, T; H_1)$ в $L_2(0, T)$; $\Phi(u)$ —непрерывный функционал, определенный на H . Через W обозначим банахово пространство функций $u = u(t)$, принадлежащих $L_2(0, T; H_0)$, силью непрерывных по t в норме H , имеющих конечную норму

$$\|u\|_W = \max_{0 \leq t \leq T} \|u(t)\|_H + \|A_0(u)\|_{L_2(0,T;H)}$$

Через W_0 обозначим подпространство пространства W , для элементов которого выполняется соотношение:

$$\int_0^{T-h} h^{-1} \|u(t+h) - u(t)\|_H^2 dt \rightarrow 0 \text{ при } h \rightarrow 0.$$

Рассмотрим задачу о минимизации функционала

$$J(v) = \int_0^T K(t, v(t), u(t), Cu(t)) dt + \\ + \alpha \int_0^T \|v(t) - \omega(t)\|_U^2 dt + \Phi(u(T)) \quad (1)$$

на множество V при условиях

$$u_t + A^2(t, v) u + B(t, v) u = f(t, v), \quad (2) \\ u(0) = \varphi, \quad (3)$$

где $\varphi \in H$, $\omega \in L_2(0, T; U)$, $\alpha > 0$ —заданное число. Задачу об определении функции $u(t)$ из условий (2), (3) при заданном $v \in V$ назовем радуцированной задачей. Под решением радуцированной задачи будем понимать функцию $u(t) \in W_0$, удовлетворяющую тождеству

$$(u(t), \eta(t)) + \int_0^t [-(u, \eta_t) + (A(\tau, v) u, A(\tau, v) \eta) + (B(\tau, v) u - f(\tau, v), \eta)] d\tau = (\varphi, \eta(0)), \quad \forall t \in [0, T], \quad (4)$$

для $\forall \eta = \eta(t) \in L_2(0, T; H_0)$, $\eta_t \in L_2(0, T; H)$, (\cdot, \cdot) —скалярное произведение в H . Далее всюду предполагается выполнение следующих условий.

1. Оператор $K(t, v, u, p)$ на любом элементе $u, p \in L_2(0, T; H)$ обладает производными Фреше $K_u(t, \tau, u, p)$, $K_p(t, \tau, u, p)$ и эти производные непрерывны по совокупности аргументов. Кроме того, $K(t, v, u, p) \geq \mu_1$, μ_1 — некоторая постоянная, $\mu_1 > -\infty$.

2. Оператор $B(t, v)$ при любом $t \in [0, T]$ и $v \in V_0$ дифференцируем по Фреше на $L_2(0, T; H_0)$ и его производная по Фреше $B_u(t, v, u)$ непрерывна по совокупности переменных.

3. Функционал $\Phi(u)$ непрерывно дифференцируем по Фреше на H и существует постоянное $\mu_2 \in R$, что $\Phi(u) \geq \mu_2$.

4. Операторы $A(t, v)$, $B(t, v)$ на любом элементе $u \in H_0$ удовлетворяют условию Каратеодори, т. е. при любом $v \in V_0$ измеримы по $t \in (0, T)$ и при $\forall t \in (0, T)$ непрерывны по $v \in V_0$. Кроме того,

$$\|B(t, v) u_2 - B(t, v) u_1\|_H \leq N_1 \|u_2 - u_1\|_{H_0},$$

Теорема 1. Существует плотное подмножество G пространства $L_2(0, T; U)$ такое, что для любого $\omega \in G$ при $\alpha > 0$ задача (1)–(3) имеет единственное решение.

Пусть $\psi(t)$ является решением из W_0 задачи

$$-\psi_t + A^2(t, v) \psi + B_u^*(t, v, u) \psi = K_u(t, \tau, u, Cu) + \\ + C^* K_p(t, \tau, u, Cu), \quad (5)$$

$$\psi(T) = -\Phi_u(u(T)); \quad (6)$$

Здесь $B_u^*(t, v, u)$ —оператор сопряженный к оператору $B_u(t, v, u)$. Этую систему назовем сопряженной к (1)–(3) системой. Пусть решения редуцированной задачи (2), (3) и сопряженной задачи (5), (6) существуют, единственные и выполняются оценки

$$\|u\|_W \leq \text{const}, \quad \forall v \in V.$$

Функционал

$$H(t, v, u, \psi) = (A(t, v) u, A(t, v) \psi) + (B(t, v) u - f(t, v), \psi) - \\ - K(t, v, u, Cu) - \alpha \|v - \omega\|_U^2$$

назовем функционалом Гамильтона–Понtryгина задачи (1)–(3).

Теорема 2. Для оптимальности управления $v^*(t) \in V$ необходимо выполнение условия

$$H(t, v^*(t), u^*(t), \psi^*(t)) = \\ = \max_{v \in V_0} H(t, v, u^*(t), \psi^*(t)), \quad \forall t \in (0, T), \quad (7)$$

где $u^*(t)$, $\psi^*(t)$ —решения соответствующей редуцированной и сопряженной задач при управлении $v = v^*(t)$,

Теорема 3. Пусть операторы $K(t, v, u, p)$, $A(t, v)$, $B(t, v)$, $f(t, v)$ имеют непрерывные производные Фреше по переменной $v \in V_0$ и для всех $\tau_1, \tau_2 \in V_0$

$$\|A(t, v_2) u - A(t, \tau_1) u\|_H \leq N_2 \|u\|_H \|\tau_2 - v_1\|_U, \\ \|B(t, \tau_2) u - B(t, v_1) u\|_H \leq N_3 \|\tau_2 - v_1\|_U, \\ \|f(t, v_2) - f(t, \tau_1)\|_H \leq N_4 \|v_2 - \tau_1\|_U.$$

Тогда функционал (1) дифференцируем по Фреше на V и для его градиента верна формула

$$J'(v) = -H_v(t, \tau, u, \psi), \quad (8)$$

где $H_v(t, v, u, \psi)$ —производная Фреше функционала $H(t, v, u, \psi)$ по v .

II. Уравнение второго порядка. Пусть требуется минимизировать функционал

$$J(v) = \int_0^T K(t, v(t), u(t), u_t(t), Cu(t)) dt + \\ + \alpha \int_0^T \|v(t) - \omega(t)\|_U^2 dt + \Phi(u(T)) \quad (9)$$

на множестве $V = \{v : v \in W_2^1(0, T; U), v(t) \in V_0, v_t(t) \in V_1, \forall t \in (0, T)\}$ при условиях:

$$u_{tt} + A^2(t, \tau) u + B(t, v) u = f(t, v), \quad (10)$$

$$u(0) = \varphi_0, \quad u_t(0) = \varphi_1, \quad (11)$$

где $\varphi_0 \in H_0$, $\varphi_1 \in H$, C , $B(t, v)$, $f(t, v)$, $\Phi(z)$, $K(t, \tau, u, p, q)$ определяются как в случае задачи (1)–(3) и удовлетворяют всем наложенным выше на них условиям. Под решением задачи (10), (11) при заданном $v \in V$ будем понимать функцию $u(t) \in L_2(0, T; H_0)$, такую, что $u_t \in L_2(0, T; H_0)$, $u_{tt} \in L_2(0, T; H)$, а также удовлетворяющую начальным условиям (11) и тождеству

$$\int_0^T [(u_{tt}, \eta) + A(t, v)u, A(t, v)\eta] + \\ + (B(t, \tau)u - f(t, v)\eta) dt = 0 \quad (12)$$

где $\forall \eta = \eta(t) \in L_2(0, T; H_0)$. Понятия функционала Гамильтона–Понтрягина $H(t, v, u, \psi)$ для задачи (9)–(11) и сопряженной к ней системы вводятся аналогично тому, как это сделано в случае задачи (1)–(3). Предположим, что решения задачи (10), (11) и сопряженной задачи существуют, единственны и выполняются оценка:

$$\|u\|_{L_2(0,T;H_0)} + \|u_t\|_{L_2(0,T;H)} \leq c, \quad \forall v \in V.$$

При принятых предположениях для решения экстремальной задачи (9)–(11) имеют место утверждения теорем 1–3.

Рассмотренная в работе [6] задача при подходящем выборе функциональных пространств может быть сформулирована в виде задачи (1)–(3). Кроме того, аналогичная задача для систем параболических уравнений также выражается в виде (1)–(3). Следовательно, для всех этих задач будут иметь место утверждения теорем 1–3.

Литература

- Лионс Ж.-Л. — УМН, 1973, т. 28, вып. 4, с. 15–46.
- Аллахвердиев Дж. Э., Аллахвердиева Н. К.—Диф. уравнения, 1974, № 12, с. 2124–2134.
- Серовайский С. Я. Вариационные неравенства в оптимизационных задачах. — Алма-Ата: Издво КазГУ, 1981.—113 с.
- Якубович В. А.—Сибирск. матем. журн., 1, 1977, 18, № 3, с. 685–707, II, 1978, 19, № 2, с. 436–460.
- Ладыженская О. А. Краевые задачи математической физики. — М.: Наука, 1973.—407 с.
- Искендеров А. Д., Тагиев Р. К.—Диф. уравнения, 1983, т. 19, № 8, с. 1324–1334.

Азербайджанский государственный университет
им. С. М. Кирова

Поступило 4. VII 1985
А. Д. Искендеров, А. А. Нифтиев

КВАЗИХЭТТИ ЕВОЛЮСИЈАЛЫ ТӘНЛИКЛӘР ҮЧҮН ОПТИМАЛ-ИДАРӘЕТМӘ МӘСӘЛӘСИ

Мәгаләдә һилберт фәзасында биринчи ва икinci тәртиб диференциал-оператор тәнликләрлә төсвир олунан системин оптималь идарә олунмасы мәсәләсінә бағылыш. Идарә тәнлигин сағ тәрәфинә вә оператор эмсалларда дахилдир. Оптималь идарәедицини варлығы исbat олунур, оптималлық үчүн максимум принципи шәклиндә зәруриш шәрт алыныр, функционал диференциалланан олдуғу налда градиентни ifадеси тапсылыры.

A. D. Iskenderov, A. A. Niftiyev

OPTIMAL CONTROL PROBLEM FOR QUASI-LINEAR EVOLUTIONAL EQUATIONS

In the article an optimal control problem of the systems described by different operational equations of the first and second order in Hilbert space is considered. The control enters the operational coefficients and the right side of the equation. The authors prove the theorem of the solution existence, define the necessary optimality condition in the principle of maximum, and find the expression of functional gradient in case of its differentiability.

АЗӘРБАЙЖАН ССР ЕЛМЛӘР АКАДЕМИЈАСЫНЫН МӘРУЗӘЛӘРИ

ДОКЛАДЫ АКАДЕМИИ НАУК АЗЕРБАЙДЖАНСКОП ССР

ТОМ XLII ЧИЛД

№ 5

1986

УДК 631. 4:629. 85

РИЈАЗИЈЈАТ

ҚӘНД ТӘСӘРРҮФАТЫ САҢӘЛӘРИНИН ЧОХКАНАЛЛЫ СКАНЕРДӘН АЛЫНЫШ АЕРОТӘСВИРЛӘРИНИН ЕҢМ-ДЕ ТӘҮЛИЛИНИН БӘ'ЗИ НӘТИЧӘЛӘРИ

(Азәрбајҹан ССР ЕА академики һ. Ф. Султанов тәгдим етмишидир)

Қәнд тәсәррүфаты саңәләринин өјрәнилмәсіндә дистансијалы тәдигаттардан назырда кениш истифадә едилүүр. Іер сәттинин аерокосмосдан схематик тәдгиги нәтичәсіндә тәбии еңтијаттардан алынан мә'лumatларын һәчми сон вахтлар о гәдәр артмышдыр ки, онлары тәһлил едиг чатдырмаг мүмкүн олмур.

Аерокосмосдан алынан мә'лumatларын нәтичәләрини тәһлил едиг лазыми тәшкілатлара вахтында чатдырмаг мәгсәдилә назырда электрон несаблама машынларынын имканларындан кениш истифадә едилмәсінин бөйүк әһәмијәтті варды. Мәгәлә қәнд тәсәррүфаты саңәләринин тәјјарәдән чохканаллы сканерлә алыныш парлаглана гијметләринин автоматик тәсийатында бәһс едир.

Тәдгигат ССРІ вә ЧССР елмләр академијаларынын разылашмасына уйғын Азәрбајҹан ССР Елмләр Академијасы Космик Тәдгигатлар Елми Истенсалат Бирлигинин јаратдығы пејкалты комплекс тәчрүбә експедицијасы тәрәфиндән 1982-чи илин ијүи–ијул ајларында ЧССР-ин «Стритеј» полигону әразисинде апарылышынан.

Тәчрүбә 6300 м жүксәкликтә АН–30 тәјјарәсіндә гурашдырылыш «Абшерон» чохканаллы сканери вә МКФ–6 фотоапараты илә апарылыш, тәчрүбә заманы јерусту спектрометр СП-3 «Каспи» чиһазындан истифадә едилмишидир. Бу һүндүрлүкдә чәкилән објектләрни мигјасы 1:50000 олмушдур.

I-чи чәдәвәл

«Абшерон» сканерин далга диапазону.

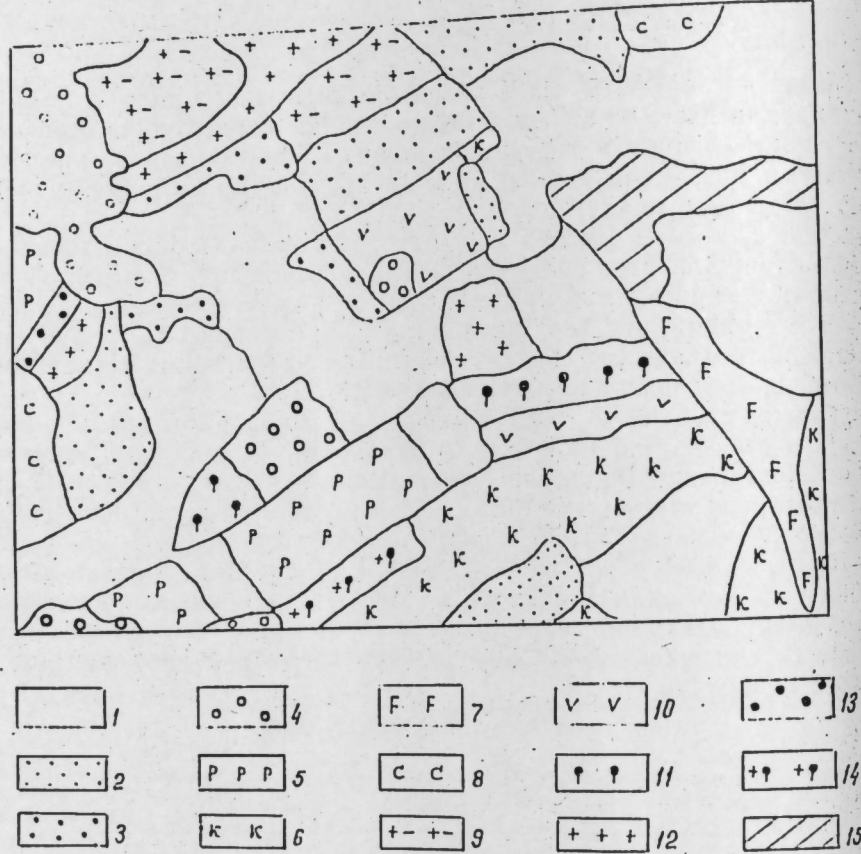
каналын №-си	диапазон, нм-лә	каналын №-си	диапазон, нм-лә
1	450–550	5	685–730
2	525–570	6	730–800
3	565–653	7	800–970
4	620–710	8	900–1060

Тәјјарәнин сүр'ети саатда 460 км, дүшмә бучагы 28,6°, сканерләшмәнин тезлији исә 8 һс олмушдур. Бу мәгаләдә анчаг чохканаллы сканердән алыныш мә'лumatларын нәтичәләри көстәрилмишидир. Чох-

нааллы сканердән алынан мә'лumatлар EC-1022 електрон һесаблама машинында (ЕhM) вә «Кириш—чыхыш» гургусунда тәһлил едилмишdir.

Кәнд тәсәррүфаты саһәләринин чохканаллы сканердән әлдә едилмиш парлагланма гијмәтләриниң тәһлил етмәк учун, әввәл магнит лентә јазылмыш парлагланма гијмәтләриндән һәмин саһәнин «ПАЛЛАДА» адланан гурғуда шәкли алышыр. Гурғудан алынан шәклин чаларлығы рада 255 шәкилдә һәмин объектин мүтләг ағ рәнкдә, 0 исә объектин там гара рәнкдә олмасыны көстәрир.

Ашағыда тәдгигат апардығымыз әразинин торпаглардан истифада етмәк хәритәсіндән көтүрүлмүш әкин саһәләринин нөвбәләшмәси ардымчыллығы верилир (1-чи шәкил). Шәкилдән көрүнүр ки, тәдгигат әрази



1-чи шәкил. Тәдгигат әразисинде кәнд тәсәррүфаты саһәләринин жаһылмасы: 1—буғда; 2—арпа; 3—картоф; 4—мешә; 5—човдар; 6—жонча; 7—гарајонча; 8—чугундур; 9—торпаг саһәси; 10—гарыдалы; 11—јулаф; 12—гарышыг битки; 13—бағ вә бостан; 14—јулаф вә гарышыг; 15—јашајыш мәнтәгеси.

12 мұхтәлиф әкин саһәсінә тәсадүф едилir. Бу әразидә буғда, арпа, човдар, гарыдалы кениш саһәләри әнатә едир. Бунлардан әlavә картоф, јулаф, чугундур вә с. мәдени от биткиләри дә раionун иштисдијатында әсас јер тутур.

Раionун торпаглардан истифадә етмә хәритәсіндән вә бу әрази үчүн МПС-4 аппаратында алынмыш рәнкли шәкилдән истифадә едиләрек

лигопонун әразисинде әксәр биткиләр үчүн еталон саһәләр (өлчүсү 1×1 мм-дән 10×10 мм-дәк) сечилир, оиласын координатлары ЕhM-ә вериләрек һәр канал үзәгэ айры-айры обектләрин орта парлагланма гијмәтләри вә дисперсијасы тапсылыр. Беләликлә, шәкилдә еталон саһәләрә әсасен намә'лум саһәләр өјрәнилир.

Тәдгигат әразисинде намә'лум обектләрин ахтарышы ашағыдағы гајдада апарылыр. Намә'лум обектин каналлар үзәгэ алынмыш парлагланма гијмәтләри еталон обектләрдә көстәрилән әксәр саһәләрин орта парлагланма гијмәтләри илә айры-айрылыгда мугајисә едилir вә оиласын һансы гапыја даһа соҳи олмасы илә тәснифат апарылыр. Намә'лум обектин каналлар үзәгэ верилмиш орта парлагланма гијмәтләри еталон обектин ёйни каналына уйғун қәләрсә (јаҳуд 8 каналдан ән азы 6-сы), о вахт обект бир группа дахил едилir.

Ашағыда ЧССР-ин «Стритеj» полигону саһәсіндән көтүрүлмүш еталон обектләрин ЕhM-дә тәһлил едилмиш орта парлагланма гијмәтләринин дисперсијасы верилмишdir (2-чи чәдвәл).

2-чи чәдвәл

Кәнд тәсәррүфаты саһәләринин орта парлагланма гијмәтләри вә дисперсијасы

Объектин ады	Геjдәлма диагазонлары (λ) орта НМ-лә)							
	500	540	600	650	700	760	850	1000
Буғда	127 6,7	159 5,7	180 8,4	66 5,0	198 13,0	167 7,0	188 12,7	192 8,2
Арпа	132 13,5	157 11,9	180 13,7	72 7,0	198 13,1	165 14,8	183 17,0	201 9,1
Човдар	157 33,5	168 21,1	199 27,1	82 16,9	170 15,6	195 29,7	161 16,6	180 14,6
Јулаф	254 1,0	237 8,6	253 3,4	133 7,2	151 12,9	254 1,0	140 14,2	175 14,2
Картоф	210 43,9	217 12,4	238 16,8	121 28,8	192 10,7	251 5,2	187 14,1	213 18,7
Чуғундур	187 13,8	191 7,1	230 10,8	101 7,0	231 9,9	224 12,6	229 13,8	246 9,7
Гарыдалы	187 41,6	187 23,9	216 27,0	106 27,1	190 40,3	213 32,4	174 13,2	213 22,6
Жонча	124 4,9	153 4,6	186 6,9	80 4,3	244 8,8	157 4,9	238 13,8	251 7,3
Гарајонча	124 12,4	156 9,4	181 13,4	84 13,4	234 53,1	163 30,9	236 11,4	251 9,0
Гарышыг	243 19,2	228 17,3	242 22,0	128 13,1	197 11,6	243 26,6	204 11,3	216 9,6
Мешә	90 4,7	127 4,4	136 8,1	44 43	88 8,8	121 6,3	82 7,0	109 9,4

Чөдвәлдәки рәгәмләрдән айдын олур ки, мүхтәлиф кәнд тәсәррүфаты биткиләринин орта парлагланма гијмәти дисперсијасы ейни каналда һәмин биткинин биометрик хүсусијәттәндән, һәм дә онун тәркибидә хлорофил вә башга пигментләрни мигдарындан асылы олараг, бири о бириндән иәзәрә чарпачаг дәрәчәдә фәргләнир. Еталон объектләрин ЕhM-дә тәснифаты көстәрир ки, 500 им-дән башлајараг 650 им далға узунлуғуна кими биткиләрин орта парлагланма гијмәтләри бир каналдан дикәр канала кечәндә артыр.

Көрмә саһәсина дахил олан гырызы рәнк јашыл биткиләр тәрәфиндән даһа јахшы удулдуғуна кәрә (650 им) бу диапазонда эксәр биткиләрин парлагланма гијмәтләри хејли ашағы дүшүр. Соңракы диапазонларда биткиләрин парлагланма гијмәтләри эсасән биткинин кимјәви тәркибидә олан хлорофилин вә с. башга пигментләрни мигдарындан, еләчә дә тәдгиг етдијимиз әкин саһәләринин биологи хүсусијәтләрнән асылы олараг кәһ артыр, кәһ да азалыр.

Тәснифатын иәтичәләрнән мә'лум олмушдур ки, харичи көрүнүшүнә вә башга хүсусијәтләринә кәрә охшар олан биткиләрин парлагланма гијмәтләри бүтүн каналларда тәхминән бир-биринә бәрабәр олмушдур. Буна мисал олараг биз буғда илә арпанын, јаҳуд гарајонча илә јончанын орта парлагланма гијмәтләрни көстәрә биләрик. Бә'зән елә һаллара тәсадуф едирик ки, ейни әкин саһәснәдә каналлар узрә биткиләрин орта парлагланма гијмәти вә дисперсијасы, гоншу объектдән еталон саһәдән алышан гијмәтләрдән кәскин фәргләнир. Бунуна әлагәдәр олараг тәснифат вахты һәмин объект намә'лүм група дахил олур. Белә факта әсас сәбәб бә'зи әкин саһәләрнән биткиләрин һәр јердә ейни вәзијјәтдә олмамасыбыр. Јә'ни бир саһәдә торпағын бу вә дикәр хүсусијәтләрнән, бә'зән дә харичи мүһитин тә'сириндән асылы олараг биткиләр зәиф инкишаф едири, я да һәмин саһәдә битки битмири, башга саһәдә исә әксинә, һәмин амилләр һәр јердә јахшы олдуғундан, биткинин јахшы инкишаф етмәсни мүсбәт тә'сири едири вә иәтичәдә һәмин саһәдә биткиләрин инкишафы бәрабәр кедир. Одур ки, тәснифат вахты белә саһәләрдән алышан мә'луматларын тәһлили ейни әкин саһәләринә маңе олмур.

EhM-дә апарылыш тәснифатдан айдын олур ки, мүхтәлиф биткиләрин орта парлагланма гијмәтләри бир нечә каналда дикәр саһәдән алышан мә'лумат ейни кәнд тәсәррүфаты биткиләринин парлагланма гијмәти нә уйғун кәлир. Анчаг бу уйғунлуг дикәр каналлара кечәндә кәскин дәшири.

Кәнд тәсәррүфаты биткиләри ичәриснәдә јулаф, картоф, чуғундур, гарышыг битки, човдар вә гарғыдалынын орта парлагланма гијмәти буғда, арпа, јонча, гарајонча, бичәнәк вә мешә саһәләрнән алышан парлагланма гијмәтләрни иисбәтән артыг олмушдур.

Беләликлә, «Стритеҗ» полигонунда тәјјарә илә чохканаллы сканердән кәнд тәсәррүфаты саһәләринин алышан мә'луматларын ЕhM-дә тәснифатын апармагла, һәмин әразидә олан әкин саһәләринин 90—95 фази дүзкүн тә'жин едилемишdir.

Апарылан тәчрүбәләр көстәрир ки, чохканаллы сканердән алышан мә'луматлары ЕhM-дә тәһлил етмәклә аз вахт әрзиндә кәнд тәсәррүфаты әкин саһәләрини сијаһыја алмаг, һәмин саһәләри хәритәләшдирмәк, һәмчинин онларын вәзијјәтләрни мүәյҗәнләшдирмәк олар.

Әдәбијјат

1. Исмаилов Т. К.—Журн. Исследование Земли из космоса, 1980, № 1.
2. Алексеев А. С., Васильев С. В. и др.—Журн. Исследование Земли из космоса, 1981, № 6.
3. Белчанский Г. И., Сазонов Н. В. Вопросы обработки аэрокосмической и наземной информации для анализа агроресурсов. Итоги и перспективы. Отдел вычислительной математики АН СССР. Препринт № 44.—М., 1983.

Космик Тәдгигатлар Елми Истенсалат
Бирлиги

Алынмышдыр
2.II.1984

П. Ю. Нагиев, Э. М. Джәфаров, К. К. Гусейнов

НЕКОТОРЫЕ РЕЗУЛЬТАТЫ МАШИННОЙ ОБРАБОТКИ МАТЕРИАЛОВ МНОГОКАНАЛЬНОЙ СКАНЕРНОЙ ИНФОРМАЦИИ ПО СЕЛЬСКОХОЗЯЙСТВЕННЫМ УГОДЬЯМ

В статье рассматривается автоматическая классификация сельскохозяйственных культур по данным, полученным с помощью многоканальной аэросъемки.

Показано, что по данным многоканальной съемки, с помощью выбранных эталонных объектов, по снимкам можно распознать 90—95% сельскохозяйственных угодий.

Проведенные исследования позволяют констатировать, что результаты обработки на ЭВМ информации, полученной с борта самолета сканером «Апшерон», могут быть использованы для картографирования и инвентаризации сельскохозяйственных угодий с оценкой их состояния.

Р. Yu. Naghiev, E. M. Djafarov, K. K. Guseinov

SOME RESULTS OF COMPUTER PROCESSING OF MULTICHANNEL SCANNER INFORMATION ON CROP LANDS

Automatic classification of crops on the basis of data obtained by means of the «Apsheron» optical electron scanner system is considered in this article.

Акад. Э. Ю. САЛАЕВ, Г. А. АЛЕКПЕРОВ, Я. А. АБДУЛЛАЕВ,
Э. К. ГУСЕЙНОВ, И. А. НАСИБОВ

О МЕХАНИЗМЕ ПЛАЗМЕННОГО ОКИСЛЕНИЯ ПОВЕРХНОСТИ ТЕЛЛУРИДОВ КАДМИЯ—РТУТИ

Пассивация поверхности теллуритов кадмия—ртути играет определяющую роль при создании поверхностно-управляемых приборов на их основе. Поэтому вопросам создания качественных пассивирующих покрытий на поверхности $Cd_xHg_{1-x}Te$ посвящено значительное количество работ [1, 2], основная часть которых освещает пассивацию поверхности $Cd_xHg_{1-x}Te$ путем электрохимического окисления. Однако, начиная с 1980 г., опубликован ряд работ [3—6] по плазменному окислению поверхности $Cd_xHg_{1-x}Te$, в которых показано, что получающиеся при этом покрытия обладают существенно лучшими и более стабильными пассивирующими характеристиками, чем покрытия, получаемые электрохимическим окислением. Но никаких исследований механизмов указанного процесса не проводилось.

Цель данной работы — исследование механизма окисления поверхности теллуритов кадмия — ртути в кислородной плазме.

В качестве объекта исследований использовались образцы $Cd_xHg_{1-x}Te$ n-типа проводимости с $0,18 < x < 0,285$. Перед окислением поверхность образцов механически полировалась и травлением удалялся нарушенный слой. В качестве плазмообразующего газа использовали кислород марки «ч». Для выявления влияния способа генерации плазмы, окисление проводили как в плазме высокочастотного (40,6 МГц) емкостного разряда (ВЧ-разряд) и в области ее послесвечения, так и в плазме положительного столба тлеющего разряда (ПСТР) постоянного тока и в области ее послесвечения. Эксперименты проводились при давлении кислорода $65 \div 400$ Па и мощностях, вкладываемых в плазму ($10^{-3} \div 10$) Вт/см³. Скорость роста окисной пленки определялась по уменьшению тока через образец при использовании его в качестве плоского электростатического зонда. Толщина окисла определялась с помощью эллипсометра ЛЭМ-2 и визуально — по цвету пленки окисла.

Поскольку мы не обнаружили никаких изменений закономерностей окисления, обусловленных способом генерации плазмы, то определение параметров последней проводилось только в ПСТР. Параметры плазмы (концентрация и средняя энергия электронов, напряженность продольного электрического поля и температура газа) определялись методом электростатических зондов [7] и термопар [8]. Экспериментальное определение указанных параметров в совокупности с литературными данными по функции распределения электронов по энергиям [9] и сечениям различных элементарных процессов, позволяло оценивать скорости генерации и гибели нейтральных и заряженных компонент плазмы и их потоки на поверхность образца [10].

Экспериментально было установлено, что во всех случаях (как при нахождении образца в плазме, так и в области ее послесвечения) окисление поверхности $Cd_xHg_{1-x}Te$ происходило только при приложении к образцу положительного относительно плазмы потенциала. Аналогичные результаты получены при окислении $Cd_{0.215}Hg_{0.785}Te$ в плазме высокочастотного индукционного разряда [3]. На основании этого факта авторы [3] делали вывод о важной роли ионов O^- , O_2^- и O_3^- в образовании окисла. В наших экспериментах не было обнаружено корреляции между скоростями роста окисной пленки и потоками ионов O^- и O_2^- (основными отрицательными ионами в наших условиях) на поверхность образца. Более того, для ряда режимов скорость потока отрицательных ионов на поверхность образца была в $10 \div 10^3$ раз меньше скорости образования окисла (из расчета 1,5 атома O на один атом Te, согласно данным анализа элементного состава окисла методом ОЖЕ-спектроскопии). Зато наблюдалась корреляция между потоками электронов и атомарного кислорода, с одной стороны, и скоростью окисления — с другой. Вся совокупность полученных данных позволила предложить следующий механизм плазменного окисления поверхности теллуритов кадмия — ртути. Окисляющим агентом является активный кислород (т. е. смесь атомов и возбужденных молекул кислорода), роль ионов кислорода (как положительных, так и отрицательных) в процессе окисления $Cd_xHg_{1-x}Te$ преионебрежимо мала. Однако окисление происходит (с более или менее заметной скоростью) только при активации поверхности $Cd_xHg_{1-x}Te$ (разрыв связей Cd—Te и Hg—Te и образование свободных валентностей, взаимодействующих с активным кислородом). Приложение к образцу положительного относительно плазмы потенциала обуславливает активацию поверхности потоком электронов, вытягиваемых из плазмы.

Для проверки этого предположения был произведен прямой эксперимент по раздельной обработке поверхности $Cd_xHg_{1-x}Te$ потоком нейтральных атомов кислорода и электронов с энергией ($20 \div 40$) эВ. Суть его состояла в следующем. В трубке Вуда (трубка I, рис. 1) зажи-

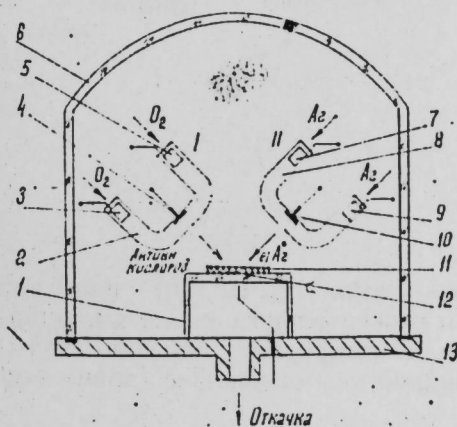


Рис. 1. 1 — столик; 2,8 — трубы Вуда; 3, 5, 7, 9 — электроды; 4, 10 — противозонды; 6 — вакуумный колпак; 11 — образец; 12 — прижимной контакт; 13 — основание

гался тлеющий разряд в кислороде. Поскольку образец был электрически изолирован от кислородной плазмы, то на него воздействовал только поток нейтрального активного кислорода. В расположенной рядом

такой же трубке Вуда (трубка II, рис. 1) зажигался тлеющий разряд в аргоне и на образец подавался положительный, относительно плазмы от аргона, потенциал величиной 15÷35 В. Поскольку в плазме аргона отсутствуют отрицательные ионы и средняя энергия электронов в наших условиях эксперимента равна 5 эВ [11], то на поверхность образца воздействовал поток электронов с энергией 20÷40 эВ, вытягиваемый из плазмы аргона. Эксперимент показал, что окисление образца происходило только при одновременном воздействии на его поверхность потока активного кислорода и потока электронов. При горении разряда только в трубке I или только в трубке II (при этом проток кислорода и аргона через трубы не отключался), или при горении разрядов в обеих трубках, но без подачи на образец положительного относительно плазмы аргона потенциала, окисления поверхности образца не наблюдалось. Аналогичные результаты были получены и при активации поверхности образца ультрафиолетовым излучением. При воздействии на образец теллурида кадмия — ртути кислородной плазмой (или областью ее прослесвания) ВЧ-разряда (рис. 2) окисления его поверхности не происходило. Поверхность образца окислялась только при одновременной

Литература

1. Агина И. Р., Антонов В. В., Войцеховский А. В., Пашковский М. В.—Зарубежная электронная техника, №5, 1984, с. 3. 2. Берченко Н. Н., Евстигнеев А. И., Ерохов В. Ю., Матвеенко А. В.—Зарубежная электронная техника, №3, 1981, с. 3. 3. Nemirovsky Y., Goshen R., Kidron I.—J. Appl. Phys., 1982, v. 53, N 7, p. 4888. 4. Nemirovsky Y., Goshen R.—Appl. Phys. Lett., 1980, v. 37, N 9, p. 813. 5. Nemirovsky Y., Goshen R.—Surface Sci., 1980, v. 97, p. 191. 6. Kvaas R. E.—Патент США № 4114040, 1983. 7. Козлов О. В. Электрический зонд в плазме.—М.: Атомиздат, 1969. 8. Словецкий Д. И., Урбас А. Д.—Измерительная техника, № 1, 1978, с. 83. 9. Rundle H. W., Clark D. R., Deckers J. M.—Canad. J. Phys., 1973, v. 51, N 2, p. 144. 10. Словецкий Д. И. Механизмы химических реакций в неравновесной плазме.—М.: Наука, 1980. 11. Александров Г. А., Иванов Ю. А., Поляк Л. С., Словецкий Д. И.—Химия высоких энергий, т. 11, 1977, № 6, с. 457.

Поступило 9. IX 1985

Е. Ю. Салаев, И. Э. Элекберов, Я. Э. Абдуллаев,
Е. К. Гусейнов, И. А. Насибов

ЧИВЭ-КАДМИУМ-ТЕЛЛУР СЭТҮНИНН ПЛАЗМАДА ОКСИДЛЭШДИРМЭ МЕХАНИЗМИ ҮАГГҮНДА

Мэглэдэ чивэ-кадмиум-теллур сэтүнинн оксижен плазмада оксидлэшдирмэ процесси өөрнөөрлийншидир. Мүсбөт вэ мэнхи оксижен ионларынын оксид табагэснээ чүзү тэ'сирү вэ эсасаа, атомар вэ һэжэчнэлдүрмүүш оксижен молекуллары вэ электронларынын тэ'сирү көстөрилмишдир.

Е. Yu. Salaev, G. A. Alekperov, Ya. A. Abdullaev, E. K. Guseinov, I. A. Nasibov

ON THE MECHANISM OF PLASMA OXIDATION OF MERCURY— CADMIUM TELLURIDES

The mechanism of mercury—cadmium tellurides oxidation in low pressure oxygen plasma is studied. It is found that the role of positively and negatively charged oxygen species in oxidation processes is negligible. Only neutral atomic and excited molecular oxygen species and electrons are responsible for oxidation.

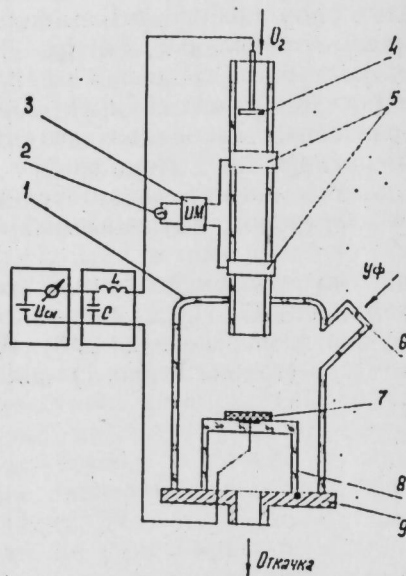


Рис. 2. 1—кварцевый реактор; 2—генератор ВЧ-напряжения; 3—измеритель мощности; 4—противозонд; 5—электроды; 6—окно из сапфира; 7—образец; 8—столик; 9—основание

подсветке УФ-излучением (источник — лампа ДРШ-100) или при приложении к образцу положительного относительно плазмы потенциала. При выключенном разряде облучение поверхности образца УФ-излучением в протоке кислорода не приводило к ее окислению (время экспозиции составляло 30—40 мин).

Таким образом, мы получили прямое экспериментальное подтверждение предлагаемого механизма плазменного окисления поверхности теллуридов кадмия — ртути.

д. И. ИСМАЙЛОВ, Ю. Г. АСАДОВ, Г. Б. ГАСЫМОВ
СТРУКТУРНЫЕ ПРЕВРАЩЕНИЯ В МОНОКРИСТАЛЛЕ
СОСТАВА $\text{Cu}_{1.75}\text{Fe}_{0.05}\text{S}$

(Представлено академиком АН Азербайджанской ССР М. И. Алиевым)

1. Закономерности структурных фазовых переходов в нестехиометрических соединениях Cu_{2-x}S достаточно изучены [1–3]. В работе [3] показано, что все нестехиометрические соединения Cu_{2-x}S при комнатной температуре двухфазные, т. е. состоят из юрлита $\text{Cu}_{1.96}\text{S}$ и анилита $\text{Cu}_{1.75}\text{S}$. Кристаллические структуры обеих фаз расшифрованы в [4, 5]. Юрлит кристаллизуется в моноклинной сингонии с параметрами элементарной ячейки $a=26,897$, $b=15,745$, $c=13,565\text{ \AA}$ и $\beta=90,13^\circ$. Пространственная группа $P_{21}n$. Элементарная ячейка содержит $8\text{Cu}_3\text{S}_{16}$, а анилит кристаллизуется в ромбической сингонии с параметрами $a=7,84$, $b=7,89$, $c=11,01\text{ \AA}$, пр. гр. P_{nma} , $z=4$.

Данная работа является первой из планированных авторами работ, где рассматривается влияние на закономерности структурных фазовых переходов частичная замена атомов меди атомами железа в составе $\text{Cu}_{1.80}\text{S}$. Как было показано в [3], $\text{Cu}_{1.80}\text{S}$ при комнатной температуре двухфазный. Эти фазы при T_1 и T_2 превращаются в единую промежуточную тетрагональную фазу с периодами решетки $a=4,00$, $c=11,01\text{ \AA}$, а тетрагональная фаза при T_0 превращается в ГЦК решетку с параметрами элементарной ячейки $a=5,58\text{ \AA}$.

2. Для получения гомогенных образцов $\text{Cu}_{1.75}\text{Fe}_{0.05}\text{S}$ использован метод прямого синтеза, т. е. химическое взаимодействие исходных компонент. В качестве реактора были применены двухстенные ампулы из высококачественного кварца с внутренним диаметром основной ампулы 1,5 см и длиной 10 см. Ампула заполнялась исходными веществами с чистотой: медь — электролитическая; железо и сера марки «ОЧ» и эвакуировались до давления 10^{-4} мм рт. ст.

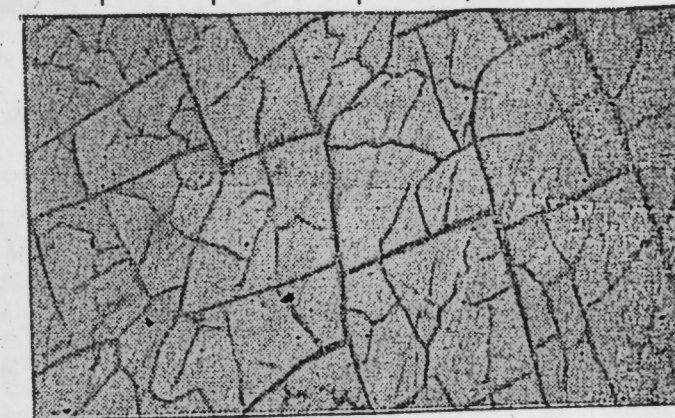
Ампула с компонентами погружалась в печь и температура повышалась до температуры плавления серы, которая поддерживалась в течение 2 ч для взаимодействия серы с компонентами и предотвращения возможного взрыва. Затем температура печи повышалась со скоростью 50° C в 1 ч до температуры плавления Cu_2S (1130°C) с циклическим вибрированием. После трехчасовой выдержки ампула с образцом охлаждалась до 300° C и при этой температуре отжигалась в течение 200 ч.

Из однородного по микроструктуре (рис. 1) образца была снята порошковая гравюра, расчет которой приведен в табл. 1, из которой видно, что все дифракционные линии порошковой гравюры $\text{Cu}_{1.75}\text{Fe}_{0.05}\text{S}$, как и в чистом $\text{Cu}_{1.80}\text{S}$, индексируются ромбической (анилит) и моноклинной (юрлит) сингониями. Из такого двухфазного образца ограниченные монокристаллы с размерами $4 \times 5 \times 3\text{ mm}^3$ были получены методом минерализации. Ампула с образцом поддерживалась при температуре 600°C в течение 60 дней. Эта температура приблизительно в 7 раз больше

Таблица 1

Расчет дифракционной структуры состава $\text{Cu}_{1.75}\text{Fe}_{0.05}\text{S}$ изл. СоK₂, радиус образца — 0,8 мм, режим: 45 кВ, 10 мА экз. 18 ч

$d_{\text{экспл.}} \text{ \AA}$	I/I_0	α_1 — ромбическая		α_2 — моноклинная	
		$d_{\text{теор.}} \text{ \AA}$	hkl	$d_{\text{теор.}} \text{ \AA}$	hkl
3,945	4	3,9450	200	3,9363	040
3,876	4	—	—	3,8788	123
3,238	1	—	—	3,2172	214
3,196	3	3,1932	022	3,1982	333
3,149	7	—	—	3,1490	050
3,023	5	—	—	3,0252	404
2,713	9	—	—	2,7130	005,334
2,674	3	—	—	2,6736	015
2,513	1	—	—	2,5140	405
2,276	7	2,2713	312	2,2712	435
2,145	6	2,1423	321	2,1444	406,226
1,964	10	1,9725	400	1,9681	080
2,872	1	1,8734	233	1,8716	282
2,827	2	1,8280	331	1,8239	424
1,778	1	—	—	1,7791	565
1,760	1	1,7568	332	1,7540	437
1,710	2	1,7109	324	1,7104	583
1,672	7	1,6723	242	1,6723	218
1,603	1	1,6033	404	1,6021	457,393
1,554	1	1,5558	341	1,5548	094,148
1,393	3	1,3903	440	1,3927	468
1,315	3	1,3150	600	1,3121	012,0
1,133	4	1,1357	624	1,1348	012,6
1,084	1	1,0840	461,625	1,0833	3,14,3
1,069	4	1,0685	462,257	1,0685	2,9,10
0,982	1	0,9863	800,801	0,9841	0,16,0
0,955	1	0,9525	803	0,9516	0,16,3
0,941	1	0,9423	822	0,9451	0,16,4

Рис. 1. Микроструктура сплава состава $\text{Cu}_{1.75}\text{Fe}_{0.05}\text{S}$

температуры превращения фаз. Поэтому в ампуле при указанном режиме растут монокристаллы ГЦК фазы и при охлаждении до комнатной температуры ГЦК кристаллы превращаются в кристаллы низкотемпе-

ратурной модификации, с внешней формой, принадлежащей ГЦК фазе. На рис. 2 приведены фотография (а) и лауэграмма (б), подтверждающие монокристалличность образца.

3. Исследования структурных превращений в монокристалличес-

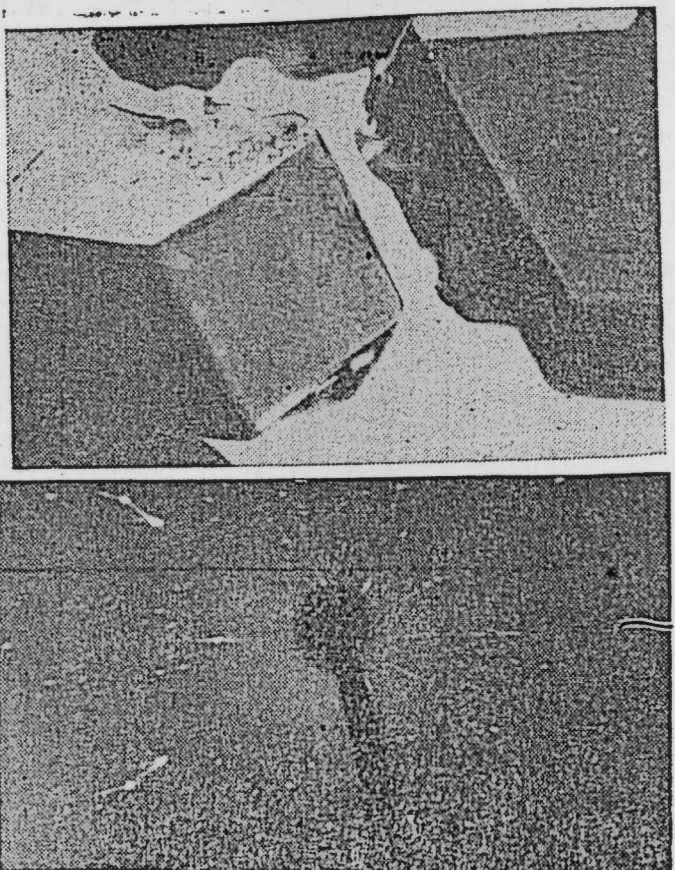


Рис. 2. а — габитус монокристаллов $\text{Cu}_{1.75}\text{Fe}_{0.05}\text{S}$; б — лауэграмма монокристалла $\text{Cu}_{1.75}\text{Fe}_{0.05}\text{S}$

Таблица 2
Расчет дифрактограммы $\text{Cu}_{1.75}\text{Fe}_{0.05}\text{S}$. Режим: 35 кс, 6 mA. $\text{Cu}_\alpha = 1,5418$
Å фильтр—Ni

№ п.п.	$d_{\text{эксп.}}, \text{\AA}$	$a_1 = \text{ромбическая}$		$a_2 = \text{моноクリнистальная}$		$T^\circ\text{C}$
		$d_{\text{теор.}}, \text{\AA}$	hkl	$d_{\text{теор.}}, \text{\AA}$	hkl	
1	3,945	3,9450	200	3,9363	040	
2	3,878	—	—	3,8788	123	
3	3,197	3,1932	022	3,1982	333	
4	2,712	—	—	2,7130	005	
5	2,675	—	—	2,6736	015	
6	1,828	1,8280	331	1,8239	424	
7	1,779	—	—	1,7791	565	
8	1,759	1,7568	332	1,7540	437	
9	1,672	1,6723	242	1,6723	218	
10	1,604	1,6033	404	1,6050	393 (457)	
11	1,085	1,0840	461	1,0833	3,14,3	
12	1,070	1,0686	462	1,0685	2,9,10	
						25

№	$d_{\text{эксп.}}, \text{\AA}$	ГЦК $a=5,565 \text{\AA}$		hkl	$T^\circ\text{C}$
		$d_{\text{теор.}}, \text{\AA}$	hkl		
1	3,215	3,213	111		
2	1,606	1,606	222		80

ском образце $\text{Cu}_{1.75}\text{Fe}_{0.05}\text{S}$ проведены на дифрактометре "УРС-50ИМ" с температурной приставкой, работающей в интервале 26—500°С.

При комнатной температуре в интервале углов 20° от 10 до 80°С было зарегистрировано 12 дифракционных пиков, индексировка которых приведена в табл. 2. После записи, не изменяя ориентацию кристалла была включена печь и проведены контрольные записи через каждые 10° С. В этих условиях, только при 80° С, вместо 12 дифракционных пиков зафиксированы два, которые относятся к высокотемпературной ГЦК фазе (см. табл. 2). Температура равновесия фаз определена методом, описанным в [6] и равна 79° С. Структурные превращения в $\text{Cu}_{1.75}\text{Fe}_{0.05}\text{S}$ обратимы и происходят по типу монокристалл—монокристалл.

По сравнению с рассмотренными в [3] составами, отличные структурные превращения испытывают монокристаллы $\text{Cu}_{1.75}\text{Fe}_{0.05}\text{S}$. Обе низкотемпературные фазы, минуя промежуточную модификацию при 79° С, переходят в ГЦК решетку.

Исследование спектра Мессбауэра показало, что ионы железа в образце $\text{Cu}_{1.75}\text{Fe}_{0.05}\text{S}$ находятся в трехвалентном состоянии и могут занимать места либо недостающих ионов меди в тетраэдрах, либо места, имеющиеся в пустых октаэдрах в матричных структурах. Отсюда состав ячеек может быть записан в виде $(\text{Cu}^{1+}\text{Cu}^{2+})_{1.75}\text{Fe}_{0.05}\text{S}$.

Литература

- Гасымов Г. Б., Асадов Ю. Г., Гусейнов Г. Г., Гезалов М. А., Белов Н. В.—Докл. АН СССР, т. 239, 1978, № 4, 846—849.
- Takeda H., Donnay J. D. H., Roosboom E. H., Appleman D. E. The Crystallography of djurleite, $\text{Cu}_{1.91}\text{S}$.—Z. Kristallogr., 1967, 125, 401—413.
- Гезалов М. А., Гасымов Г. Б., Асадов Ю. Г., Гусейнов Г. Г., Белов Н. В.—Кристаллография, т. 21, 1979, вып. 6, 1223—1229.
- Howard T., Evans Jr.—Z. Kristallogr., 1979, 150, 299—320.
- Kichiro Koto and Nobuo Morimoto.—Acta Cryst., 1969, 26, 915—924.
- Asadov Yu. G., Jabrailova G. A.—Kristall. und Technik, 1973, 8, 4, 499—505.

Институт физики АН АзССР

Поступило 13. III 1984

Ч. И. Исмаилов, Я. Г. Эсэдов, Н. Б. Гасымов
 $\text{Cu}_{1.75}\text{Fe}_{0.05}\text{S}$ ЭРИНТИСИНИН МОНОКРИСТАЛЫНДА СТРУКТУР
ЧЕВРИЛМЭЛЭРИ

Мэгэлэдээ көстэрилир ки, $\text{Cu}_{1.75}\text{Fe}_{0.05}\text{S}$ эринтиси синтез едилмиш вэ минерализацији методу илэ онун монокристаллары альнымышдыр. Бу монокристалларда рентген методу илэ структур кечилдлэри ёжранылмишдир. Мүэйжийн едилмишдир ки, $\text{Cu}_{1.80}\text{S}$ монокристаллындан фэргли олараг, отаг температуреуда икифазалы олан $\text{Cu}_{1.75}\text{Fe}_{0.05}\text{S}$ монокристаллары 79° температурда, аралыг модификација кечмэдэн, бирбаша кубик фазаја кечирлэр.

D. I. Ismailov, Yu. G. Asadov, G. B. Gasimov
STRUCTURAL TRANSFORMATIONS IN $\text{Cu}_{1.75}\text{Fe}_{0.05}\text{S}$ SINGLE-CRYSTAL COMPOSITION

The single-crystals composition of $\text{Cu}_{1.75}\text{Fe}_{0.05}\text{S}$ is produced by synthesis with subsequent annealing. Radiographic study of the structural transformations is made. The two-phase single-crystals of $\text{Cu}_{1.75}\text{Fe}_{0.05}\text{S}$ are shown to transform into the cubic lattice bypassing the intermediate modification as opposed to $\text{Cu}_{1.80}\text{S}$.

Акад. АН АзССР Ч. М. ДЖУВАРЛЫ, Е. В. ДМИТРИЕВ, А. М. ГАШИМОВ,
В. М. МАКСИМОВ, Б. М. САДЫХОВ

ПРИМЕНЕНИЕ СПЛАЙН-ИНТЕРПОЛЯЦИИ ДЛЯ МОДЕЛИРОВАНИЯ ОГРАНИЧИТЕЛЕЙ ПЕРЕНАПРЯЖЕНИЙ (ОПН)

Задача моделирования ОПН поставлена в связи с исследованием его работы в условиях ограничения токов однофазных коротких замыканий — к. з. и феррорезонанса напряжений в электрических сетях высокого и сверхвысокого напряжений.

Вольт-амперная характеристика ОПН в широком диапазоне изменений тока может быть представлена полиномом высокой степени [1]. Однако использование последних препятствует быстрой сходимости, а также устойчивости итерационного процесса при решении уравнений узловых точек электрической сети, защищаемой ОПН. Поскольку ОПН подключается к защищаемому объекту наглухо, то его вольт-амперную характеристику необходимо моделировать в диапазоне токов от нуля до его ожидаемого максимального значения, что и предопределило целесообразность использования сплайн-интерполяции с аппроксимирующим полиномом относительно невысокого порядка. Такой вид аппроксимации в последнее время находит все более широкое применение в различных областях использования вычислительной математики [2].

В качестве аппроксимирующей функции, которая аппроксимирует конкретный отрезок вольт-амперной характеристики ОПН, принята:

$$g(x) = g_k(x) \equiv \sum_{l=0}^3 a_l^{(k)} (x_k - x)^l, \quad k=1, 2, \dots, n_1, \dots, \quad (1)$$

где k — количество опорных точек на участке характеристики с заданным значением функции (напряжения или тока),

$a_0^{(k)}$ — заданное значение функции внутри каждого участка вольт-амперной характеристики. Количество участков связано с точностью моделирования. Количество участков и опорных точек внутри каждого участка уточняется в результате анализа погрешности, устойчивости и сходимости. Коэффициенты $a_l^{(k)}$ в сплайн-интерполяции определяются из решения матричного уравнения:

$$A = \varphi F, \quad (2)$$

где

$$A = \begin{vmatrix} 2(h_1+h_2) & h_2 & 0 & \dots & 0 & 0 \\ h_2 & 2(h_2+h_3) & h_3 & \dots & 0 & 0 \\ \hline 0 & 0 & 0 & \dots & h_{n-1} & 2(h_{n-1}+h_n) \end{vmatrix}$$

$$\begin{aligned} \varphi = (a_2^{(1)}, \dots, a_2^{(n-1)}), \quad a_2^{(0)} = a_2^{(n)} = 0, \quad F = (F_1, \dots, F_{n-1}). \\ F_k = 3 \left(\frac{f_{k-1} - f_k}{h_k} - \frac{f_k - f_{k+1}}{h_{k+1}} \right), \quad a_1^{(k)} = -\frac{h_k}{3} (a_2^{(k-1)} + 2a_2^{(k)}) + \right. \\ \left. + \frac{f_{k-1} + f_k}{h_k}, \quad a_3^{(k)} = \frac{a_2^{(k-1)} - a_2^{(k)}}{3h_k}, \quad k = 1, \dots, n-1. \right. \end{aligned}$$

В принятых выражениях $h_k = x_k - x_{k-1}$, x — значение аргумента (напряжения или тока).

При выборе h следует исходить из условия, чтобы на каждом участке значения f_k были бы одного порядка, например, $f_1 = 1 \cdot 10^{-8} A$, $f_2 = 2 \cdot 10^{-8} A$ и т. д.. разбиения осуществляются для участков $1\gamma, 2\gamma, \dots, n\gamma$, где $\gamma = 10^{-8}, 10^{-7}, \dots, 10^1, \dots$.

Оптимальной является аппроксимация при разбиении вольт-амперной характеристики на 12 участков с использованием на каждом участке 5 опорных точек. Значения a_2 приведены в таблице.

№ участ. а	1	2	3	4	5	6	7	8	9	10	11	12
Интервал x	0—0,44	—0,64	—0,675	—0,7	—0,74	—0,78	—0,815	—0,86	—0,925	—1,034	—1,268	
$a_2^{(2)}$	—0,98	1,9	56	297	54	—128	120	206	—0,51	0,26	23	13
$a_2^{(3)}$	0,51	5,8	32	—237	145	513	0,015	—90	40,5	48,7	10,3	—5
$a_2^{(4)}$	0,33	88,8	114	359	6	—123	206	90	53,6	4,1	6,9	3,4
z	10^{-6}	10^{-5}	10^{-4}	10^{-3}	10^{-2}	10^{-1}	1	10	10^2	10^3	10^4	10^5

Пример использования сплайн-интерполяции при моделировании ограничителей перенапряжений.

Рассматривалось включение трехфазной линии электропередачи класса 500 кВ длиной 100 км с ограничителем перенапряжений в конце линии под напряжением промышленной частоты. Расчет переходного процесса выполнен по методу [3] с учетом влияния поверхностного эффекта в земле и проводах. В соответствии с [3], ток в начале линии определялся из выражений:

$$i_d = (z + z_s)^{-1} \left[e(t) - u_q + i_q + \sum_{k=1}^3 z_{q_k} i_{q_k} \right]$$

$e(t)$ — напряжение источника

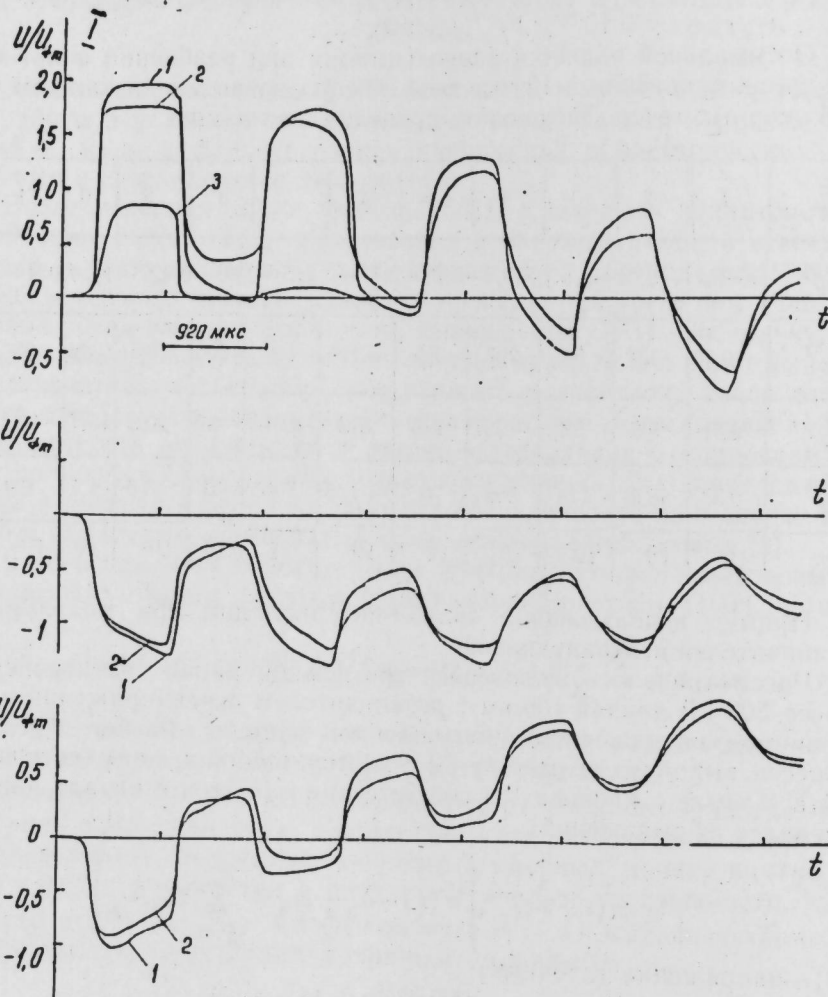
$$e(t) = \begin{cases} \cos(\omega t + \alpha) \\ \cos\left(\omega t + \alpha + \frac{2\pi}{3}\right) \\ \cos\left(\omega t + \alpha + \frac{4\pi}{3}\right) \end{cases}$$

z —матричное волновое сопротивление линии

$$z_{n_k} = \begin{vmatrix} z_{s11} x_{11_k} & z_{s12} x_{12_k} & z_{s13} x_{13_k} \\ z_{s21} x_{21_k} & z_{s22} x_{22_k} & z_{s23} x_{23_k} \\ z_{s31} x_{31_k} & z_{s32} x_{32_k} & z_{s33} x_{33_k} \end{vmatrix}, \quad k = 1, 2, 3.$$

$$z_k = (L_k - \tau r_k) (L_k + \tau r_k)^{-1}, \quad z_s = \left(\sum_{k=1}^3 z_k^{-1} \right)^{-1},$$

$$z_{\varepsilon_k} = (L_k + \tau r_k) \cdot 0.5 \cdot v, \quad v = h \tau^{-1}.$$



Зависимости напряжений и токов в конце линии от времени с ограничителями перенапряжений и без них для трех фаз: 1 — напряжение без ограничителя перенапряжений; 2 — напряжение с ограничителем перенапряжений; 3 — ток через ограничитель перенапряжений

Напряжения и токи в промежуточных точках линии

$$u_d = 0,5 [u_p + u_q + z(i_p - i_q)],$$

$$i_d = 0,5 (z + z_s)^{-1} \left[u_p - u_q + z(i_p + i_q) + 2 \sum_{k=1}^3 z'_{nk} i_{f_k} \right].$$

Напряжение и ток в конце линии

$$u_d = \left[u_p + z i_p + \sum_{k=1}^3 z'_{nk} i_{f_k} + (z + z_s) f(u) \right],$$

$$i_d = f(u).$$

Решение этих уравнений выполнялось методом Бегстейна [4].

Результат расчета напряжения в конце трех фаз линии представлен в функции времени на рисунке. Здесь же дается результат расчета тока в ограничителе напряжения, для оценки эффективности которого на рисунке приведен результат расчета напряжения в конце линии при отсутствии ОПН.

Вывод

Применение сплайн-интерполяции для моделирования вольт-амперной характеристики ОПН позволяет достоверно отразить работу ограничителей при численных расчетах волновых процессов в электропереходах.

Литература

1. Тиходеев Н. Н., Шур С. С. Изоляция электрических сетей. — Л.: Энергия, 1979. — 304 с.
2. Марчук Г. И. Методы вычислительной математики. — Новосибирск: Наука, 1973. — 352 с.
3. Джуварлы Ч. М., Дмитриев Е. В. Математическое моделирование волновых процессов в электрических сетях. — Баку: Элм, 1975. — 115 с.
4. Ланс Дж. Н. Численные методы для быстродействующих вычислительных машин. — М., 1962. — 208 с.

Институт физики АН АзССР

Поступило 10. VII 1985

Ч. М. Чуварлы, Е. В. Дмитриев, А. М. Гашимов, В. М. Максимов,
Б. М. Садыков

ИФРАТ КЭРКИНЛИК МӘҮДҮДЛАШДЫРЫЧЫЛАРЫНЫН (ИКМ)
МОДЕЛЛӘШДИРИЛМӘСИ ҮЧҮН СПЛАЙН-ИНТЕРПОЛЯСИЯНЫН ТӘТБИГИ

Мәгәләдә ИКМ — волт-Ампер характеристикасыны аппроксимасија етмәк үчүн сплайн-интерполация үсулуну мүмкүнлүjү вә әһәмиjеттәлилиjи тәдгиг олумышшур. Көстәрмисшидир ки, характеристиканы 12 ниссөjә белүмнөсі вә һәр һиссөdә 5 даjаг нөгтәсийин көтүрүлмөсі даjа оптималдыр.

Ch. M. Djuvarly, E. V. Dmitriev, A. M. Gashimov, B. M. Sadykov
SPLINE INTERPOLATION FOR SURGE LIMITER (SL) SIMULATION

Possibilities and expediency of current-voltage characteristic approximation by spline interpolation are studied in the article for surge limiter. The characteristic dissection into 12 intervals as well as the choice of 5 datum points on each interval appears to be more optimal.

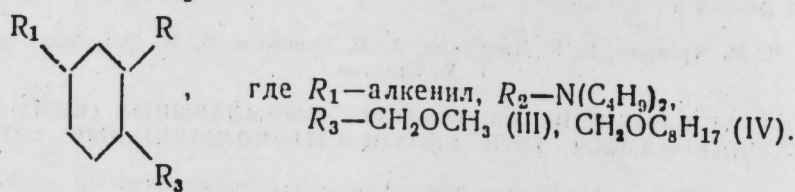
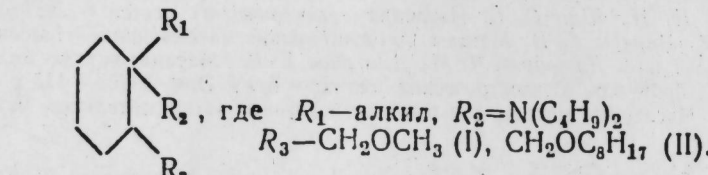
Ф. А. АСЛАНОВ, А. З. ШИХМАМЕДБЕКОВА, И. Ф. МАМЕДЬЯРОВА,
Г. И. БАЙРАМОВ

ИССЛЕДОВАНИЕ КОНФОРМАЦИИ АЗОТСОДЕРЖАЩИХ АЛКОКСИМЕТИЛ АЛКИЛ И АЛКЕНИЛЦИКЛОГЕКСАНОВ МЕТОДОМ МАСС-СПЕКТРОМЕТРИИ

(Представлено академиком АН Азербайджанской ССР Т. Н. Шахтахтинским)

Для установления конформации циклических углеводородов можно пользоваться методом масс-спектрометрии [1, 4]. Известно, что отщепление аксиального заместителя X из молекул циклогексанола [1, 2] метил- и галогенциклогексанов [3, 4] сопровождается захватом одного аксиального водорода из C_3 (или C_5) и образованием XH .

Исходя из данных фрагментации под действием электронного удара в работе рассматривается возможность установления пространственного расположения заместителей в молекулах общей формулы:



Масс-спектры указанных соединений были сняты на масс-спектрометре МХ-1303 при величине ионизирующего напряжения 50, 20, 15, 12 эв, токе эмиссии электронов 0,35 МА, ускоряющем напряжении 2 кВ и т-ре ионизационной камеры 150 °C.

Основные интенсивные линии масс-спектров исследованных соединений приводятся в таблице.

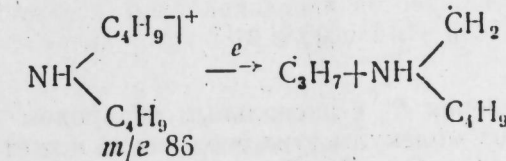
Преобладающим направлением распада молекул (I) — (IV) является образование ионов с m/e 45 (I, III), 57 (I — IV), 71 (II — IV), 143 (IV) 72, 86, 129 (I — III).

Наличие иона m/e 129 с интенсивностью соответственно 1,32:1,74:2,77 в спектре соединений I — III обязано образованию нейтрального иона $NH(C_4H_9)_2$, что, согласно [1—4], возможно при условии, если за-

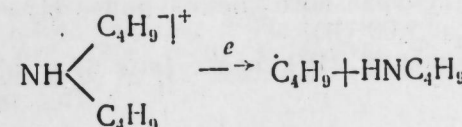
Основные интенсивные линии масс-спектров исследованных соединений

I-алкил-1-дибутиламин-2-метоксиметилциклогексан		I-алкил-1-дибутаталамин-2-октотоксиметилциклогексан		I-алкенил-1-дибутаталамин-2-метоксиметилциклогексан		I-алкенил-1-дибутиламин-2-оксиметилциклогексан	
I		II		III		IV	
m/e	$I_{\text{сумм}}$	m/e	$I_{\text{сумм}}$	m/e	$I_{\text{сумм}}$	m/e	$I_{\text{сумм}}$
45	3,20	56	1,77	45	3,02	55	3,27
55	1,95	57	4,44	55	0,19	—	1,87
57	1,95	67	1,00	57	1,00	57	11,88
58	1,26	71	1,51	71	3,28	67	4,12
79	2,46	79	1,02	72	0,70	56	12,00
72	0,62	86	15,27	79	1,28	69	1,68
67	1,78	93	2,25	86	25,78	72	0,63
86	11,98	129	1,74	93	1,61	79	2,31
93	2,61	155	1,09	121	0,46	85	0,74
129	1,32			129	2,77	93	0,96
						121	1,57
						143	1,31

меститель R_2 в этих соединениях преимущественно займет аксиальное положение. В пользу образования $NH(C_4H_9)_2$ в масс-спектре соединений свидетельствует также наличие иона с m/e 86, имеющего максимальную интенсивность в спектре этих соединений (11,98; 15,27; 25,78). Образование иона m/e 86 можно объяснить распадом нейтрального иона $NH(C_4H_9)_2$ по схеме:



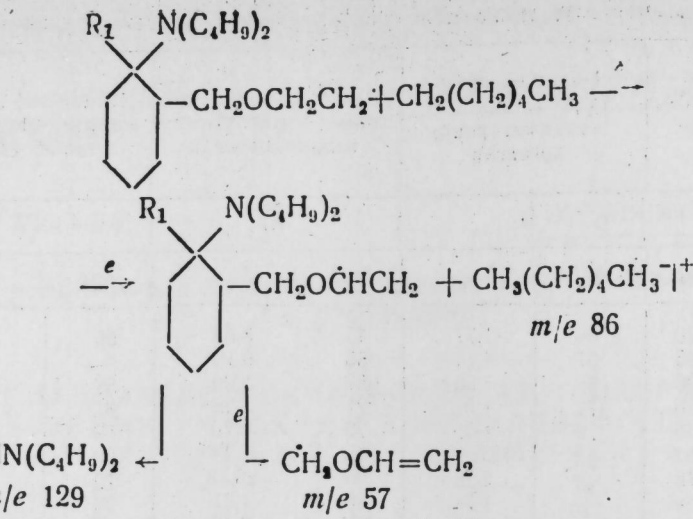
А при распаде этого иона по схеме:



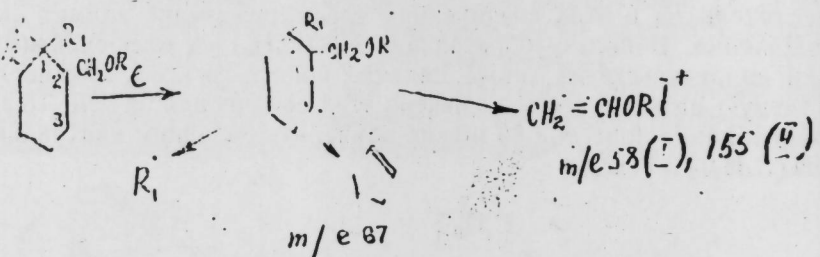
образуются ионы с m/e 57 и с m/e 72. Интенсивность иона m/e 57 в спектре соединений I — III составляет соответственно 3,95; 4,44; 3,28.

Большая по сравнению с соединениями (I) и (II) интенсивность ионов m/e 86 и m/e 129 в спектре соединения (III) обязана отдалению R_1 от R_2 в молекуле последнего и исключения таким образом эффекта экранирования R_1 со стороны R_2 , что приводит к легкому отщеплению R_2 от цикла соединения III и увеличению интенсивности R_2H^+ и соответственно продуктов его распада.

Источником образования ионов m/e 86 и m/e 57 в соединении (II) может оказаться и следующая схема распада

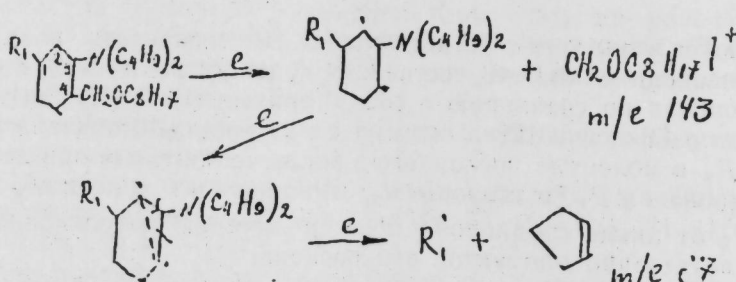


Источником образования иона m/e 67 с интенсивностью соответственно 2,46 и 1,00 в масс-спектре соединений I, II может оказаться следующая схема распада их:

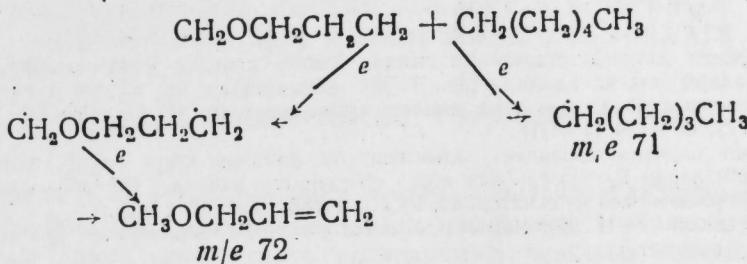


После отщепления R_2 с аксиальным водородом от C_3 уход алкильной группы из молекулы этих соединений может сопровождаться разрывом связей C_1-C_2 , C_2-C_3 и образованием связи C_1-C_3 , что приводит к образованию устойчивого пятичленного кольца с m/e 67 и отделению иона нейтрального соединения $CH_2=CHOR^+$ с интенсивностью 1,26 (I) и 1,09 (II).

В случае соединения (IV) ион с (m/e 67 с интенсивностью 1,68 образуется по схеме:



В данном случае в масс-спектре имеется ион с m/e 143, относящийся к группе $CH_2OC_8H_{17}$. Целиком уход этой группы под действием электронного удара может сопровождаться выбыванием одного водорода от C_2 . В последующем, аналогично предыдущей схеме, имеет место разрыв C_2-C_3 , $C-C_4$ и образование связи C_2-C_4 . С отходом же алкинильной группы образуется ион с m/e 67, интенсивность которого составляет 1,68. Наличие в спектре соединений (II, IV) иона с m/e 71 с интенсивностью соответственно 1,51; 12,00 можно объяснить распадом по схеме:



Таким образом, из сравнения масс-спектров три замещенных циклогексанов и на основании работ [1—4] следует, что наличие в масс-спектрах соединений (I) — (III) ионов с m/e 86, 57, 72 и нейтрального иона с m/e 129 может быть отнесено за счет распада молекул с аксиальным положением в кольце заместителя R_2 , тогда как наличие в масс-спектрах линий с m/e 45 (I, III); 71 (II) соответствует распаду молекул преимущественно с экваториальным положением заместителя R_3 , что касается соединения (IV), то здесь заместитель R_3 , вероятно, в основном занимает аксиальное положение, свидетельством чего является наличие иона с m/e 143 в спектре соединение (IV) и отсутствие его в соединении (II), — с одной стороны, преобладающая по сравнению с соединением (II) интенсивность ионов с m/e 71 (12,00 и 1,51) и 57 (11, 88, 4, 44), — с другой.

Литература

1. Mac-Donald C. G., Shannon J. S., Sugowd Z. G.—Tetrahedron Letters, 196^o 807.
2. Budzikewitsch H., Relah Z., Djerassi G.—Monatsh. 1961, 95, 158.
3. Асланов Ф. А., Касимова Р. М., Байрамов В. М., Гуламова Т. Э., Ахмедова Ф. И.—Докл. АН АзССР, XXVIII, 1972, 9—10.
4. Асланов Ф. А., Байрамов В. М., Гуламова Т. Э., Ахмедова Ф. Н. Тез. докл. II Всесоюзн. конф. по масс-спектрометрии.—Л. Л., 22—24, 1974, X.

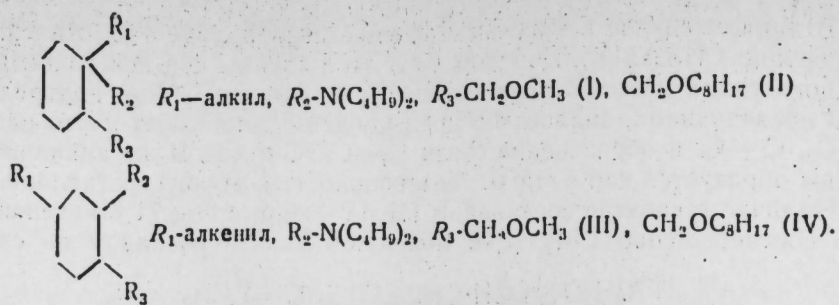
Азербайджанский государственный
университет им. С. М. Кирова

Поступило 30. III 1983

Ф. А. Асланов, А. З. Шыхмаммадбэјова, И. Ф. Мәммәдҗарова,
Г. И. Бајрамов

ТАРКИБИНДЭ АЗОТ ОЛАН АЛКОКСИМЕТИЛ АЛКИЛ ВӘ
АЛКЕНИЛСИКЛОХЕКСАНЛАРЫН МАСС-СПЕКТРОМЕТРИЯ МЕТОДУ ИЛӘ
КОНФОРМАЦИЈАЛАРЫНЫН ТӘДГИГИ

Мәгәләдә гурулушу ашагыдағы үмуми формуллара чаваб берән молекулларын



електрон зәрбәси алтында парчаланмасындан әмәлә кәлмиш фрагментләрә әсасән конформацијалары тәдгиг едилишидир. Тә'јин едилишидир ки, тәдгиг едилен молекулларын масс-спектриндә башлыча ионлар бүнлардыр: t/e 45 (I—III), 57 (I—IV), 71, 143 (I—IV), 86—129 (I—III).

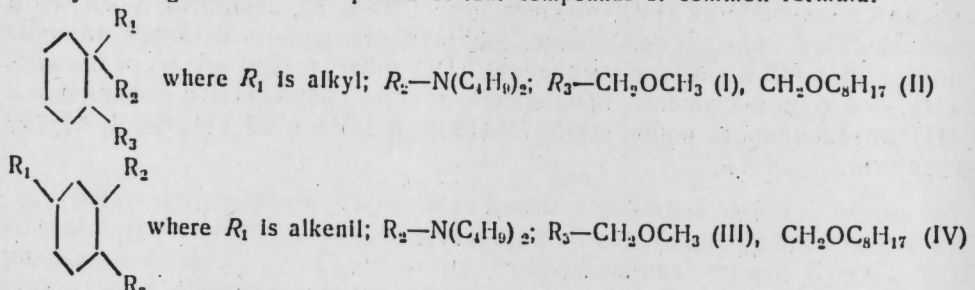
Молекулларын парчаланмасындан алымыш бу ионлара көрә күман едилир ки, I—III бирләшмәләрдә R_2 әвәзедицини әсас е'тибарилә акснал, R_3 исә экваториал вәзијјәт, IV бирләшмә исә R_2 экваториал, R_3 исә акснал вәзијјәт тутур.

R_1 әвәзедицини I—II бирләшмәләрдә экваториал, IV бирләшмәдә исә әсас е'тибарилә акснал вәзијјәт тутур.

F. A. Aslanov, A. Z. Shikmamedbekova, I. F. Mamédyarova, G. I. Bairamov

INVESTIGATION OF CONFORMATION OF NITROGEN-CONTAINING ALKOHEXYMETYL ALKYL- AND ALKENILCYCLOHEXANES BY MASS-SPECTROMETRY METHOD

By investigation of mass-spectra of four compounds of common formula:



It is established that the main ions of mass-spectra of these compounds are the ions with m/e 45 (I—III), 57 (I—IV), 71, 143 (IV), 86, 129 (I—III).

Molecules fragmentation study allows us to suppose that in compound (I—III) R_2 -substituent, generally occupying axial position, but R_3 -substituent, occupying equatorial position. In compound (IV), R_2 -substituent, occupying equatorial position, but R_3 -substituent, occupying axial position. R_1 in compounds (I—III) occupies equatorial, but in compound (IV)—axial position.

Акад. Т. Н. ШАХТАХТИНСКИЙ, Г. Л. ШИК, В. В. ЧЕРНИКОВ
Т. А. ИСМАИЛОВА, И. М. ДАНИЛОЧКИНА, О. М. ХОДЖАЕВ

ОКИСЛИТЕЛЬНЫЙ АММОНОЛИЗ ТОЛУОЛА В ЖИДКОЙ ФАЗЕ

Нами [1—4] в течение ряда лет проводятся исследования процесса окислительного аммонолиза алкилароматических углеводородов, которые позволили осуществить исследуемую реакцию в жидкой фазе. Это дало возможность весьма эффективно управлять процессом, достигая высокой скорости и селективности, обусловленной специфическими свойствами конденсированной фазы и низкими температурами процесса.

Однако в связи с более низкой реакционной способностью по сравнению с другими метилбензолами ранее вовлечь в эту реакцию толуол не удавалось.

Использование в качестве гомогенизатора каталитической системы в реакции жидкофазного окислительного аммонолиза толуола смеси диметилформамида (ДМФА) и бензойной кислоты, обладающих повышенной сольватирующей способностью в реакции образования интермедианта с солями кобальта при формировании активного кобальт-бронийского комплекса, дало возможность разработать способ получения бензонитрила окислительным аммонолизом толуола в жидкой фазе.

В настоящей статье приводятся результаты исследований изучения закономерности протекания реакции жидкофазного окислительного аммонолиза толуола и влияния различных параметров на образование бензонитрила.

Опыты проводились на установке по методикам, описанным ранее [3]. Использовали толуол реактивный марки х.ч.

Катализатором процесса служили стеарат кобальта и бромистый аммоний. Гомогенизатором в исследуемой реакции использовали смесь ДМФА и бензойной кислоты.

При изучении влияния на реакцию концентраций компонентов каталитической системы, кислорода и аммиака в газе, гомогенизатора, а также температуры выяснилось, что полученные зависимости носят экстремальный характер.

Результаты проведенных исследований по выявлению влияния основных технологических параметров процесса на образование бензонитрила представлены в таблице.

Как видно из приведенных в таблице экспериментальных данных, одним из существенных факторов, влияющих на образование бензонитрила, является соотношение кислорода к аммиаку ($O_2:NH_3$) при постоянной суммарной объемной скорости подачи газов. Оптимальное соотношение $O_2:NH_3$ для толуола 40:1 оказалось значительно выше, чем

для остальных алкилароматических углеводородов, так, например, для ксиолов оно составляет 10:1, а для мезитилена — 5:1 [2, 4]. Дальнейшее увеличение концентрации аммиака в аммоокисляющей смеси снижает скорость образования бензонитрила и глубину конверсии толуола,

Влияние основных технологических параметров процесса жидкофазного окислительного аммонолиза толуола на образование бенzonитрила

Варьируемые параметры				
Соотношение O ₂ :NH ₃	Концентрация ДМФА, моль/л	Концентрация стеарата кобальта, моль/л	T-ра, °C	Концентрация бенzonитрила, моль/л
53:1	0,92	0,12	110	1,15
40:1	"	"	"	1,8
32:1	"	"	"	1,5
26:1	"	"	"	0,8
40:1	0,46	0,12	110	1,2
"	0,92	"	"	1,8
"	1,38	"	"	1,0
"	1,84	"	"	0,5
—	0,92	0,08	110	0,78
"	"	0,1	"	1,48
"	"	0,12	"	1,6
"	"	0,14	"	1,8
"	"	0,16	"	1,7
—	0,92	0,14	95	1,9
"	"	"	100	2,12
"	"	"	105	2,6
"	"	"	110	1,8

вследствие образования неактивных комплексов аммиакатов кобальта [3].

Превышение величины концентрации ДМФА в реакционной среде более 0,92 моль/л приводит к торможению реакции. Это связано, по-видимому, со сдвигом равновесия при избытке ДМФА в сторону образования устойчивого малоактивного комплекса [Со...ДМФА] [4].

Изучение влияния на реакцию окислительного аммонолиза толуола концентрации катализатора при ранее найденном оптимальном составе его компонентов (мольное соотношение стеарата кобальта к бромистому аммонию 1:1) позволило установить, что наибольший выход бенzonитрила достигается при концентрации стеарата кобальта 0,14 моль/л.

Максимальный выход бенzonитрила (2,6 моль/л) был достигнут при т-ре реакции 105 °C.

Таким образом проведенные исследования подтвердили возможность осуществления реакции жидкофазного окислительного аммонолиза толуола при атмосферном давлении с использованием в качестве гомогенизатора смеси ДМФА и бензойной кислоты, а также позволили выявить характер протекания исследуемой реакции и найти оптимальные области значений параметров, влияющих на процесс.

Литература

- Шик Г. Л., Черников В. В., Шахтахтинский Т. Н. — Азерб. хим. ж., 1975, № 5, с. 14—17.
- Шахтахтинский Т. Н., Шик Г. Л., Фараджев Г. М., Черников В. В. — Азерб. хим. ж., 1976, № 3, с. 13—17.
- Шик Г. Л., Черников В. В., Магеррамова Р. Ю.

Шукюрова А. М., Рувинский М. Э., Шахтахтинский Т. Н. — Нефтехимия, 1981, т. XXI, вып. 1, с. 133—137.

4. Шик Г. Л., Черников В. В., Шукюрова А. М., Рувинский М. Э. — Азерб. хим. ж., 1982 № 3, с. 17—21.

Институт теоретических проблем химической технологии АН АзССР

Поступило 30.VI 1983

Т. Н. Шахтахтински, И. Л. Шик, В. В. Черников, Т. А. Исмаильова,
И. М. Данилочкина, О. М. Ходжаев

МАДЕ ФАЗАДА ТОЛУОЛУН ОКСИДЛЭШДИРИЧИ АММОНОЛИЗИ

Мэглэдэ маје фазада атмосфер тээжиг алтында кобалт-бромид каталитик системи үзэриндэ толуолун оксидлэшдирини аммонолиз реакциасы тэдгэг едилшидир. Бюомогенизатор вэ нэлледичи кими диметилформамид вэ бензој туршусу истифадэ едилшидир.

Бенzonитрилий чыхымына окискенин аммониакын, катализаторун компонентларини, бюомогенизаторуун концентрасијаларынын вэ температурүү тэ'сирү өјрэнүүлшидир.

T. N. Shakhtakhtinsky, G. L. Shick, V. V. Chernikov, T. A. Ismailova,
I. M. Danilochkina, O. M. Khodjaev

OXIDIZING AMMONOLYSIS OF TOLUENE IN THE LIQUID PHASE

Data and results of the studies on regularities of proceeding of the reaction of gis-phase oxidizing ammonolysis of toluene and effect of different parameters of the process on benzonitrile formation are given in the present article.

The reaction is carried out at atmospheric pressure in the presence of a cobalt-bromide catalytic system using dimethyl formamide and benzoic acid as a homogenizer and a solvent, respectively.

УДК 546.651.+546.863

НЕОРГАНИЧЕСКАЯ ХИМИЯ

А. Н. НУРИЕВ, Б. З. РЗАЕВ, А. М. КАРАЕВ

РАЗРАБОТКА НОВОГО МЕТОДА ПОЛУЧЕНИЯ
ТРИОСТИБИТА МЕДИ (I)

(Представлено академиком АН Азербайджанской ССР Т. Н. Шахтахтинским)

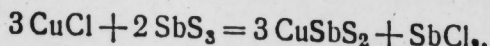
Разрез $\text{Cu}_2\text{S} - \text{Sb}_2\text{S}_3$ исследовали методом гидротермального синтеза, ДТА и РФА. В системе констатировано образование двух устойчивых при высоких температурах соединений — Cu_3SbS_3 и CuSbS_2 . Методом зонной плавки при избыточном давлении аргона в 2 атм и с применением дополнительного нагрева во внезонном объеме выращены CuSbS_2 , монокристалличность которого подтверждена сиянием лаэграммы [1]. Результаты измерения электропроводности и термоэдс моноокристалла CuSbS_2 в интервале 300—600 °К, а также термоэдс при температуре 300—700 °К указывают на полупроводниковый характер проводимости этого соединения. Значение ширины запрещенной зоны, вычисленной из температурной зависимости электропроводности монокристалла CuSbS_2 , в интервале температур 300—500 °К — 0,7—0,8 эв. Исследуя электропроводность расплава CuSbS_2 в широком интервале температур, авторы работы [2] установили, что в жидком и твердом состояниях это соединение является полупроводником с шириной зоны CuSbS_2 0,84 эв. Соединение обладает ромбической сингонией. Следует подчеркнуть, что CuSbS_2 встречается в природе в виде минерала халькостибита [3].

Разбор литературного материала показал, что тиостибит меди получен только методом синтеза. Что касается получения тиостибита меди в водном растворе, то в литературе нет сведений.

В данной работе был исследован процесс взаимодействия трехсернистой сурьмы с хлоридом одновалентной меди. Получить и использовать в качестве осадителя растворимые в воде соединения одновалентной меди трудно из-за быстрого окисления одновалентной меди на воздухе. По этой причине получен хлорид меди по методике [4].

При проведении опытов к определенному количеству трехсернистой сурьмы прибавляется аммиачный раствор хлорида меди (CuCl растворяется в NH_4OH). Оранжевый цвет трехсернистой сурьмы переходит в светло-коричневый.

В предыдущей нашей работе был выяснен механизм реакции взаимодействия между трехсернистой сурьмой и нитратом таллия. Установлено, что при образовании тиостибита таллия участвует $\frac{3}{4}$ и взятой трехсернистой сурьмы. Учитывая это, можно написать уравнение реакции взаимодействия трехсернистой сурьмы с хлоридом меди в следующем виде:



Для предупреждения гидролиза, полученного при реакции хлорида сурьмы (III), использован 10%-ный раствор винной кислоты: 0,3240 г трехсернистой сурьмы прибавляется к 3—5 мл 10%-ного раствора винной кислоты и разбавляется водой до 50 мл, затем прибавляется 10-миллилитровый 5%-ный аммиачный раствор хлорида меди. pH-раствора при этом становится 10%-ным. Содержимое при перемешивании нагревается до 50 °C. Полученный коричневый осадок фильтруется, промывается до отрицательной реакции на ион меди, высушивается при 110 °C и взвешивается.

Результаты опытов приводятся в табл. 1.

Таблица 1

Взято Sb_2S_3 , г	Практ. полу- ченено CuSbS_2 , г	Теоретич. вычислено CuSbS_2 , г	Разница, %
0,3240	0,3697	0,3582	+3,2
"	0,3680	"	+2,8
"	0,3687	"	+3,0
"	0,3680	"	+2,8

Как видно из данных табл. 1, результаты получаются повышенными, это, по всей вероятности, связано с растворимостью трехсернистой сурьмы при высокой pH-среде с образованием тио- и оксиосоединений сурьмы, которые дают с медью нерастворимые в воде соединения. По этой причине в следующих сериях опытов изучено влияние концентрации водородных ионов на полноту осаждения тиостибита меди. При регулировании конц. водородных ионов использованы 10%-ные растворы гидроксида аммония и уксусной кислоты (рис. 1).

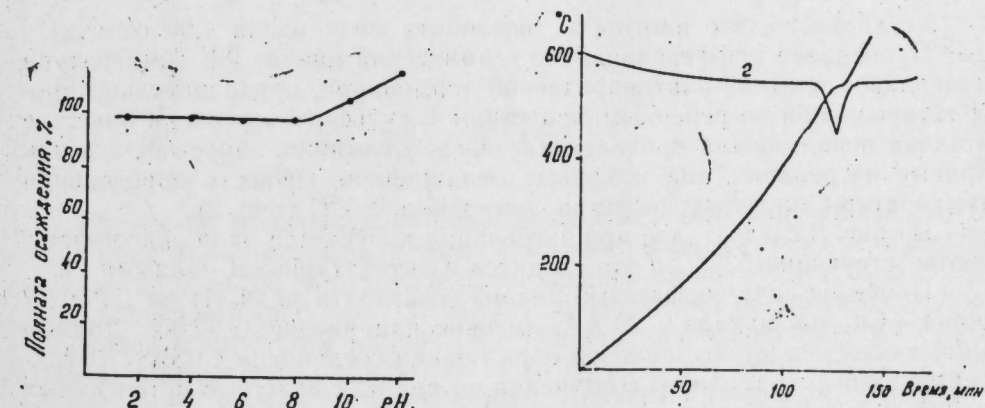


Рис. 1. Влияние концентрации водородных ионов на полноту образования тиостибита меди (I)

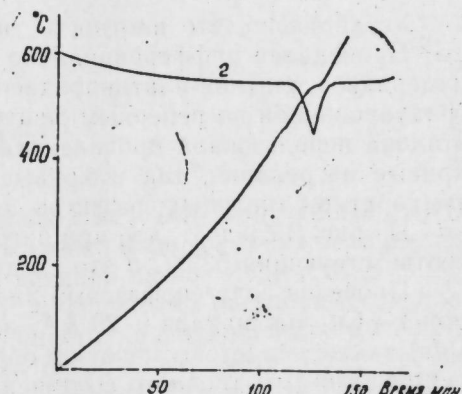


Рис. 2. Термограмма тиостибита меди (I); 1 — кривая нагревания; 2 — дифференциальная кривая

Как следует из рисунка, при проведении опытов в интервале pH 0—8 получается практически полное осаждение. Выше pH 8 результаты становятся повышенными, вероятно, вследствие растворимости

тиостибита меди в щелочной среде. При этом также осадок трудно укрупняется и частично переходит из фильтра.

Проведен химический анализ состава тиостибита меди. 0,5462 г осадок разлагается в конц. растворе азотной кислоты. Сурьма при этом окисляясь, переходит в осадок в виде Sb_2O_5 , последний растворяется в H_2SO_4 (1:1) и снова осаждается сероводородом в виде Sb_2S_3 . Затем по методике [5] определяется содержание сурьмы. Фильтрат от сурьмы выпаривается до полного удаления окислов азота, разбавляется и медь определяется йодометрически [6]. Результаты анализа приводятся в табл. 2.

Таблица 2

Химический анализ тиостибита меди (I)

Взято тиостибита меди (I), г	Определено					
	Са		Sb		S	
	практич.	теорет.	практич.	теорет.	практич.	теорет.
0,5462	2562	25,771	48,72	48,617	25,53	25,612

Результаты анализов показали, что эмпирический состав тиостибита меди соответствует формуле $CuSbS_2$.

Плотность тиостибита меди определена пикнометрическим методом [7] и величина плотности вычислена по формуле: $d_b = \frac{P \cdot d_m}{P \cdot C - F}$, где d_m —относительная плотность воды; P —масса порошкообразного вещества, г; G —масса пикнометра, наполненного водой, г; F —масса пикнометра с порошкообразным тиостибитом меди и водой, г.

Установлено, что плотность тиостибита меди равна 4,90 г/см³.

Проводился дифференциально-термический анализ [8]. Температура измерялась платина-платинородиевой термопарой, предварительно проградуированной по реперным веществам—сульфата натрия. В качестве эталона использовали прокаленную окись алюминия, записывались как кривые нагревания, так и кривые охлаждения. Точность определения температуры тепловых эффектов составляла $\pm 5^{\circ}C$ (рис. 2).

Из рис. 2 следует, что при нагревании получается один эндоэффект, соответствующий 535 °C и это сходится с литературными данными [9].

Проведен рентгенофазовый анализ тиостибита меди (I) на ДРОН-2 при $\lambda=Cu$, ток накала—20 мА, высокое напряжение—32 ку. Данные РФА также свидетельствуют об образовании соединения $CuSbS_2$. Штихрентгенограммы тройного соединения по анализу наиболее интенсивных линий значительно отличаются от штихрентгенограммы исходных компонентов.

Для определения растворимости тиостибита меди в дистиллированной воде использован полярографический метод анализа содержания сурьмы в насыщенном растворе. Полярограммы сняли с помощью полярографа типа ППТ-1 [10].

Установлено, что для исследуемого раствора при оптимальной скорости развертки 40 мв/с, скорость диаграммы ленты КСП-4 1800 мм/ч,

диапазон тока—2—4 А и период капания 3 с дают хорошие воспроизводимости. В качестве электрода сравнения использовали хлорсеребряный электрод. Потенциалы определяли по отношению к насыщенному хлорсеребряному электроду и пересчитывали на значение по водородной шкале.

Известно, что чем больше величина нормального предельного диффузионного тока, тем больше протяженность волны по вертикали—высота волны. Величину предельного тока принимать, оценивая по высоте волны, которую находили графически и измеряли в миллиметрах. Для определения содержания сурьмы подготовили 5 различных концентраций стандартных растворов: $C_1 = 3 \cdot 10^{-3}$, $C_2 = 3 \cdot 10^{-4}$, $C_3 = 3 \cdot 10^{-5}$, $C_4 = 3 \cdot 10^{-6}$, $C_5 = 3 \cdot 10^{-7}$ и фоновый раствор $2NH_3SO_4$.

Снимали полярограмму стандартных растворов. По полученным данным построили калибровочный график в координатах высота волны—концентрация (рис. 3).

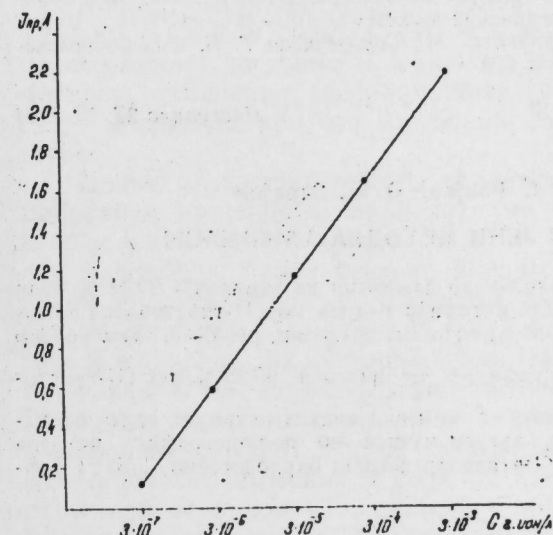


Рис. 3. Зависимости предельного тока от концентрации сурьмы

Затем по установленной оптимальной методике полученный тиостибит меди отфильтровывали через бумажный фильтр, промывали дистиллированной водой до отрицательной реакции на ион меди и высушивали в сушильном шкафу при 110 °C. Для определения растворимости пользовались термостатом марки U=10. Опыты проводились при $20 \pm 0,2^{\circ}C$. После растворения отфильтрованный прозрачный раствор переносился в ячейку и снимались полярограммы. Пользуясь графиком (рис. 3), находим концентрацию сурьмы.

Установлено, что содержание сурьмы в пробе после 4-часового перемешивания равняется пробе после 3-часового перемешивания. Поэтому данную концентрацию считали равновесной. Концентрация сурьмы в испытуемом растворе соответствовала $0,75 \cdot 10^{-6}$ моль/л. Основываясь на этом, начислено произведение растворимости без учета коэффициента активности ионов, который соответствует $0,56 \cdot 10^{-12}$.

Выводы

Исследован процесс взаимодействия трехсернистой сурьмы с хлоридом меди (I) в водном растворе. Установлено, что при интервале pH 0—8 и температуры 20—80°C $\frac{3}{4}$ взятой трехсернистой сурьмы практически полностью образует тиостибит меди (I) — состава CuSbS₂. Состав соединения подтвержден химическим, рентгенофазовым, дифференциальными-термическим и пикнотермическим анализами.

Литература

1. Абдуллаев Г. Б., Начи Р. Х., Насиров Я. Н.—Изв. АН АзССР, серия. физ.-техн. и матем. наук, 1963, № 6, с. 83—85.
2. Абдуллаев Г. Б., Мальсагов А. У., Глазов В. М.—Изв. АН СССР, неорганические материалы, 1968, т. 4, с. 1233—1235.
3. Сурьма /Под ред. С. М. Мельникова.—М.: Металлургия, 1977, с. 62.
4. Калякин Ю. В., Ангелов А. А. Чистые химические вещества.—М.: Химия, 1974, с. 123.
5. Немодрук А. А. Аналитическая химия сурьмы.—М.: Наука, 1978, с. 28.
6. Гиллебранд В. Ф. и др. Практическое руководство по неорганическому анализу.—М.: Химия, 1966, с. 287.
7. Воскресенский П. И. Техника лабораторных работ.—М.-Л., 1964, с. 479.
8. Берг А. Г. Введение в термографию.—М.: Наука, 1969.
9. Лазарев В. Б., Беруэльс С. И., Салони А. В. Тройные полупроводниковые соединения в системах Al—BV—SiV M. Наука 1982, с. 133.
10. Бакровский В. Ф., Горелик С. М., Гореденцева Т. Б. Физико-химические методы анализа.—М., 1972, с. 124—129.

Нахичеванский научный центр АН АзССР

Поступило 27. XI 1984

Э. Н. Нуриев, Б. З. Раев, Э. М. Гараев МИС (I)-ТИОСТИБИТИН ЙЕНИ МЕТОДЛА АЛЫНМАСЫ

Мәгәләдә Дарыдағ антиモンит филизиндер алыныш вә тәмнизи 99,91 % олан стибиум 3-сульфиддән вә мис (I)-хлориддән истигадә едәрәк мис (I)-тиостибитин алынmasы шәркәти тәддиг едилмишdir. Мүәжжән олмушшур ки, pH 0—8, температур 20—80° олдуғда көтүрүлмүш сүрмә 3-сульфидин $\frac{3}{4}$ һиссәси 99,98 % мис (I)-тиостибитә чөврилір. Алыныш мис (I)-тиостибит күмбәзи анализ олунмуш, онун штрихдиаграм вә термограммы чыхарылыш, хүсуси чәкиси вә полярографик методда һәллома нақасы тә'жин олунмушшур. Нәтижәләр алынан бирләшмәнин CuSbS₂ формулана уйғын кәлдијиниң тәсдиг едір.

A. N. Nuriev, B. Z. Rzaev, A. M. Karaev

NEW METHOD OF Cu THEOSTIBIT PRODUCTION

The Sb₂S₃ and Cu (I) chloride interaction in aqueous solution was investigated. It was determined that when stoichiometric coefficient ratio was 1:4 and temperature and pH were ranged from 20 to 80°C and from 2 to 8 accordingly the reaction was practically complete to yield the compound of CuSbS₂ composition. It was confirmed by differential-thermal, X-ray diffraction and pycnometrical analyses.

The solubility product was calculated without regard for ion activity coefficient, which was determined to be $0.56 \cdot 10^{-12}$.

Cu theostibit density to be produced by the new method was equal to 4.9 g/cm³.

АЗЭРБАЙЧАН ССР ЕЛМЛӘР АКАДЕМИЈАСЫНЫН МӘРУЗӘЛӘРИ

ДОКЛАДЫ АКАДЕМИИ НАУК АЗЕРБАЙДЖАНСКОЙ ССР

ТОМ XLII ЧИЛД

№ 5

1986

УДК 541.183

ФИЗИЧЕСКАЯ ХИМИЯ

Чл.-корр. АН АзССР Б. А. ДАДАШЕВ, Е. Н. ПОПОВА, А. А. САРЫДЖАНОВ,
Х. Ю. АСФАРОВА, С. И. АБАСОВ

АДСОРБЦИЯ ПАРОВ БЕНЗОЛА И ВОДЫ НА МОДИФИЦИРОВАННЫХ ОБРАЗЦАХ ПРИРОДНОГО МОРДЕНИТА

Природные мордениты являются микропористыми объектами. Для них характерно наличие двух типов пор со входными окнами $0,67 \times 0,7$ нм (I) и $0,29 \times 0,57$ нм (II). Известно, что модификация морденита изменяет доступность микропор для адсорбата [1]. Однако закономерность изменения адсорбционных свойств природного азербайджанского морденита при его модификации исследована еще недостаточно.

Целью настоящей работы является исследование влияния модификации природного морденита на его адсорбционные свойства по отношению к бензолу и воде.

Адсорбцию паров бензола и воды изучали гравиметрическим способом на адсорбционной установке при помощи чувствительных кварцевых спиралей. Адсорбентами служили образцы, приготовленные на основе морденита из месторождения Чананаб, химический состав и рентгенографические характеристики которого соответствуют описанным [2]. Исходный морденит переводили в декатионированную (ДК) и деалюминированную (ДА) формы трехкратной обработкой его 2N растворами хлористого аммония и соляной кислоты при 360 K с последующей отмыткой от ионов Cl⁻, сушкой и прокалкой. Полученные ДК и ДА формы морденита ($\text{SiO}_2:\text{Al}_2\text{O}_3 = 10$ и 17) модифицировали методом ионного обмена с раствором азотнокислого гадолиния (0,22 масс. % в расчете на элемент), после чего дополнительно наносили кобальт и палладий в количестве 0,4 масс. %. Перед адсорбционными измерениями образцы активировали в токе воздуха (775 K; 2 ч), восстанавливали водородом (775 K; 3 ч), а затем откачивали до постоянного веса при 294 K и остаточном давлении $\sim 1 \cdot 10^{-4}$ торр в течение 12 ч.

Изотермы адсорбции бензола и воды для всех адсорбентов были получены при 294 K. Эти изотермы удовлетворительно описываются уравнением Дубинина—Радушкевича [5].

$$\ln a = \ln W_0 p - \frac{\kappa}{\beta^2} \left(RT \ln \frac{P_0}{P} \right)^2,$$

где a —количество поглощенного адсорбата (г/г); W_0 —предельный объем адсорбционного пространства, заполненного адсорбатом (см³/г); p —плотность адсорбата (г/см³); K —постоянная, зависящая от распре-

деления пор по размерам; β — коэффициент афинности. Причем, $\beta = 1$, так как пары адсорбатов приняты в качестве стандартных паров; P_0 — давление насыщенных паров адсорбатов (торр); P и T — равновесное давление паров (торр) и температура опыта (К). На рис. 1 и 2 изотермы адсорбции соответствующие изотермам в координатах уравнения.

Путем экстраполяции линейного участка изотерм к $P/P_0 = 1$ были определены значения предельного объема адсорбционного пространства для каждого образца по бензолу ($W_{\text{об}}$) и воде ($W_{\text{ов}}$), которые представлены в таблице.

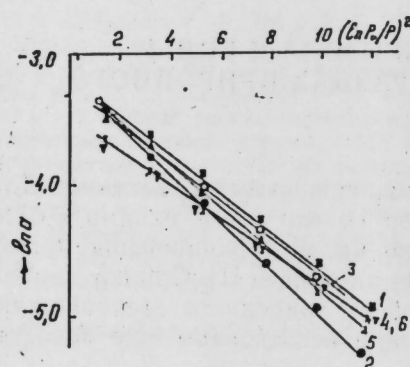


Рис. 1. Изотермы адсорбции бензола на образцах

1— $M_{\text{дк}}$; 2— $GdM_{\text{дк}}$; 3— $CoM_{\text{дк}}$;
4— $GdM_{\text{дк}}$; 5— $CoGdM_{\text{дк}}$;
6— $PdGdM_{\text{дк}}$

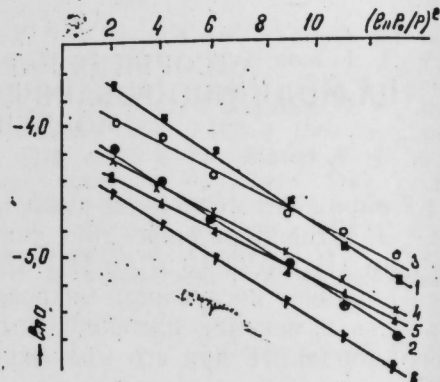


Рис. 2. Изотермы адсорбции воды на образцах:
Обозначения обр. те же, что и на рис. 1

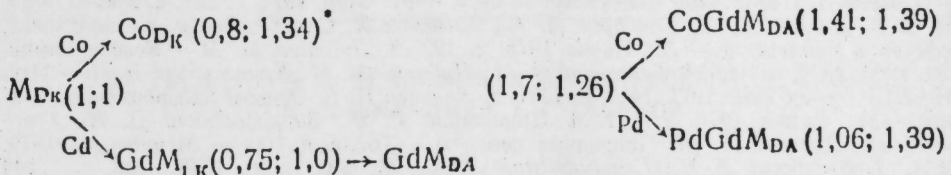
Адсорбционные параметры модифицированных образцов природного морденита

Обозначение образцов	$W_{\text{об}}$, см ³ /г	$W_{\text{ов}}$, см ³ /г	$K_B/K_B M_{\text{дк}}$	$K_V/K_V M_{\text{дк}}$
$M_{\text{дк}}$	0,0185	0,0314	1,0	1,0
$GdM_{\text{дк}}$	0,0165	0,0314	1,10	1,0
$CoM_{\text{дк}}$	0,0165	0,0424	0,96	1,24
$GdM_{\text{да}}$	0,0375	0,0396	1,23	1,16
$CoGdM_{\text{да}}$	0,0280	0,0437	0,99	1,12
$PdGdM_{\text{да}}$	0,0167	0,0437	1,17	1,48

Согласно [5], критические диаметры молекул бензола и воды равны соответственно 0,61 и 0,27 нм. Поэтому эти адсорбаты могут служить молекулярными щупами [1] при изучении изменений в микропористой структуре цеолита, происходящих при модификации. В силу своих геометрических размеров микропоры морденита II типа будут доступны только для молекул воды, а I — и для бензола.

Адсорбция воды с заполнением обоих типов микропор должна выражаться, по крайней мере, двумя изломами на изотермах [4]. Однако из рис. 2 следует, что начальные участки изотермы адсорбции воды описываются одинаковыми прямыми без изломов для всех изученных

образцов. Учитывая вид кривых, данных, на рис. 1 и 2, величины $W_{\text{об}}$ отнесены к микропорам I типа, а величины $W_{\text{ов}}$ — к микропорам II типа. Полученные данные представлены в виде схемы, в которой отражены изменения $W_{\text{об}}$ и $W_{\text{ов}}$ в зависимости от модификации ДК и ДА морденита.



* В скобках первыми приведены изменения $W_{\text{об}}$, а вторыми — $W_{\text{ов}}$ относительно образца $M_{\text{дк}}$.

Результаты исследования показывают, что модификация природного морденита приводит к изменению его адсорбционной способности по отношению к бензолу и воде. Притом наиболее сильно объемы микропор изменяются при деалюминировании. Это факт хорошо согласуется с рядом работ, в которых предполагается, что кислотная обработка очищает каналы морденита и приводит к появлению более широких микропор [1, 4, 6]. Из приведенной схемы следует, что наиболее сильно изменяются микропоры I типа. Адсорбционная емкость образца $GdM_{\text{да}}$ в 2,25 раза выше, чем у образца $GdM_{\text{дк}}$ в то время, как величины $W_{\text{ов}}$ — для этих образцов отличаются в 1,26 раз. Модификация образца $M_{\text{дк}}$ гадолинием или кобальтом снижает величину $W_{\text{об}}$ на 20—25 %, а модификация образца $GdM_{\text{дк}}$ кобальтом уменьшает $W_{\text{об}}$ на 18 %. Модификация палладием вызывает еще более резкие изменения, достигающие 38 %. Ниже влияет модификация образца $M_{\text{дк}}$ на характер изменений в значениях $W_{\text{ов}}$. Так модификация его гадолинием не оказывается на этой величине, в то время как модификация кобальтом увеличивает ее на 34 %. Рост величины $W_{\text{ов}}$ наблюдается и в случае модификации $GdM_{\text{да}}$ кобальтом и палладием. Наблюданное поведение кобальтосодержащих образцов, возможно, связано с тем, что в условиях восстановления образцов не происходит полного восстановления кобальта, что согласуется с [7, 8], где методом РСЛ и ЭПР не было обнаружено образования металлической фазы при восстановлении кобальтосодержащих цеолитов. По-видимому, невосстановленные ионы кобальта могут связывать воду в свою координационную сферу, и в результате этого наблюдаются более высокие значения $W_{\text{ов}}$ для изученных кобальтосодержащих образцов. Это указывает на то, что количество цеолитной воды является функцией не только геометрических факторов.

Повышение значения $W_{\text{ов}}$ для образца $PdGdM_{\text{да}}$ можно объяснить геометрическими факторами. Так, рост $W_{\text{ов}}$ сопровождается резким снижением $W_{\text{об}}$. Причем, как следует из таблицы, параметр K в уравнении имеет аномально высокое значение, указывающее на сильное изменение в распределении микропор по размерам. Известно, что палладий легко восстанавливается и спекается в условиях восстановления образцов, образуя достаточно крупные конгломераты [9]. Эти металлические частицы могут снизить размеры микропор I типа, за счет которых обра-

зуются более узкие микропоры. Вследствие этого часть пор I типа становится недоступной для молекул бензола, но остается доступной для молекул воды.

Литература

1. Брец Д. Цеолитовые молекулярные сита. — М.: Мир, 1976, с. 661.
2. Амирзяев С. Т., Елчизев Л. М., Ганбаров Д. М., Мамедов Х. С. Адсорбенты, их получение, свойства и применение. — Л.: Наука, 1978, с. 122.
3. Дубинин М. М. — Успехи химии, 1982, т. 51, № 7, с. 1065.
4. Беленский И. М., Дубинин М. М., Криштофори И. И. — Изв. АН СССР, серия хим., 1971, № 7, с. 1391.
5. Кельцеев И. В. Основы адсорбционной технологии. — М.: Химия, 1976, с. 117.
6. Цицишвили Г. В., Барнабашвили Д. И., Гогодзе Н. И., Долидзе Л. Ш. Природные цеолиты. — Тбилиси: Изд-во Меценатереба, 1979, с. 251.
7. Высоцкий А. В., Гайворонский Л. А. — Ж. физ. хим., 1978, № 9, с. 2244.
8. Besoukhanova T., Pichat P., Mathieu M. V., Jmelic B. J. chim. phys., 1974, 71 р. 751.
9. Scholten J. J. F., Montfort V. A. — I. Catalysis, 1968, v. 1, № 1, p. 85.

Институт нефтехимических процессов АН АзССР

Поступило 28. III 1984

Б. А. Дадашов, Е. Н. Попова, Э. Э. Сарычанов, Х. Ю. Асфарова,
С. И. Абасов

МОДИФИКАСИЯ ОЛУНМУШ ТӘБИИ МОРДЕНИТ НҮМҮНӘЛӘРИНИН БЕНЗОЛ ВӘ СУ БУХАРЛАРЫ ИЛӘ АДСОРБСИЈАСЫ

Мәгәләдә Gd, Co вә Pd элементләри илә модификация олунмуш катионсызлашыш вә алуминиуму чыхарылыш тәбии морденит формаларында бензол вә су бухарларының адсорбсиясы ѫрәнилмишdir.

Мүәյәҗән едилмишdir ки, модификация олунмуш нүмүнәләрин адсорбсия габиляјети бензол бухарына көрә азалып, лакин су бухарында исә артып.

B. A. Dadashov, E. N. Popova, A. A. Sarydjyanov, H. Yu. Asfarova,
S. I. Abasov

ABSORPTION OF BENZENE AND WATER VAPOURS ON MODIFIED SAMPLES OF NATURAL MORDENITE

Adsorption of benzene and water vapours on deionized (DC) and dealuminized (DA) forms of mordenite from Chananab deposit in Azerbaijan SSR modified by Gd, Co and Pd is studied.

It is found that acid treatment of natural mordenite causes the largest change of adsorption volumes of micropores.

Modification of DC and DA forms of natural mordenite by Gd, Co and Pd decreases their adsorption ability with respect to benzene vapours and increases it with respect to water vapours.

АЗЭРБАЙЖАН ССР ЕЛМЛӘР АКАДЕМИЈАСЫНЫН МӘРҮЗӘЛӘРИ

ДОКЛАДЫ АКАДЕМИИ НАУК АЗЕРБАЙДЖАНСКОЙ ССР

ТОМ XLII ЧИЛД

№ 5

1986

УДК 678.048

ХИМИЯ ВЫСОКОМОЛЕКУЛЯРНЫХ СОЕДИНЕНИЙ

Б. Ю. ТРИФЕЛЬ, Э. Б. ЗЕЙНАЛОВ, В. А. КЕРИМОВА, Т. Д. КУЛИЕВ,
К. С. ШИХАЛИЕВ, Т. Г. ГАСАНОВ

О ВЛИЯНИИ АНТИОКСИДАНТОВ НА ПРОЦЕСС ХИМИЧЕСКОЙ МОДИФИКАЦИИ БУТИЛКАУЧУКА

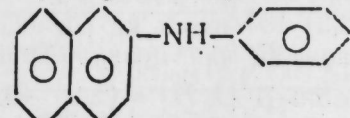
(Представлено академиком АН Азербайджанской ССР С. Д. Мехтиевым)

Сообщение 2

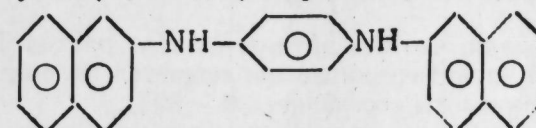
В предыдущем сообщении и работе [1] рассматривались результаты влияния ингибиторов — неозона-Д и природных антиоксидантов нефти на процесс химической модификации бутилкаучука (БК) трихлоруксусной кислотой (ТХУК). Было установлено, что в условиях модификации при т-ре 80 °C и наличии инициатора (азобисизобутиронитрил, АИБН) — неозон-Д природные антиоксиданты нефти резко снижают брутто-энергию активации процесса, приводят к увеличению скорости реакции и степени конверсии на 1—2 порядка. Для подтверждения этого экспериментального факта представлялось целесообразным расширить круг объектов исследования.

В настоящем сообщении приводятся результаты влияния ряда индивидуальных ингибиторов — антиоксидантов на процесс химической модификации бутилкаучука трибромуксусной кислотой (ТБУК). В качестве антиоксидантов использовали стабилизаторы полимерных материалов [2]:

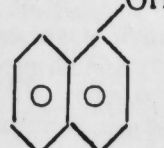
1. Неозон-Д (фенил-β нафтиламин)



2. Эджрайт-уайт (*N,N'*-ди-β нафтил-*p*-фенилендиамин)

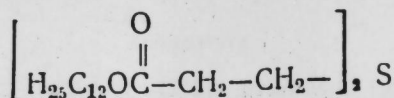


3. α-нафтол



4. Топанол „СА“ (трисалкен БМБ)
 $C_{37}H_{52}P_3$

5. ДЛТДП (дилаурилтиодипропионат)



Реакцию проводили в присутствии инициатора (АИБН) при 80 °С. Контроль за расходом ТБУК осуществляли методом потенциометрического титрования на приборе РН-673, снабженном электродной парой.

При титровании использовали 0,1 N раствор KOH в метаноле. Бутилкаучук (марки «2045М»), согласно паспорту, содержал 0,1%-ный неозон-Д.

Однако, учитывая невысокую точность (относительная ошибка 20—30%) определения концентрации неозона-Д на заводе, были проделаны контрольные опыты для уточнения концентрации. Для этого использовали модельную цепочку реакцию окисления изопропилбензола (кумола), широко применяемого для количественного анализа индивидуальных антиоксидантов [3—6].

На рисунке представлена кинетическая кривая поглощения кислорода в реакции инициированного окисления кумола в присутствии 0,1 г бутилкаучука «2045М», содержащего неозон-Д.

Объем реакционной смеси составлял 10 м, скорость инициирования модельной реакции $W_1 = 9,4 \cdot 10^{-8}$ моль/с, 60 °С.

По периоду индукции τ , определяемому как точка пересечения двух прямых — прямой, на которую выходит кинетическая кривая после индукционного периода, и касательной к кривой с наклоном, вдвое меньшим и с использованием соотношения для ингибированного окисления кумола [3]:

$$\tau = \frac{f[J_n H]}{W_1},$$

(где $[J_n H]$ — концентрация ингибитора, f — коэффициент ингибирования, равный числу реакционных цепей, обрываемых одной молекулой ингибитора), найдена эффективная концентрация неозона-Д в БК «2045 М»: $f[J_n H] = (5,7 \pm 0,3) \cdot 10^{-3}$ моль/кг (относительная ошибка 6 %).

Так как для неозона-Д, как правило, равен двум [3], то значение концентрации неозона-Д $[J_n H] = (2,9 \pm 0,2) \cdot 10^{-3}$ моль/кг или $0,06 \pm 0,004$ %. Таким образом, в БК «2045 М» до модификации содержалось $6 \cdot 10^{-2}$ вес. % неозона-Д.

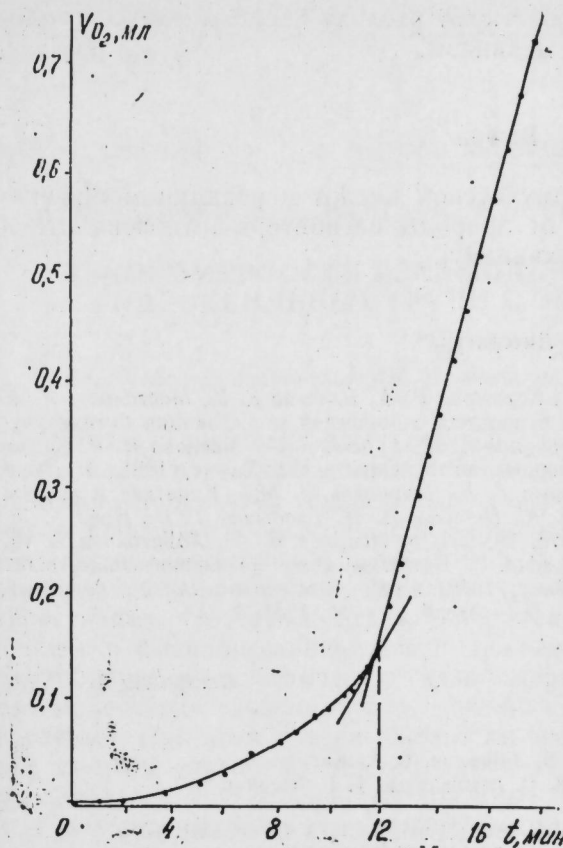
Опыты показали, что без антиоксидантов расход ТБУК в реакции модификации БК практически не наблюдается. В присутствии антиоксидантов расход кислоты составляет 30—80%.

В таблице приведены результаты экспериментов в присутствии антиоксидантов.

Показатели расхода трибромукусной кислоты в реакции модификации бутилкаучука в присутствии ингибиторов-антиоксидантов

Из приведенных в таблице данных видно, что:

1) с увеличением содержания ингибитора и инициатора в реакционной зоне расход ТБУК возрастает;



Кинетическая кривая поглощения кислорода в реакции инициированного окисления кумола в присутствии 0,1 г бутилкаучука «2045М», содержащего неозон-Д; $W_1 = 9,4 \cdot 10^{-8}$ моль/с, 60 °С; об. реакционной смеси — 10 см³

Условия экспериментов: 15 мл C_6H_6 + 2 г БК + 0,2 г ТБУК + инициатор + ингибитор, продолжительность 40 мин, 80 °С

Ингибитор-антиоксидант	Соотношение ингибитор: инициатор, масс. %	Расход ТБУК, %
1. Неозон-Д	0,7:1,0	78
	0,5:1,0	70
	0,3:1,0	70
	0,1:1,0	50
	:1,0	50
	0,5:0,5	55
	0,5:0,3	50
2. Эджрайт-уайт	0,5:	Расхода нет
	0,5:1,0	60
3. α-нафтол	0,5:1,0	65
4. Топанол „СА“	0,5:1,0	55
5. ДЛТДП	0,5:1,0	50
6. Синергическая смесь: топанол „С“ + ДЛТДП		75

- 2) сильную эффективность проявляет синергическая смесь топанол СА+ДЛДТП;
- 3) ингибиторы разного химического состава и строения практически в одинаковой степени способствуют расходу кислоты, по всей видимости, реализуя один и тот же механизм.

Вывод

Расход трихлор- и трибромуксусной кислот в реакции модификации бутилкаучука не зависит от природы ингибитора-антиоксиданта и происходит по идентичному механизму.

Литература

1. Зейналов Э. Б., Трифель Б. Ю., Керимова В. А., Велиева К. У., Масталиева Х. А. Кинетический анализ антиоксидантов в процессе химической модификации бутилкаучука. — Азерб. хим. ж., 1983, № 6. 2. Горбунов Б. Н., Гурвиц Я. А., Маслова И. П. Химия и технология стабилизаторов полимерных материалов. — М.: Химия, 1981. 3. Цепалов В. Ф., Харитонова А. А., Гладышев Г. П., Эмануэль Н. М. — Кинетика и анализ, 1977, 18, 1261, 1395. 4. Харитонова А. А., Цепалов В. Ф., Гладышев Г. П., Понг К. Д. Мис., Дж. — Кинетика и катализ, 1978, 19, 551. 5. Цепалов В. Ф., Харитонова А. А., Зейналов Э. Б., Гладышев Г. П. Тез. докл. IV Всесоюзн. конф. по жидкокомпозитному окислению органических соединений. — Баку, 1972, 2, 62. 6. Цепалов В. Ф., Харитонова А. А., Зейналов Э. Б., Гладышев Г. П. — Азерб. хим. ж., 1981, 4, 113.

Институт хлорорганического
синтеза АН АзССР

Поступило 8. V 1984

Б. І. Трифель, Е. Б. Зейналов, В. А. Керимова,
Т. Д. Гулиев, К. С. Шыхалиев, Т. Г. Гасанов

БУТИЛКАУЧУКУН КИМЈЕВИ МОДИФИКАСИЈА ПРОСЕСИНЭ АНТИОКСИДАНТЛАРЫН ТӘ'СИРИ

Мәгаләдә «2045М» маркалы бутилкаучукун учбромлу сиркә түршусу илә кимјеви модификасија просесинэ хүсүси ингибиторларын-антиоксидантларын тә'сирі өйткәнлүмидир. Мұәжжән едилмидир ки, антиоксидантларын кимјеви тәркиби вә гурулушундан асылы олмајараг онлар көтүрүлән түршүни 50%-дән 80%-ә گәдәринин сәрф олумасына сәбәп олурлар.

Ән яхшы эффект топанол СА+ДЛДТП (дилаурилтиодипропионат) гарышының көтүрүлдүкдә элдә олунур.

В. Yu. Trifel, E. B. Zeinalov, V. A. Kerimova, T. D. Kuliev,
K. S. Shikhaliev, T. G. Gasanov

ON THE EFFECT OF ANTIOXIDANTS ON THE PROCESS OF CHEMICAL MODIFICATION OF BUTYL RUBBER

The effect of individual inhibitors-antioxidants on the process chemical modification of butyl rubber "2045 M" by acetic acid is studied. It is found that antioxidants independent of their chemical composition and structure favour the acid consumption in the range of 50–80 %. A synergistic mixture topanol SA+DLTDP exhibits the strongest efficiency.

АЗЭРБАЙЧАН ССР ЕЛМЛӘР АКАДЕМИЈАСЫНЫН МӘРҮЗӘЛӘРІ

ДОКЛАДЫ АКАДЕМИИ НАУК АЗЕРБАЙДЖАНСКОЙ ССР

ТОМ XLII ЧИЛД

№ 5

1986

УДК 541.127,541.64

ХИМИЯ ВЫСОКОМОЛЕКУЛЯРНЫХ СОЕДИНЕНИЙ

А. В. РАГИМОВ, Б. А. МАМЕДОВ, Ч. О. ИСМАИЛОВА, А. Т. АББАСОВА

ЗАКОНОМЕРНОСТИ ВЗАИМОДЕЙСТВИЯ ФЕНОЛЬНЫХ ГИДРОКСИЛЬНЫХ ГРУПП С ЭПИХЛОРГИДРИНОМ

(Представлено академиком АН Азербайджанской ССР С. Д. Мехтиевым)

Синтез термореактивных полиэпоксидов и эпоксиленольных блок-сополимеров путем взаимодействия олигофенолов с эпоксидными соединениями осложняется тем, что основная реакция сопровождается целым рядом побочных процессов: полимеризацией эпоксидных соединений, их гидролизом, алкоголизом и др. [1—3]. В связи с этим, для управления этой реакцией и получения целевых продуктов со стабильными характеристиками (составом, структурой, молекулярно-массовым распределением и физико-механическими показателями) возникла необходимость изучения кинетических закономерностей и механизма реакции взаимодействия эпоксидных соединений с фенольными гидроксильными группами. При этом стадия раскрытия эпоксидного кольца в значительной степени определяет состав, структуру, молекулярно-массовое распределение и другие свойства конечных эпоксидных олиго- и полимерных материалов, а также моделирует акт инициирования анионной полимеризации и сополимеризации эпоксидов.

Настоящее сообщение посвящено изучению кинетических закономерностей стадии развития эпоксидного кольца при взаимодействии эпихлоргидрина с фенолом и *α*-нафтолом, моделирующим олиго- и полимеры с соответствующими звеньями в присутствии комплекса триэтиламина с бутиловым спиртом.

Фенол (чда) перед использованием перегоняли (т. кип.—455, 7К) *α*-нафтол (чда) был очищен двукратной сублимацией (т. пл. 369, 8К). Эпихлоргидрин перед использованием обрабатывали сухой щелочью фильтровали и перегоняли (т. кип. 390,2 К, d_4^{20} 1,18 г/см³). В качестве катализатора использовали 2 %-ный раствор свежеперегнанного триэтиламина (ч) в бутаноле.

Реакцию фенолов с эпихлоргидрином проводили в среде последнего в реакторе с рубашкой, снабженном магнитной мешалкой, патрубком для ввода инертного газа, обратным холодильником с хлоркальциевой трубкой и ультратермостатом-10. При заполнении реагентами в ходе реакции реактор продували сухим и очищенным азотом. После достижения заданной температуры в реакционную смесь вводили катализатор. Через каждые 5—10 мин после начала реакции отбирали пробы из реакционной среды. Концентрацию фенола и *α*-нафтола в пробах определяли методом газожидкостной хроматографии на хроматографе ЛХМ-8МД (детектор — катарометр, размер колонки — 2000,3 см, сорбент —

15% E-301 на хроматоне N-AW, газ носитель — гелий, скорость гелия на выходе — 45÷50 мл/мин, т-ра колонки и испарителя — 433,2 и 548,2 К при определении α -нафтола, 373,2 и 548,2 К при определении фенола, соответственно, стандарт — нафталин для α -нафтола и бензиловый спирт для фенола).

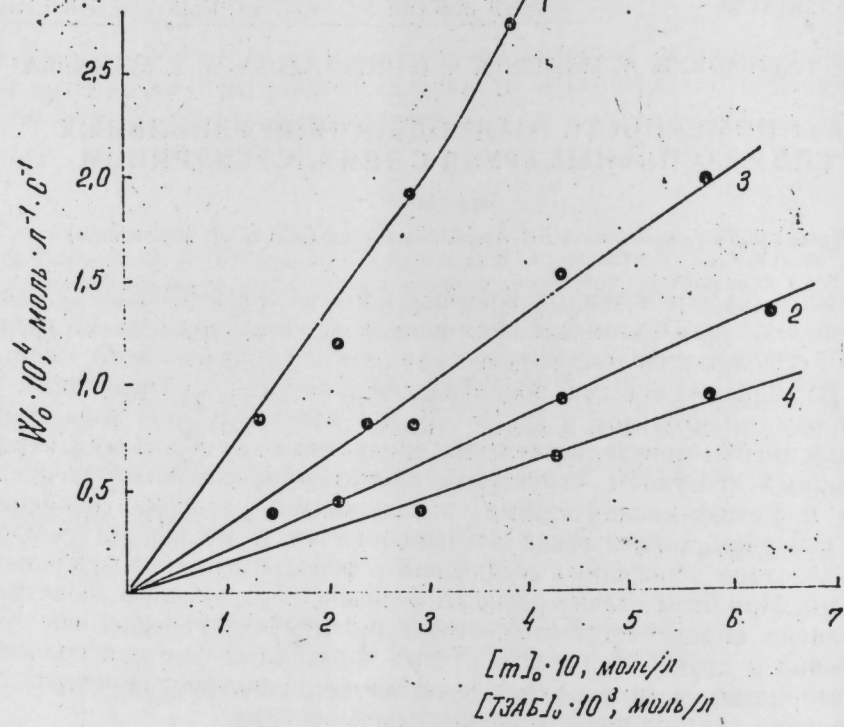


Рис. 1. Зависимость W_0 от исходных концентраций α -нафтола (1), фенола (2) и катализатора (3, 4) при реакции α -нафтола (1, 3) и фенола (2, 4) с эпихлоргидрином.
 $(m)_0$, моль/л: 0,28 (3); 0,43 (4); $(\text{Кат})_0$, моль/л: $0,58 \cdot 10^{-2}$ (1, 2); T , К — 353 (1—4)

Установлено, что в присутствии небольших количеств (0,7÷4,2 вес. %) комплекса $(C_2H_5)_3N \cdot C_4H_9OH$ фенол и α -нафтол с достаточно высокой скоростью реагируют с эпихлоргидрином. Например, при 353 К конверсия нафтола и фенола в течение 40—120 мин составляет 80 вес. %. При этом величина начальной скорости реакции для изученных фенолов находится в линейной зависимости от начальной концентрации катализатора и фенолов. Прямые, характеризующие эти зависимости, проходят через начало координат, что свидетельствует о первом порядке реакции как по катализатору, так и по фенольному компоненту (рис. 1). Данная зависимость, в отличие от результатов работы [4] не нарушается при изменении $(\Phi)_0$ и $(\text{Кат.})_0$ в интервале 0,14÷0,43 и 0,0015÷0,0058 моль/л, соответственно. Это обстоятельство свидетельствует, что при подавляющем избытке эпихлоргидрина в реакционной среде исключается образование прочных ассоциатов между молекулами фенольных компонентов, наблюдаемое Сорокиным и сотр. [5], способствующее понижению их реакционной способности. Выбранные условия

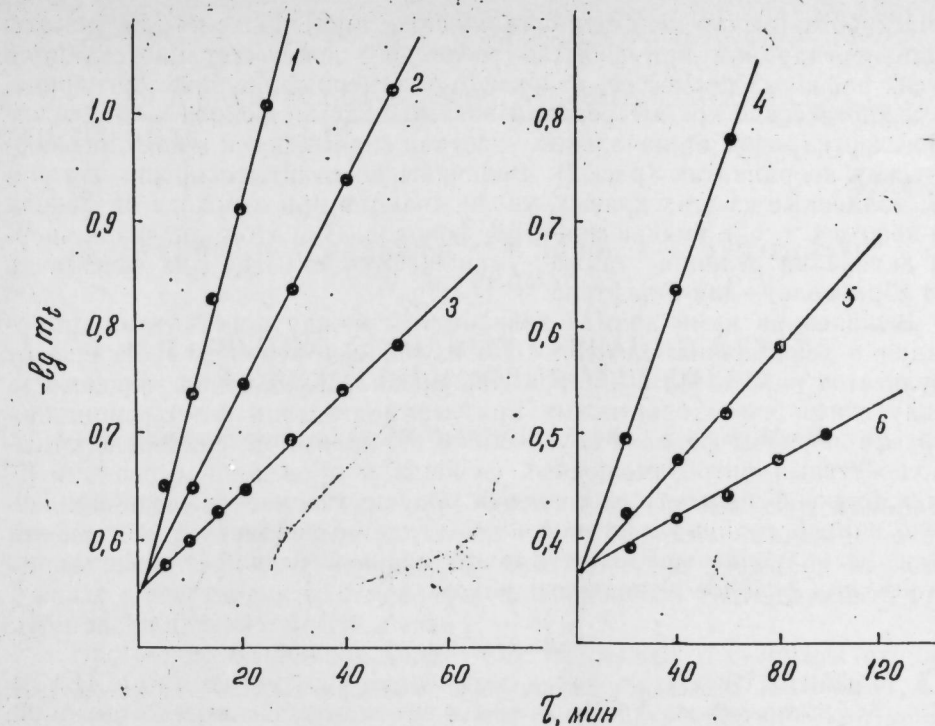


Рис. 2. Аноморфозы кинетических кривых при реакции α -нафтола (1—3) и фенола (4—6) с эпихлоргидрином в координатах $-\lg mt$ — время.
 $(m)_0$, моль/л: 0,28 (1—3); 0,43 (4—6); $(\text{Кат.})_0$, моль/л: $0,58 \cdot 10^{-2}$ (1—6);
 T , К: 353 (1, 4); 343 (2, 5); 333 (4, 6)

Условия и некоторые кинетические показатели реакции фенолов (m) с эпихлоргидрином

Условия			$W_0 \cdot 10^4$, моль \cdot л $^{-1}$ \cdot с $^{-1}$	$k \cdot 10^4$, с $^{-1}$	E , кДж/моль
$(m)_0$, моль/л	$(\text{Кат.})_0 \cdot 10^2$, моль/л	T , К			
Фенол ($pK = 10,00$ при 297 К)					
0,43	0,58	338	0,18	0,48	
0,43	0,58	343	0,45	1,0	
0,43	0,58	353	0,91	2,9	84,4
0,43	0,43	353	0,63		
0,43	0,29	353	0,38		
0,64	0,58	353	0,30		
0,21	0,58	353	0,43		
α -нафтол ($pK = 9,85$ при 297 К)					
0,28	0,58	353	1,9	6,9	
0,28	0,58	343	1,0	3,8	
0,28	0,58	333	0,50	1,7	68,8
0,42	0,58	353	2,6		
0,21	0,58	353	1,2		
0,14	0,58	353	0,82		
0,28	0,43	353	0,50		
0,28	0,29	353	0,78		
0,28	0,15	353	0,38		

(в частности, низкая концентрация катализатора) конденсации фенолов с эпихлоридрином при избытке последнего исключает протекание п. других побочных процессов, например, полимеризацию эпихлоридрина.

Кинетические кривые реакции взаимодействия фенола и α -нафтола с эпихлоридрином на начальных участках спрятываются в полулогарифмических координатах (рис. 2). Величины константы скорости (таблица), найденные из этих кривых, увеличиваются при переходе от фенола к α -нафтолу, т. е. с уменьшением рК фенолов. При этом, значения энергии активации реакции также уменьшаются от 84,4 для фенола до 68,8 Дж/моль — для α -нафтола.

Выявленная нами прямая зависимость между константами диссоциации и реакционной способностью изученных фенолов, в отличие от результатов работы [4], в которой фиксировалась обратная зависимость между этими характеристиками при взаимодействии фенилглицидилового эфира рядом фенолов обусловлена, по-видимому, сильнокислотными свойствами нитрозамещенных фенолов и проведением реакции [5] при избытке фенольного компонента. Осуществление реакции при избытке эпихлоридрина и низкой концентрации фенольного компонента исключает влияние межмолекулярных взаимодействий в фенолах на ход реакции фенолов с эпихлоридрином.

Литература

- Пакен А. М. Эпоксидные соединения и эпоксидные смолы. — Л.: Химия, 1972, с. 374.
- Благонравова А. А., Непомнящий А. А. Лаковые эпоксидные смолы — Л.: Химия, 1970, с. 66.
- Роговина С. З., Саламатина О. Б., Маркевич М. А., Непомнящий А. И., Ениколопян Н. С. — Докл. АН СССР, 1974, 297, с. 892.
- Сорокин М. Ф., Шодэ Л. Г. — ЖОРХ, 1966, 2, с. 1463.
- Сорокин М. Ф., Шодэ Л. Г. — ЖОРХ, 1966, 2, с. 1469.

Институт хлорорганического синтеза
АН АзССР

Поступило 16. V 1984

Э. В. Рагимов, Б. Э. Мамедов, Ч. И. Исмаилова, А. Т. Аббасова

ФЕНОЛ ҮИДРОКСИЛ ГРУПЛАРЫ ИЛЭ ЕПИХЛОРЫНДРИНИН ГАРШЫЛЫГЛЫ ТЭ'СИРИНИН ГАНУНАУГЛУГЛАРЫ

Мэглэдэ фенол вэ α -нафтол илэ эпихлорындини (C_2H_5)₃N·C₄H₉OH-ын катализтик мигдарынын штиракы илэ эпихлорындин мүйнитиндэ реаксијалары тэдгэг единшишдир. Көстэрилэн фенолларла эпихлорындин гаршылыглы тэ'сир заманы епоксид һэлгэснин ачылмасынын кинетик ганунаујуулгулгары ёрэннилшишдир. Таймышдыр ки, реаксија катализатора вэ фенол компонентинэ көрэ биринчи тэртий бэ малиндир.

Реаксијанын сүр'эт сабитлэрини вэ активлэшмэ енергисинин гијмэллэри тэ'жин единшишдир. Өрэннилэн фенолларда РК-нын гијмэтийнин азалмасы илэ реаксијанын сүр'эт сабитлэрини гијмэллэрийн артмасы мушаандэ олуумушдур.

A. V. Ragimov, B. A. Mamedov, Ch. O. Ismailova, A. T. Abasova

SOME REGULARITIES OF INTERACTION OF PHENOLIC HYDROXYL GROUPS WITH EPICHLOROHYDRIN

A reaction of phenol and α -naphthol with epichlorohydrin in the presence of catalytic amounts of (C_2H_5)₃N·C₄H₉OH in the medium of epichlorohydrin is studied. The kinetic regularities of epoxy ring opening upon an interaction of phenols with epichlorohydrin are investigated. It is found that the reaction has the first order with respect to the catalysts and phenolic fragment. The values of rate constants, and activation energy for the reaction are determined. It is established that with decreasing pK of the phenols studied, the values of reaction rate constants increase.

АЗЭРБАЙЧАН ССР ЕЛМЛЭР АКАДЕМИЈАСЫНЫН МЭРҮЗЭЛЭРИ

ДОКЛАДЫ АКАДЕМИИ НАУК АЗЕРБАЙДЖАНСКОЙ ССР

ТОМ XLII ЧИЛД

№ 5

1986

УДК 551.591.2

ГЕОХИМИЯ

И. С. ГУЛИЕВ, Ф. Г. ДАДАШЕВ, А. И. ПОПОВ, А. А. ФЕИЗУЛЛАЕВ,
Ш. Д. ФРИДМАН

К ИЗУЧЕНИЮ СУТОЧНЫХ ВАРИАЦИЙ МЕТАНА В ПРИЗМЕННОМ СЛОЕ АТМОСФЕРЫ

(Представлено академиком АН Азербайджанской ССР Ш. Ф. Мехтиевым)

Изучение суточных вариаций метана в приземном слое атмосферы представляет интерес для широкого круга вопросов, связанных с круговоротом углерода в природе. В последнее же время он изучается в связи с загрязнением атмосферы и разработкой дистанционных методов поиска залежей нефти и газа [1—6].

Настоящее сообщение базируется на данных о суточных вариациях CH₄ в приземном слое атмосферы, полученных в 1977 и 1979 гг. с помощью лазерных анализаторов «Луч» и «Искатель-2», принцип работы которых описан в [6].

Измерения лазерным анализатором «Луч» проводились в 1977 г. вблизи г. Славянск, в 30 км от ближайших нефтегазовых месторождений. Временные вариации концентраций CH₄ замерялись на трассе длиной L/2=50 м непрерывно в течение 3 суток. Замеры проводились непосредственно с автомобиля на высоте 2 м от поверхности Земли. Результаты замеров представлены на рис. 1. Концентрация CH₄ в приземном слое воздуха изменяется в пределах (1—3)·10⁻⁴%. В дневные и вечерние часы колебания концентраций CH₄ невелики и составляют около 10%.

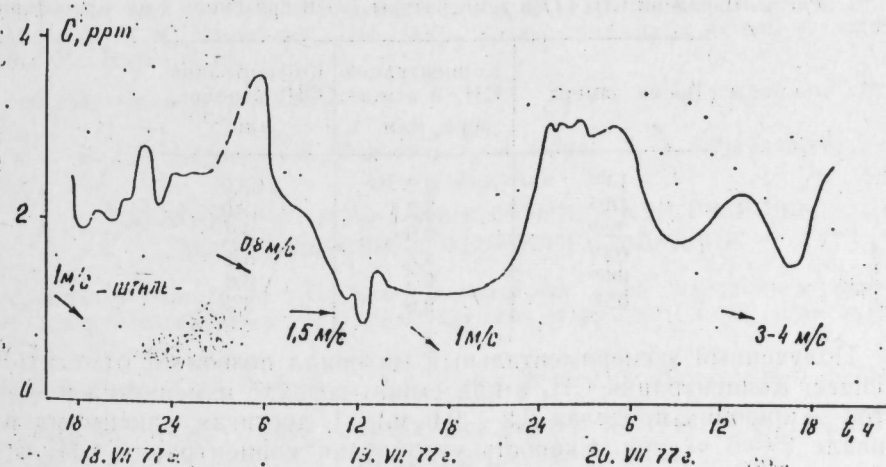


Рис. 1. График изменения концентрации CH₄ в приземной атмосфере

Установлено, что в предутренние часы, независимо от метеорологических условий, концентрация CH_4 в 2 раза выше по сравнению с дневными.

Аналогичные исследования проводились на газосъемочной станции Института геологии АН Азерб. ССР, в окрестностях г. Сальяны в 1979 г. Временные вариации CH_4 в атмосфере измерялись лазерным анализатором «Искатель-2», смонтированным на автомобиле «Газ-66», через час в течение 1,5 суток. Параллельно замерялись температура и влажность воздуха, скорость ветра и атмосферное давление. В интервале с 13⁰⁰ до 5³⁰ были проведены параллельные замеры концентраций метана в атмосфере и почве. Результаты замеров представлены на рис. 2 и в таблице.

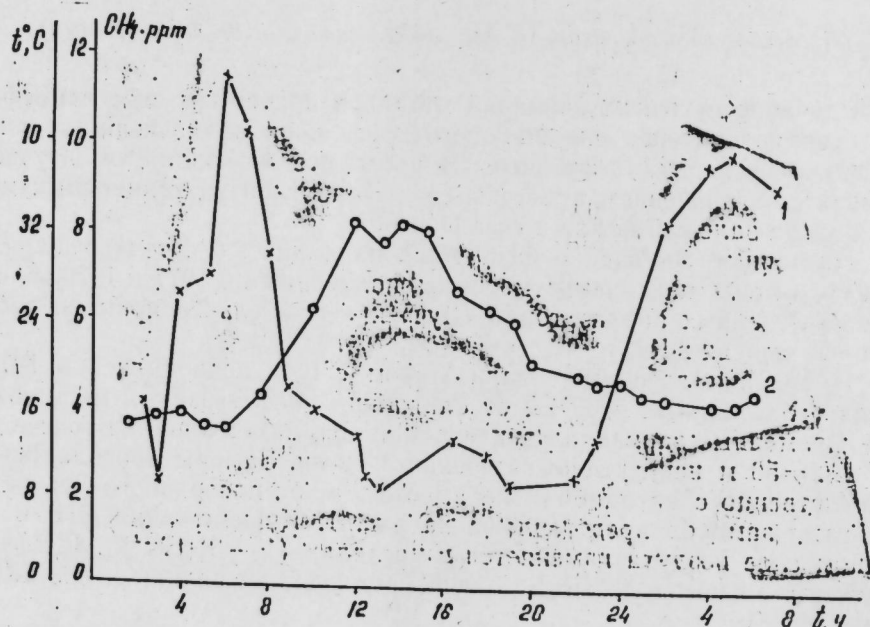


Рис. 2. Вариации CH_4 (1) и температуры (2) в приземном слое атмосферы

Время замера	Концентрация CH_4 в атмосфере, млн ⁻¹	Концентрация CH_4 в почве, млн ⁻¹
13 ⁰⁰	2,2	53,0
18 ¹⁵	3,2	42,0
22 ⁰⁰	2,6	3,2
02 ⁰⁷	8,2	3,4
04 ⁰⁰	9,3	3,8
05 ³⁰	9,6	3,3

Полученный экспериментальный материал позволяет отметить следующее. Концентрация CH_4 в приземном воздухе изменяется в течение суток в широких пределах 2,2—9,6 млн⁻¹, достигая максимума в интервале 2—6 ч утра. Скорость увеличения концентраций CH_4 в этот период в атмосфере по данным непрерывных замеров составляет 2·10⁻³% в 1 ч.

Суточный «ход» кривой концентрации метана коррелируется с изменением температуры воздуха. Вариации концентраций CH_4 в почвенном воздухе еще более значительны и изменяются в пределах 3,2—53,0 млн⁻¹. Максимальные концентрации CH_4 отмечаются в интервале от 13 до 18 ч.

Таким образом, экспериментальными исследованиями, проведенными независимо друг от друга в различных географических районах и различными по способу регистрации приборами, установлено значительное, до пятикратного, увеличение концентраций CH_4 в приземном воздухе в предутренние часы по сравнению с дневными. Указанный эффект, установленный для CH_4 , свойственен и другим газам, например, радону [7] и связан он обычно с утренней температурной инверсией, благодаря которой газообмен в атмосфере нарушается и происходит накопление газа в приземном воздухе. В этом случае, как показали параллельные замеры концентрации радона в атмосфере и почве, накопление радона происходит также и в почве, т. к. высокие концентрации в атмосфере препятствуют диффузии газа из почвы. Данные таблицы показывают, что увеличение концентраций CH_4 в атмосфере в предутренние часы сопровождается синхронным уменьшением концентраций CH_4 в почве; в интервале от 2 до 4⁰⁰ поток CH_4 направлен из атмосферы в почву.

Таким образом, увеличение концентраций CH_4 в атмосфере в предутренние часы, видимо, не связано с утренней температурной инверсией. Это явление также трудно объяснить процессом воздухообмена почвы с атмосферой за счет изменения температуры или влажности, поскольку при воздухообмене концентрация отдельных компонентов атмосферного или почвенного воздуха не изменяется [7]. Изменения влажности и других метеорологических параметров ($V_{\text{вет}}$, $P_{\text{ат}}$) за период исследований не превысили 15%.

Полученные экспериментальные данные представляют интерес в связи с изучением газового режима биосфера и особенностей газообмена литосфера — атмосфера.

Литература

1. Ehhalt D.—Tellus, 1974, 26, № 1, 2. 2. Levi H.—Planet Space Sci., 1972, № 6.
3. Бирюлин В. П. и др.—Геология нефти и газа, № 4, 1979. 4. Батчер С., Чарлсон Р.—Введение в химию атмосферы.—М.: Мир, 1979. 5. Лукшин В. В. и др.—Изв. АН ССР, т. 13, № 1, 1977. 6. Антропов П. Я. и др.—Советская геология, № 10, 1979. 7. Макаров Б. Н., Мацкевич В. Б. В сб. Физико-химические методы исследования почв.—М.: Наука, 1966.

Институт геологии АН АзССР

Послушало 5. III 1984

И. С. Гулиев, Ф. Г. Дадашев, А. И. Попов, Э. Э. Феизуллаев,
Ш. Д. Фридман

АТМОСФЕРИН ЙЕРЭ ЙАХЫН ГАТЫНДА КҮН ЭРЗИНДЭ
ДӘЛИШИЛМӘСИНИН ӨЈРӘНИЛМӘСИНӘ ДАИР

Мәтәләдә атмосферин юрә йаҳын гатында күн эрзинде метанын дәлишилмәсінин өјрәнилмәсі нәтижәсіндә ону мигдарының сәһәр вактында артдығы мүәжжән едилмишdir.

I. S. Guliyev, F. G. Dadashov, A. I. Popov, A. A. Feizullayev, Sh. D. Fridman

ON METHANE DAILY VARIATIONS STUDY WITHIN ATMOSPHERE SURFACE LAYER

Methane daily variations were studied within atmosphere surface layer. Considerable increase of its concentration at dawn hours was estimated.

А. М. ЭФЕНДИЕВ, Ф. Г. ИСЛАМ-ЗАДЕ, А. Н. КАРАЕВ

**ВЛИЯНИЕ ПРИРОДНЫХ И СИНТЕТИЧЕСКИХ
АНТИОКСИДАНТОВ НА АКТИВНОСТЬ ФЕРМЕНТОВ
МЕТАБОЛИЗМА ПРОСТАГЛАНДИНОВ В ПОЧКАХ КРЫС
ПРИ ДЕЙСТВИИ ПОЛИЕНОВЫХ АНТИБИОТИКОВ**

(Представлено академиком АН Азербайджанской ССР Г. Г. Гасановым)

Из данных литературы известно, что антиоксиданты проявляют свойства не только «гасить» биорадикальные процессы [1], но и модулировать активность многих ферментов в клетке [2]. В последние годы изучается их влияние на активность ферментов метаболического каскада арахидоновой кислоты [1]. Интенсивно исследуется также и их действие на активность синтеза отдельных типов ПГ ($E_2 F_{22}$ простациклина (ПГ I_2). Однако в литературе практически отсутствуют сведения о действии антиоксидантов на активность ферментов метаболизма ПГ.

Цель работы — исследовать влияние природных и синтетических антиоксидантов на активность ключевых ферментов метаболизма ПГ в разных слоях почек крыс в процессе длительного применения полиеновых антибиотиков.

МАТЕРИАЛ И МЕТОДЫ

В эксперимент брали беспородных белых крыс-самцов массой 500—600 г. В опытах использовано 100 животных. Отдельным группам животных вводили в/венно в хвостовую артерию 5%-ный раствор глюкозы, содержащей амфотерицина В 250 ЕД/кг, леворина 550 и Na-соли инстинтина 700 ЕД/кг. Животных забивали в разные временные интервалы от начала введения антибиотиков (1, 2, 4, 8, 12, 24 ч и 2, 4, 8 сут). На каждый временной интервал брали по 10 крыс, включая и контроль. Почки быстро извлекали из брюшной полости, отмывали в холодном физрастворе от следов крови и фиксировали в жидким азоте.

В дальнейшем до использования их хранили при -40°C . В этих условиях ферментативная активность не изменялась в течение месяца [3].

В момент исследования, не давая почкам полностью разморозиться, делали срезы и тщательно отделяли корковую, мозговую и папиллярную части. Навески тканей (300—500 мг) гомогенизировали в 0,25 м К-fosfатном буфере (рН 7,5).

Гомогенаты последовательно центрифугировали в холодовой центрифуге. В конечной фракции цитозоля проводили исследование активности 15-ПГ-дегидрогеназы и 9-кеторедуктазы-ПГЕ $_2$ [4, 5]. Белок опре-

деляли по Лоури и др. [6]. Иникубацию проводили при встряхивании при 37°C в течение 60 мин. Реакцию останавливали добавлением 200 мкл 5,6%-ной муравьиной кислоты до рН 3,0—3,5 (оптимальный рН для экстракции ПГ F_{2a}). Пробы экстрагировали дважды 5-кратным объемом этилацетата. Органические фазы после центрифугирования объединяли и выпаривали в токе азота при 35°C . Осадок растворяли в 100 мкл смеси хлороформ: метанол (1:1 v/v) и наносили на пластинку с тонким слоем силикагеля G (Merk — ФРГ). Хроматографию образцов проводили в системе бензол: диоксан; уксусная кислота (20:10:1 v/v). Одновременно на каждую пластинку наносили смесь немеченого ПГ и 13,14-дегидро-15 кето ПГ F_{2a} . После разделения стандартную смесь ПГ и метаболита проявляли 10%-ным раствором фосфомолибденовой кислоты в спирте и соответственно их расположению идентифицировали продукты реакции. Пятна вырезали, элюировали метанолом непосредственно в стицилляционные флаконы. Метанол выпаривали в токе азота, а к осадку добавляли диоксановый сцинтиллятор и радиоактивность просчитывали на стицилляционном счетчике Mark III (Nuclor — Chicago США).

Другую часть цитозоля использовали для исследования активности 9-кеторедуктазы ПГЕ $_2$. Общий объем пробы составлял 1 мл на К-фосфатном буфере (рН 7,5). Белок вносили до конечной концентрации 2,0—2,5 мг/мл (105 000 хг надосадочная фракция), НАДФН — 0,1 мМ; 4 мкг ПГЕ $_2$ (Upjohn — США) вместе с Н 3 ПГЕ $_2$ (—100 000 имп/мин), глюкозо-6-фосфат (10 мМ), глюкозо-6-фосфатдегидрогеназы (0,5 ед), и дитиотриетол (0,1 мМ). Реакция идет 60 мин. Все остальные процедуры, в основном, как и в первой постановке (различие лишь в том, что в качестве стандартов на тонкий слой наносили смесь ПГЕ $_2$ и ПГ F_{2a} для идентификации количественного перехода ПГЕ $_2$ в ПГ F_{2a}).

РЕЗУЛЬТАТЫ И ОБСУЖДЕНИЕ

Результаты проведенных нами исследований показали, что антиоксиданты как природные (α -токоферол), так и синтетические стимулируют активность исследуемых групп ферментов, но в разной степени. Наиболее эффективным из группы синтетических антиоксидантов оказалось соединение А $_3$. При действии вещества А $_3$ в корковом слое активность 15-ПГ дегидрогеназы и 9-кеторедуктазы ПГЕ $_2$ увеличивается на 8-е сутки, соответственно в 2,2 и 6 раз относительно контрольных значений. α -токоферол по сравнению с синтетическими антиоксидантами в значительно меньшей степени восстанавливает активность исследуемых групп ферментов, α -токоферол в корковом слое на фоне амфотерицина В увеличивает активность 15-ПГ дегидрогеназы и 9-кеторедуктазы ПГЕ $_2$ в 1,2 раза.

На фоне действия леворина в корковом слое почки антиоксиданты более отчетливо стимулируют активность ферментов. Так, на 8-е сутки опыта вещество А $_3$ повышает активность 15-ПГ дегидрогеназы в 2,4, а 9-кеторедуктазы ПГЕ $_2$ — в 10,8 раза относительно исходных данных. α -токоферол в этот же срок наблюдения увеличивает активность 15-ПГ дегидрогеназы в 1,3, а 9-кеторедуктазы ПГЕ $_2$ — в 2,4 относительно контрольных значений.

В большей степени, чем в предыдущих случаях, антиоксиданты

стимулируют активность ферментов на фоне вводимого нистатина. Так, на 8-е сутки вещество А₃ в корковом слое почки повышает активность 15-ПГ дегидрогеназы в 3,3, а 9-кеторедуктазы — 13,2 раза относительно контрольных величин. α -токоферол в свою очередь стимулирует активность перечисленных ферментов соответственно 1,6 и 3,0 раза относительно исходных уровней.

Что касается влияния антиоксидантов на активность ферментов метаболизма, на фоне полиеновых антибиотиков, то в мозговом и папиллярном слоях степень их стимулирующего влияния несколько выше, чем в корковом, причем это особенно выражено в папиллярном слое при действии Нa-соли нистатина. Характер изменения активностей ферментов в этих слоях такой же, как и в корковом.

В литературе уже высказывались предположения о том, что полиеновые антибиотики при аутоокислении выделяют различные активные радикалы и сами могут инициировать перекисное окисление липидов (ПОЛ) в мембранных клетках [7]. По-видимому, исходя из этих данных и собственных результатов можно предполагать, что эффект антиоксидантов двойственный.

Во-первых, они «тушат» свободно радикальные реакции и обезвреживают возникшие перекисные радикалы, за счет этого и происходит, по-видимому, протекция клеточных структур и ферментов.

Во-вторых, они могут влиять на активность многих ферментов в клетке [8], меняя их активность в ту или иную сторону в зависимости от химической структуры антиоксиданта.

Выводы

1. Антиоксиданты эффективно защищают ферменты метаболизма ПГ от продуктов ПОЛ.

2. Синтетические антиоксиданты (А₁, А₂ и А₃) оказывают наибольший эффект на активность ферментов мозгового и папиллярного слоев почек.

Литература

1. Carpenter M. P.—Fed. Proceed., 1981, v. 40, № 2, p. 189—194.
2. Chan A. C., Vincent A., Hegarty J., Allen C. E.—J. Nutr., 1980, 110, 74—81.
3. Van Dorp D. A., Buytenhek, M., Ehrlst-Hazelhof E., Nugteren E. H., Van der Onderna E. J.—Acta Biol. Med. Germ., 1978, v. 37, p. 691—699.
4. Hansen H. S.—Prostaglandins, 1976, 12, 647—679.
5. Stone K. I., Hart M.—Prostaglandins, 1975, 10, 273—288.
6. Lowry O. H., Rosebrough N. J., Randall P. G., Farr A. L.—J. Biol. Chem., 1951, 193, № 1, p. 265—275.
7. Gutteridge J. M., and Thomas A. H.—Biochem. Med., 1980, 24, 194—200.
8. Chan A. C., Vincent P., Hegarty J., Allen C. E.—J. Nutr., 1980, 110, 74—81.

Азербайджанский медицинский институт
им. Н. Нариманова

Поступило 6. IV 1984

А. М. Эфандиев, Ф. Г. Исламзадэ, А. Н. Гараев

ПОЛИЕН АНТИБИОТИКЛЭРИН ЙЕРИДИЛМИШ СИЧАНЛАРЫН БӨЈРӘКЛЭРИНДЭ ПРОСТАГЛАНДИН МУБАДИЛЭСИ ФЕРМЕНТЛЭРИНИН АКТИВЛИИНЭ ТӘБИИ ВӘ СИНТЕТИК АНТИОКСИДАНЛАРЫН ТӘ'СИРИ

Мәгаләдә узун мүддәт полиен антибиотикләри (амфотерин B, леворин вә нистатин) ѹеридилмиш сичанларын бөјрәкләрини мұхтәлиф гатында простагландин мү-

бадиләссиндә иштирак едән ферментләрин активлииңә таби (α-токоферол) вә синтетик (А₁, А₂, А₃) антиоксидантларын тә'сиринә аид ма'луматлардан бөйс едилди.

Лашкар едилмишdir ки, бу антиоксидантларын тә'сирі габыг, бејни вә папилляр гатларда ејин чүр тәзәһүр етмир. Метаболизмда иштирак едән ферментләрин (15 ПГ-денидрокеназалар вә 9-кеторедуктазалар — ПГЕ₂) активлииңә, эсасән, А₃ маддәсі вә гисмән аз α-токоферол тә'сир көстәрир.

A. M. Efendiyev, F. G. Islam-zadeh, A. N. Karayev

NATURAL AND SYNTHETIC ANTIOXIDANT EFFECT ON PROSTAGLANDIN METABOLIC ENZYME ACTIVITY IN RAT KIDNEY WITH POLYENE ANTIBIOTIC ACTION

Effect of natural (α -tocopherol) and synthetic (A₁, A₂, A₃) antioxidants on prostaglandin metabolic enzyme activity was studied in different layers of rat kidney during long-term polyene antibiotic (amphotericin B, levorin, nystatin) administration.

Natural and synthetic antioxidant effect was determined to be expressed in the cortical, medullar and papillary layers in dissimilar manner. The large effect on the recovery of disturbed metabolic enzyme activity (15PG-dehydrogenase and 9-ketoreductase PG E₂) was produced by A₃ substance, and the largest one—by α -tocopherol.

Г. А. АЛИЕВ, Н. И. ЛЫСЕНКО

К СИСТЕМАТИКЕ НЕРИНЕЛЛИД (ГАСТРОПОДЫ)

(Представлено академиком АН Азербайджанской ССР К. А. Ализаде)

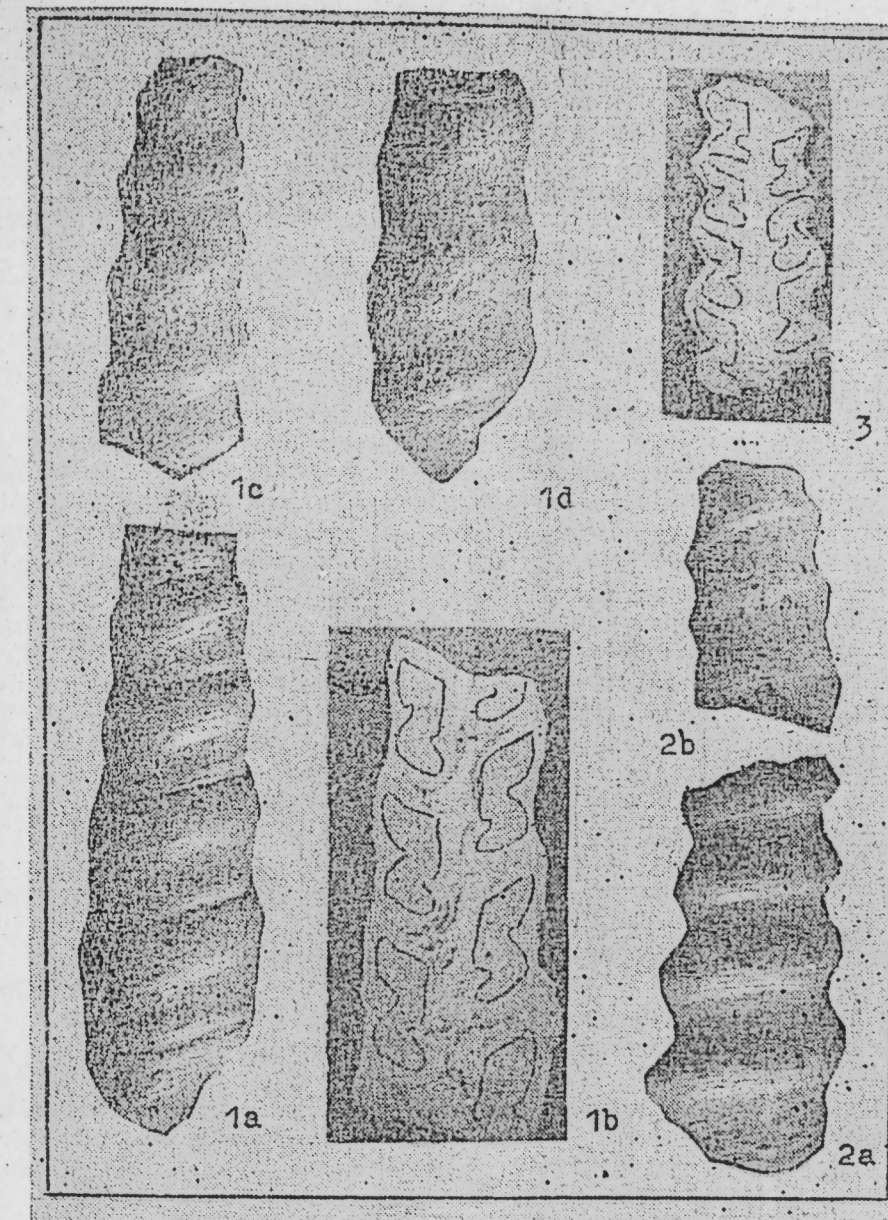
Вероятно, ни одно из подразделений в классификации неринеид не содержит в своем обосновании столько противоречивых суждений, сколько семейство Nerinellidae Pcelincev и связано это с тем, что первичный диагноз подрода *Nerinella*, предложенного Д. Шарпом [10], и позднее возведенного М. Коссманном [7] в ранг рода, отличается крайней неопределенностью. Традиционно принимается [10, 7, 8, 11], что к этой группе должны относиться представители неринеид, обладающие мелкими, узковершинными или цилиндрическими раковинами, образованными высокими эволюционными оборотами, несущими продольную бугорчато-ребристую скульптуру. Анализ показывает, что ни один из перечисленных морфологических признаков не является специфическим исключительно для этой группы и они в той или иной степени свойственны всем неринеям. Особую трудность вызывает использование этих признаков при разграничении родов *Nerinea* и *Nerinella* и не случайно, время от времени появления высказывания [12, 9] о необходимости слияния их в один род. Возникает вопрос о валидности рода *Nerinella* и выделяющихся на его основе таксонов более высокого ранга.

По мнению авторов, положительное решение этого вопроса возможно лишь на основе выявления таксономического значения морфологических признаков путем сравнения их и выделения родоспецифических, т. е. имеющих реальное значение при обосновании рода.

Результаты изучения других групп [1, 2, 3, 4, 5] показывают, что таким признаком является внутренняя спиральная складчатость. Использование таких типов складчатости в качестве ведущего систематического признака при разграничении таксонов неринеид важно в том отношении, что позволяет рациональным способом осуществлять классификацию этой, ценной в биостратиграфическом отношении, группы мезозойских гастропод.

В статье приводятся новые данные о систематическом составе семейства Nerinellidae и предлагается выделение новых систематических единиц родового ранга: *Hacobjania* Lyssenko et K. Aliev, gen. nov.; *Internuntia* Lyssenko et K. Aliev, gen. nov. Объем семейства Nerinellidae и возможные филогенетические связи между родами могут быть представлены в виде следующей схемы (рисунок).

Отряд NERINEIDA



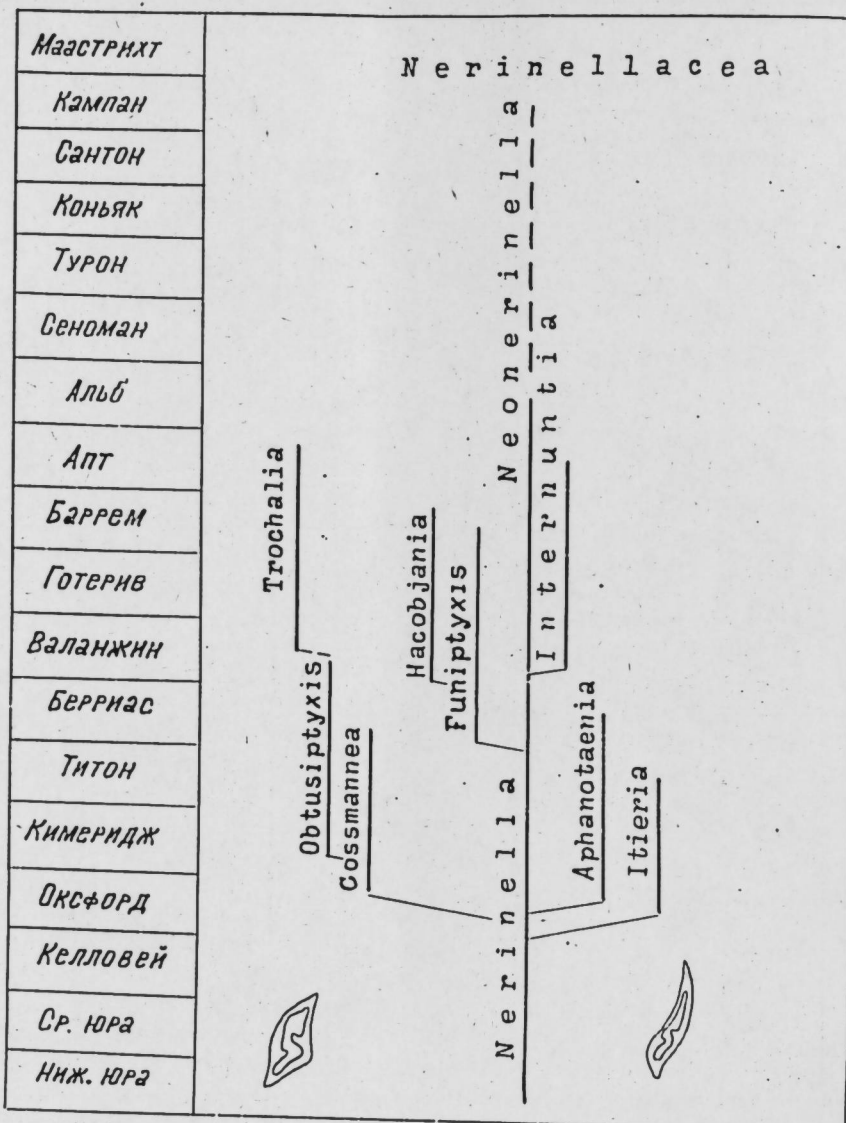
1. a, b, c, d—*Hacobjania pcelincevi* Lyss. et K. Aliev sp. nov; 2. a, b,
3—*Internuntia basartschaensis* Lyss. et K. Aliev sp. nov.

ПОДОТРЯД NERINEINA LYSSENKO, SUBORDO NOB.

НАДСЕМЕЙСТВО NERINELLACEA PCELINCEV, 1965.

СЕМЕЙСТВО NERINELLIDAE PCELINCEV, 1965 (EMEND.
LYSSENKO, 1952).Типовой род: *Nerinella Sharpe*, 1849 (Cossmann, 1896).

Диагноз. Раковины башнеоковидной или субцилиндрической формы, образованные эволюционными оборотами, несущими различную скульптуру или гладкие, беспупковые с прямоугольными или субромбическими



Замечание. В связи с тем, что в качестве главного систематического признака принимается тип спиральной складчатости, в семействе Nerinellidae объединяются только те группы нериней, которые отличаются двухскладчатым неринелловым типом складчатости. Группы нериней, не отвечающие этому требованию, исключаются из состава семейства (*Aptyxiella*, *Contortella*).

Распространение. Ранняя юра—поздний мел Средиземноморской палеоゾогеографической области.

Род: *Hacobjania* Lyssenko et K. Aliev, gen. nov. (таблица; рисунок 1а, б, в, д)

Название: по фамилии В. Т. Акопяна.

Типовой вид: *Hacobjania pcelincevi* Lyssenko et K. Aliev, sp. nov. верхний баррем Малого Кавказа, бассейн р. Базарчай.

Диагноз. Раковина крупных размеров, субцилиндрической формы, образованная навиванием высоких слабовогнутых оборотов, гладких или покрытых слабовыраженной спирально-ребристой скульптурой. Устье округленно-ромбическое, высокое с удлиненным сифональным каналом. Внутренняя полость завитка с двумя спиральными складками — на столбике и на наружной губе.

Состав. 2 вида — *H. lippovi* Насобյап и Djalilov, 1983; *H. pcelincevi* Lyssenko et K. Aliev, sp. nov.

Сравнение. Внешней формой раковин род *Hacobjania* близко напоминает род *Funipyxis* Pcelincev, 1965, но отличается от последнего наличие складчатости.

Распространение. Валанжин-апт; валанжин Мангышлака, верхний баррем-нижний апт Малого Кавказа.

Hacobjania pcelincevi Lyssenko et K. Aliev, sp. nov.

Голотип № 31. Лаборатория палеонтологии и стратиграфии мезозоя ИГ АН АзССР, барремские рифогенные известняки в бассейне р. Базарчай, Малый Кавказ, АзССР.

Материал: 15 экземпляров раковин удовлетворительной сохранности.

Диагноз. Раковина крупных размеров, субцилиндрической формы с вершинным углом спирали 8—10°. Обороты высокие, слегка вогнутые, гладкие. Примерно со средины оборота и до верхнего окончания наблюдается выпуклость, возникающая за счет надвигания каждого последующего оборота на предшествующий, вследствие чего обороты кажутся как бы вложенными один в другой. Пришовная часть оборота несет частые, косо расположенные по отношению к оси раковины, бугорки (около 20 на величину одного полного оборота). Основание раковины покатое, периферия закругленная. Устье округленно-ромбическое. Одна из двух складок расположена в нижней части столбика, другая — в средней части наружной губы.

Размеры (мм)

№ экз.	В	III	Б:III	а
1	22,2	28,6	0,79	6—7°
2	20,0	26,0	0,79	7—9°
3	10,0	15,0	0,66	до 9°

ми очертаниями устья и внутренней спиральной складчатостью неринеллового типа: присутствуют две складки — колумеллярная и губная.

СОСТАВ СЕМЕЙСТВА: *NERINELLA* SHARPE, 1849; *APHANOTAENIA* COSSMANN, 1898; *FUNIPTYXIS* PCELINCEV 1965; *HACOBJANIA* ZYSENKO ET K. ALIEV, GEN. NOV., *INTERNUNTIA* LYSENKO ET K. ALIEV, GEN. NOV.

Сравнение. Общей формой раковине представители семейства Nerinellidae отличаются от представителей других семейств надсемейства Nerinellaceae: от Trochaliidae узковершинными беспупковыми формами; от Itieriidae эволюционным навиванием оборотов и общей формой раковин.

Изменчивость. Индивидуальные различия нового вида незначительны и выражаются в уменьшении угла спиралы с ростом раковины и увеличении размеров пришовного впадения. По мере приближения к устьевой части раковины наблюдается также постепенное сглаживание пришовных бугорков.

Распространение. Верхний баррем (ургон) Малого Кавказа (АзССР).

Местонахождение. Бассейн р. Базарчай, левый берег р. Аликулишаги, ургонские биогермные известняки (верхний баррем).

Род: *Internuntia* L. Yssenko et K. Aliev, gen. nov.

Название: *Internuntia* — посредница (лат.).

Типовой вид: *Internuntia basartschaensis* Lysenko et K. Aliev, sp. n. верхний баррем.

Диагноз. Раковина башенковидной формы, сильно вогнутые обороты обусловливают килеватость шовного валика, несущего один ряд крупных округлых, раздельно расположенных бугорков. Верхняя часть каждого последующего оборота в незначительной степени надвигается на периферию предыдущего. Поверхность оборотов покрыта спиральной скульптурой в виде 3—4 ребер на величину одного оборота. Устье неправильно ромбических очертаний. Внутренняя полость завитка с двумя складками — на столбике и наружной губе, кулисообразно расположеными друг по отношению к другу.

Состав. Только один вид — *Internuntia basartschaensis* sp. nov.

Сравнение. Сильно вогнутыми оборотами и наличием спиральной скульптуры род *Internuntia* отличается от других родов семейства Nerinellidae.

Распространение. Верхний баррем (ургон) Малого Кавказа (АзССР).

Internuntia basartschaensis Lysenko et K. Aliev, sp. nov. (абсолицца; рисунок 2, а, б, 3).

Голотип. Экз. № г/32, лаборатория палеонтологии и стратиграфии мезозоя Института геологии АН АзССР, верхний баррем (ургон), Малый Кавказ (АзССР).

Название: по местонахождению в бассейне р. Базарчай.

Материал. 12 экз. удовлетворительной сохранности.

Диагноз. Раковина крупных размеров, башенковидно-цилиндрической формы, образованная сильно вогнутыми оборотами. Угол спирали в среднем составляет около 10°. Шовный валик выдающийся, килевидный, несущий на верхней своей части ряд округлых раздельно расположенных бугорков. Помимо этого поверхность оборотов покрыта спиральной скульптурой из простых продольных ребер, в количестве 3—4. Устье субромбических очертаний с вогнутой наружной губой. В полости завитка присутствуют 2 спиральные складки, на дистальных окончаниях яичковидно изгибающиеся к париетальной части.

Распространение. Верхний баррем (ургон) Малого Кавказа.

Местонахождение. Бассейн р. Базарчай, левый берег р. Аликулишаги, ургонские туфопесчаники с орбитолинами.

Литература

1. Алиев Г. А., Лысенко Н. И. — Докл. АН АзССР, 1980, т. XXXVI, 10, с. 75—78.
2. Алиев Г. А., Лысенко Н. И. — Изв. АН АзССР, серия науки о Земле, 1980, № 2, с. 100—106.
3. Алиев Г. А., Лысенко Н. И. — Докл. АН АзССР, 1981, т. XXXVII, 9,

с. 71—74. 4. Лысенко Н. И. Палеонтол. сб. — Львов: Вища школа, 1978, № 15, с. 89—93. 5. Лысенко Н. И. — Палеонтол. сб. — Львов: Вища школа, 1981, № 18, с. 20—25. 6. Пчелинцев В. Ф. Мурчисонита мезозоя южного Крыма. — М.—Л.: Изд. АН СССР, 1965, с. 3—215. 7. Cossmann M. — Essais de paleoconchologie comparée, Livr. 2, 1896. 8. Dietrich W. O. Gastropoda mesozolca. — Fam. Nerineidae. Fossili. Catal. I, Animal. 1925, pars 31. 9. Gelger P. Die Nerinen des schwäbischen Jura. — Jahresh. Vereinsvaterl. Naturkunde Württemberg. — Stuttgart, 1901. 10. Sharpe D. Remarks on the genus Nerinae with an Account of the species found, v. 6. — London, 1849. 11. Wenz W. Gastropoda. — Handbuch der Paläozoologie Bd 6, T. 1—7, Berlin, 1938—1944. 12. Zittel K. Die Gastropoden der Stramberger Schichten. — Paleont. Mittheil. Museum Bayezae-Staates, 1873, Bd 11.

Институт геологии
АН АзССР

Поступило 10. X 1983

Г. Э. Элиев, Н. И. Лысенко

НЕРИНЕЛЛИДЛЭРИН (ГАСТРОПОДА) ТЭСНИФАТЫ ҮАГГЫНДА

Мэгалэдэ *Nerinellidae* айлэснин (гастропода) яни тэснифаты эсасландырылмыш, ики яни чине *Hacobjania* sp. nov. вэ *Internuntia* sp. nov. айрылмыш, Кичик Гафгзын Базарчай нөвзэснин беррем биокерм энхэндешларындан тапылмыш нэвээрин тэсвири верилмийшидир.

G. A. Aliev, N. I. Lysenko

ON TAXONOMY OF NERINELLIDAE (GASTROPODS)

The authors suggest a new taxonomy of *Nerinellidae* Psel., distinguishing 5 genera including 2 new ones — *Hacobjania* sp. nov. and *Internuntia* sp. nov. A phylogenetic scheme of superfamily *Nerinellacea* Psel. is given.

In the article two new species of these gastropods are presented — *Hacobjania pcelincevi* sp. nov. and *Internuntia basartschaensis* sp. nov., originated from Barremian biohermic limestones in the river Bazarchal basin in the Lesser Caucasus.

РАСЧЕТ ЭНЕРГИИ, ПОШЕДШЕЙ НА МИНЕРАЛЬНЫЕ ПРЕОБРАЗОВАНИЯ, В ЗАВИСИМОСТИ ОТ ВОЗРАСТА ПОЧВЫ

(Представлено академиком АН Азербайджанской ССР В. Р. Волобуевым)

Согласно В. В. Докучаева, почва, ее генезис и свойства находятся в тесной связи, т. е. почва, будучи самостоятельным природным телом, есть функция совокупной деятельности почвообразующих факторов: климата, организмов, горных пород, возраста, рельефа и хозяйственной деятельности человека.

Почвопрофильные процессы — сумма всех элементарных реакций (процессов): образование органического вещества, превращение первичных минералов во вторичные, синтез органоминеральных соединений, а также перемещение и перераспределение продуктов этих элементарных составляющих [1].

Зная элементарные химические реакции превращения первичных минералов во вторичные, используя закон Гесса и его следствий, мы можем подсчитать количество энергии, пошедшей на минеральные преобразования.

Представим, что в приведенной зависимости некоторый фактор постоянно изменяется, а остальные остаются постоянными, как было уже нами сделано ранее [7, 8].

Это не противоречит учению В. В. Докучаева, поскольку, формулируя законы почвоведения, он установил «закон постоянства между почвенным возрастом и абсолютной высотой страны, с одной стороны, и характером одевающих ее почв, — с другой» [5, с. 316].

Развивая учение В. В. Докучаева о почвообразовательных факторах, Б. Б. Полынов [6] писал, что при неизменности прочих факторов почвообразовательный процесс может изменить свой характер во времени.

В данном случае переменной величиной является возраст, а такие факторы, как материнская порода, климат, организмы условно примем неизменными для каждого конкретного случая, который мы и рассмотрим. Причем, необходимо отметить, что при рассмотрении всех перечисленных почвообразующих факторов, мы сознательно исключаем влияние рельефа, т. к. в наших расчетах и рассуждениях объектами служат элювии различных кристаллических пород, а также фактор, характеризующий хозяйственную деятельность человека, поскольку рассматриваем природные ценозы.

Известно, что чем древнее почва, тем в большей степени материнская порода претерпевает изменения: в ней меньше остается первичных

минералов, увеличивается количество вторичных глинистых минералов, происходит перераспределение их в почвенном профиле и т. д. Таким образом, для целей генетического почвоведения знание возраста почвы, ее «древность» или «молодость» трудно переоценить, т. к. это дает возможность судить о темпах выветривания материнской породы и накопления вторичных минералов, направленности процессов выветривания первичного вещества и т. д.

Соколов [9], исследуя вулканогенные почвы Камчатки, установил приблизительный возраст почвы, основываясь на данных о времени извержения вулканов. Используя термодинамический подход, определим влияние возраста почвы путем расчета количества энергии, пошедшей на минеральные преобразования, рассмотрев в качестве примера охристые вулканогенные почвы Камчатки.

Эти почвы развиваются на вулканическом материале аэрального происхождения в зоне умеренного пеплопада. В результате наложения свежих пеплов сформировался полигенетический профиль, состоящий из трех наложенных друг на друга слоев. Соколов [9] отмечает, что на Камчатке подобное строение рассматриваемых охристых почв свидетельствует о трех периодах активизации вулканической деятельности, которые произошли в послеледниковое время с примерно равными интервалами в 3—5 тыс. лет.

Исходный состав всех пеплов представлен вулканическим стеклом, полевыми шпатами, пироксенами, амфиболами, причем все генетические горизонты, как отмечает Соколов, в охристых почвах имеют качественно весьма близкий минералогический состав.

В составе илистой фракции новообразованные минералы в основном представлены аморфными гидроокисями. Такая фаза минеральных преобразований названа Волобуевым [1] примитивной глинистой фазой, т. к. аморфные гидроокиси обладают достаточно высокой емкостью поглощения.

Как отмечает Соколов [9], состав пеплов и песков действующих вулканов остался неизменным, поэтому мы при расчетах энергии, пошедшей на минеральные преобразования, в качестве исходной материнской породы использовали минералогический состав свежих пеплов и песков, т. к. они идентичны по своему составу с реликтовыми пеплами и песками. Таким образом, зная минералогический состав материнской породы для каждого слоя профиля, можно, с известным приближением по разности первичных минералов в исходной породе (свежие пеплы и пески) и, как показали наши расчеты минералогического состава почв, существующих в настоящее время в почве, как современной, так и погребенной, с учетом количества имеющегося в каждом конкретном слое вторичного материала, подсчитать количество энергии, пошедшей на минеральные преобразования для всех слоев почвы.

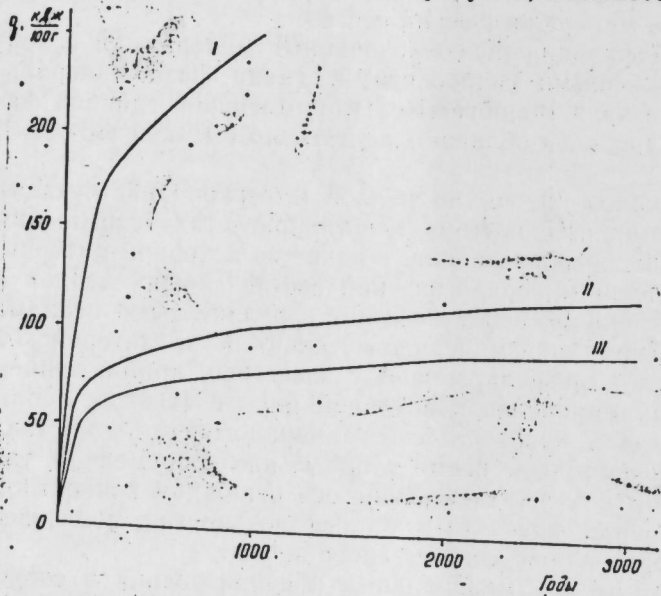
Расчеты показали, что на минеральные преобразования в современном слое почвы было затрачено 180—190 кДж 100 г почвы, в то время как на нижележащие погребенные слои — больше, почти в 2—3 раза, соответственно. И это естественно, т. к. за прошедшее время в погребенных слоях почвы продолжался процесс внутрипочвенного выветривания, что в результате привело к значительному накоплению гидроокисей алюминия и железа в этих слоях.

Подобные же расчеты проведены и для других почв, развитых на различных материнских породах, у которых известен возраст. Например,

на лаве вулкана Хошаошань (Китай, порода — андезито-базальт) за 300 лет с момента извержения, по данным валового анализа почвы и породы, приводимым Горбуновым [4], согласно нашим расчетам, на образование элювия было затрачено 191 кДж/100 г элювия, в то время как за 1000 лет на таком же исходном материале (лава вулкана Вишань) сформировалась лугово-лесная почва, на минеральные преобразования которой было затрачено 253 кДж на 100 г почвы.

А. Н. Геннадиев [2, 3] исследовал разновозрастные горно-луговые и горные лесо-луговые почвы Приэльбрусья, развитые на гранитах и андезито-дактиках. По аналитическим данным им же была рассчитана энергия, пошедшая на минеральные преобразования. Как показали расчеты, для слаборазвитых горно-луговых почв, развитых на гранитах, за 60 лет на минеральные преобразования пошло 52 кДж/100 г почвы; для среднеразвитой почвы за 300 лет было затрачено 67 кДж/100 г для полноразвитой почвы примерно за 3000 лет — 93 кДж/100 г почвы. За 100 лет для слаборазвитой горно-лесо-луговой почвы материнской породой, которой является более основная порода (андезито-дакит), было затрачено 69 кДж/100 г почвы. Так же, как и для описанных почв Приэльбрусья с возрастом затраты энергии, пошедшие на минеральные преобразования, увеличиваются: для 1000-летней почвы — 101 кДж на 100 г почвы, для 3000-летней почвы — 123 кДж/100 г почвы.

Как видно из рисунка, с возрастом почвы увеличиваются затраты энергии на минеральные преобразования, хотя интенсивность выветривания, как видно из этого же рисунка, снижается, т. к. наиболее интен-



Зависимость между энергией, пошедшей на минеральные преобразования и, возрастом почв для различных пород, на которых развились даные почвы: I — андезито-базальт; II — андезито-дакит; III — гранит

сивно выветриваются первичные минералы у более молодых почв, независимо от материнской породы. Из данного рисунка видно, что наиболее интенсивно, с большими затратами энергии на минеральные преобразования, происходит выветривание минералов основных пород; более кислые породы, например, андезито-дакиты, по сравнению с более основными андезито-базальтами, выветриваются медленнее, не говоря уже о гранитах. Это объясняется тем, что последние менее подвержены выветриванию, чем средние и основные породы, т. к. в своем составе они

содержат в основном полевые шпаты с прочной каркасной структурой, а в составе основных пород преобладают минералы со слоистой и цепочечной структурами, легко подверженных выветриванию.

Таким образом, из приведенных примеров видно, что чем древнее почва, тем большее количество солнечной энергии расходуется на минеральные преобразования. Однако, несмотря на большие различия в минералогическом составе и условиях выветривания, выявлены общие закономерности темпов выветривания различных почвообразующих пород в зависимости от времени.

Литература

1. Волобуев В. Р. Система почв. Мира. — Баку, Элм, 1973.
2. Геннадиев А. Н. — Почвоведение, 1978, № 4.
3. Геннадиев А. Н. — Почвоведение, 1978, № 12.
4. Горбунов И. И. Минералогия и физическая химия почв. — М.: Наука, 1978.
5. Докучаев В. В. Сочинения, т. VI. — М.-Л.: Изд-во АН СССР, 1951.
6. Польнова Б. Б. Избранные труды. — М.: Изд-во АН СССР, 1956.
7. Пономарев Д. Г. В сб.: Исследования по биогеоэнергетике в Азербайджане. — Баку: Элм, 1979, с. 103—110.
8. Пономарев Д. Г., Джазарова Т. С. — ДАН АзССР, 1981, т. XXXVII, № 5, с. 56—59.
9. Соколов И. А. Вулканизм и почвообразование (на примере Камчатки). — М.: Наука, 1973.

Институт почвоведения и агрохимии АН АзССР

Поступило 15. V 1984

Д. Г. Пономарев

ТОРПАГЫН ЖАШЫНДАН АСЫЛЫ ОЛАРАГ МИНЕРАЛ ЧЕВРИЛМЭСИНЭ СЭРФ ОЛУНАН ЕНЕРЖИНИН ҮСЕБАЛМАЛЫСЫ

Үсебаламалар көстәрмишdir ки, торпагын жашы арттыгда минерал чеврилмәләрнә күнәш енержисинин сәрфи артыр. Бунула бәрабәр минералларның тәркиб мүхтәлифліги ва ашыма шәрәнтинә баһмараг, мүддәтдән асылы олараг мүхтәлиф торпаг әмәлә кәтираен сүхурларын ашынмасы сүр'етинин үмуми ганунауғынлугу мүәјжән едилмишdir.

D. G. Ponomarev

CALCULATION OF ENERGY USED FOR MINERAL FORMINGS IN ACCORDANCE WITH THE AGE OF THE SOIL

Our calculations show that if the soil is old, it uses more qualitative sun energy for mineral formings. We observe the general regular weathering of the different soil forming types in accordance with time, though there are great differences in mineral content and conditions of weathering.

Б. А. ВЕЛИЕВ

**СДВИГИ ЛЕЙКОЦИТОВ ПЕРИФЕРИЧЕСКОЙ КРОВИ
КАК ПОКАЗАТЕЛЬ КОМПЕНСАТОРНО-ПРИСПОСОБИТЕЛЬНОЙ
РЕАКЦИИ У БОЛЬНЫХ С ОБОСТРЕНИЕМ ХРОНИЧЕСКОГО
САТУРНИЗМА**

(Представлено академиком АН Азербайджанской ССР М. А. Мусаевым)

Обширные литературные данные указывают, что для оценки состояния здоровья широко применяется изучение показателей естественной резистентности, играющей чрезвычайно важное значение в развитии множественных заболеваний. Вместе с тем резистентность организма тесно связана с состоянием лейкоцитарной системы [6], т. е. показателем иммунных реакций вообще, в частности аутоиммунных, обладающих не только защитным эффектом, а также составляющим обязательный компонент нормально текущих обменных процессов, но и причиной ряда заболеваний [1]. Важную роль придают изучению аутоиммунитета при различных повреждениях. Это связано с тем, что образование патологических (повреждающих) аутоантител способно замедлить течение репаративных процессов [7].

Известно, что кровь является подвижной тканью организма, составляющей одну из взаимосвязанных функциональных систем и принимает активное участие в сложнейших процессах, происходящих в организме, в том числе адаптивно-приспособительной функции, так как функции форменных элементов крови, особенно белой крови, дифференцированы, ибо они содержат разные ферменты и биологически активные вещества, нейтрофилы и моноциты осуществляют лейкоцитарный фагоцитоз, а лимфоциты принимают участие в гуморальном иммунитете. Следовательно, изучение состояния лейкоцитарной системы дает информацию о взаимообусловленности нейро-эндокринной системы, если учесть, что с выделением в кровь адреналина быстро увеличивается число лейкоцитов, участвующих в защитных реакциях организма, а последняя тесно связана с функциональным состоянием нервных, гуморальных и гормональных систем.

Учитывая, что значимость формирования адаптации может оказаться различной в зависимости от индивидуальной особенности организма, от характера и интенсивности воздействия, а нарушение адаптационно-приспособительного механизма приводит к болезненным состояниям при профилактикациях [9], мы изучали состояние лейкоцитарной системы у больных до и после лечения, а также в зависимости от тяжести интоксикации.

Под нашим наблюдением находился 141 больной (средняя степень — 71, тяжелая — 70) со свинцовой интоксикацией в период обострения, направленный цеховыми врачами или доставленный каретой скорой помощи на стационарное лечение. Возраст больных составлял от 19 до 56 лет, стаж работы — от 3- месяцев до 23 лет.

По клинической форме: «свинцовая колика» в различной выраженности в сочетании анемии с гепатитом, анемия и гепатит без «свинцовой колики», астено-вегетативный синдром.

Лечение проведено больным комплексными, раствором глюкозы и тиосульфатом натрия, дикаптолом, витамином В₁₂, железом в различных сочетаниях.

Хотя количество лейкоцитов до лечения ($M=7080 \pm 1800$) находилось в пределах нормы, после проводимой терапии их число снизилось ($M=6740 \pm 1380$, $t=2,86$; $P<0,05$). Сдвиги лейкоцитов намного зависели от тяжести интоксикации: у больных с тяжелой степенью средние цифры лейкоцитов составляли до лечения $7590 \pm 300,0$ а после лечения — 6710 ± 2200 ($t=2,12$; $P<0,05$), у больных со средней степенью тяжести — соответственно 7030 ± 2200 и 6760 ± 1100 ($t=1,01$; $P<0,05$).

Также изменилось число отдельных форм лейкоцитов в ходе лечения. После лечения, по сравнению с исходными, наступило увеличение абсолютных чисел эозинофилов, палочкоядерных, лимфоцитов и снижение сегментоядерных, моноцитов. Притом, у тяжелых больных более наглядно снижение сегментоядерных и увеличение лимфоцитов, а у больных со средней степенью тяжести — увеличение эозинофилов, палочкоядерных и снижение моноцитов. Однако эти сдвиги не были достоверны ($P<0,05$). Поэтому для выявления зависимости сдвига лейкоцитов от каких-либо форм изучали коррелятивные связи между ними и отдельными его компонентами в абсолютных числах.

Результаты исследования показали, что до лечения между числом лейкоцитов и эозинофилами ($r=0,152$; $t=1,84$) имеется слабая, моноцитами ($r=0,321$; $t=4,22$), палочкоядерными ($r=0,48$; $t=7,41$) — умеренная, а сегментоядерными ($r=0,86$; $t=39,1$), лимфоцитами ($r=0,794$; $t=25,6$) — высокая связь. После лечения между числом лейкоцитов и эозинофилами связь стала умеренной ($r=0,33$; $t=4,42$), палочкоядерными ($r=0,167$; $t=2,03$), моноцитами ($r=0,269$; $t=3,4$) — слабой, лимфоцитами ($r=0,57$; $t=10,0$) и сегментоядерными ($r=0,82$; $t=29,5$) — осталась высокой.

Полученные результаты дают основание констатировать, что, несмотря на достоверное снижение общего числа лейкоцитов и сегментоядерных в абсолютных числах, после лечения, по сравнению с исходными, коррелятивная связь между указанными элементами как до, так и после лечения оставалась высокой, а между другими элементами связь, которая могла зависеть от дезорганизации лейкоцитарной системы, изменилась. Для подтверждения этого предположения мы изучали «энтропию» лейкоцитов до и после лечения, и оказалось, что после лечения ($M=1,3435 \pm 0,19$), по сравнению до лечения ($M=1,2994 \pm 0,21$), «энтропия» лейкоцитов повышается и это является показателем нарушения упорядоченности лейкоцитарной системы.

Корреляционный анализ по тяжести интоксикации показал также зависимость между лейкоцитами и его отдельными формами в абсолютных числах. Так, у тяжелых больных отсутствующая связь между лейкоцитами и эозинофилами ($r=0,038$; $t=0,32$) до лечения, после лечения

стала умеренной ($r=0,379$; $t=3,4$), наоборот, связь между лейкоцитами и палочкоядерными, моноцитами, оказавшаяся высокой ($r=0,574$; $t=-7,2$; $r=0,015$; $t=5,9$) до лечения, после лечения, для палочкоядерных стала слабой ($r=0,189$; $t=1,63$), а для моноцитов — умеренной ($r=-0,354$; $t=3,4$); корреляционный показатель для лимфоцитов, оказавшийся умеренным ($r=0,375$; $t=3,64$) до лечения, стал после лечения высоким ($r=0,763$; $t=15,3$).

У больных со средней степенью тяжести связь между лейкоцитами и эозинофилами, палочкоядерными до лечения была умеренной ($r=-0,325$; $t=3,1$; $r=0,373$; $t=3,65$), а после лечения стала слабой ($r=0,285$; $t=2,62$; $r=0,22$, $t=1,94$), для моноцитов умеренная связь ($r=0,308$; $t=2,87$) стала слабой ($r=0,192$; $t=1,68$), а для лимфоцитов умеренная связь и для сегментоядерных высокая осталась без перемен.

Приведенные данные свидетельствуют о более тесной корреляционной связи, до лечения между лейкоцитами и эозинофилами у больных со средней степенью интоксикации и между ними и палочкоядерными, моноцитами — у больных с тяжелой степенью; у обеих групп больных связь между лейкоцитами и сегментоядерными была высокая. После лечения у обеих групп больных связь между лейкоцитами и палочкоядерными, моноцитами снизилась. У тяжелых больных нарастала связь между ним и эозинофилами, лимфоцитами наоборот, у больных со средней степенью связь между эозинофилами снизилась, а лимфоцитами — осталась без перемен. Следовательно, для оценки эффективности лечения и тяжести интоксикации изучение коррелятивных связей между лейкоцитами и его компонентами является достаточно информативным.

В развитии патологии, вызываемой свинцом, важную роль играет влияние его на иммунокомпетентную систему, поскольку иммунная реакция является одним из важнейших механизмов защиты организма. Свинец сам по себе не является антигеном, но, однако, денатурируя белки, придает им антигенный характер с последующим появлением аутоантител [3]. Поэтому снижение числа эритроцитов и тромбоцитов, сопровождающееся увеличением абсолютных чисел сегментоядерных и лимфоцитов, более ярко выраженное у тяжелых больных до лечения, дает основание полагать, что при определенной дозировке антигенного раздражителя ответные реакции организма больных претерпевают существенные изменения, в частности, ранее отмечавшаяся лейкопеническая реакция вне обострения свинцовой интоксикации инвертируется и претерпевает более или менее выраженный лейкоцитоз с повышением фагоцитарной активности микро- и макрофагальных клеточных элементов, изменившихся по антигенной структуре [2] и морфологических мембран эритроцитов [5], так как подвижные клетки: лейкоциты, макрофаги, тучные клетки, эритроциты имеют мембранные рецепторы, участвующие в поддержании гомеостаза и распознавании чужеродных белков [8]; а продукты их распада, раздражая костный мозг, приводят к увеличению числа эритроцитов и тромбоцитов после лечения. Установлено, что увеличение числа эритроцитов после лечения у больных с тяжелой степенью, по сравнению с больными со средней степенью тяжести, превышает в 5,0 раз, а число тромбоцитов — в 8,4 раза, снижение сегментоядерных по тому сравнению — в 5,5 раза.

Помимо этого, известно, что эозинофилы являются регуляторами аллергических реакций или клетками защиты при аллергических процессах. Следовательно, увеличение абсолютных чисел эозинофилов у боль-

ных со средней степенью, видимо, предупреждает чрезмерное фагоцитирование эритроцитов лейкоцитами, при переходе на тяжелую степень — снижение их абсолютных чисел способствует развитию этого процесса. Подтверждением этого является увеличение до лечения корреляционной связи между лейкоцитами и патологическими предшественниками макрофагов — моноцитами и нейтрофилами у тяжелых больных.

Кроме того, высокая связь между лейкоцитами и лимфоцитами у больных с тяжелой степенью после лечения, а у больных со средней степенью как до, так и после лечения, видимо, связана с компенсаторно-приспособительной способностью организма больных.

Формирование компенсаторно-адаптивных реакций предполагает наличие в любой системе функциональных резервов, определяющих способность организма формировать адаптивный уровень функционирования системы при действии экстремальных факторов. Постоянство параметров, регулируемых мультивариантной системой, достигается мобилизацией функциональных резервов ее отдельных элементов как суммы механизмов физиологической устойчивости, представляющей в структурно-функциональном отношении филогенетически целесообразное, генетически детерминированное, различное по своей мобильности и емкости единство регуляторных и исполнительных структур, последовательность и скорость включения которых, а также их значимость в формировании адаптации может быть различной.

В промышленной токсикологии [4] под адаптацией понимают истинное приспособление организма к изменившимся условиям окружающей среды без превышения нормальных гомеостатических способностей реагирования, исчезающих полностью после определенного периода воздействия токсических веществ, а под компенсацией, являющейся эквивалентом состояния, вызванного стрессом биологических систем с превышением гомеостатических возможностей организма, приводящих со временем к явным патологическим изменениям, т. е. декомпенсации.

Однако надо полагать, что такой же фазовый характер изменений имеет место при хронической свинцовой интоксикации как фаза адаптации и компенсации, периодически сменяющие друг друга, в качестве компенсаторно-приспособительной реакции организма. Видимо, пусковым механизмом являются изменения в лейкоцитарной системе или стрессы, вызывающие взаимообусловленные нарушения пейрорегуляторных механизмов, предопределяющих начало усиления фагоцитарной активности лейкоцитов для удаления из организма изменившихся по антигенной структуре и морфологически мембранных «вредных» эритроцитов как защитная реакция, ибо адаптация — процесс перехода биосистемы в другое стационарное состояние, характеризуется новым уровнем деятельности функциональных систем организма, включая ряд этапов, среди которых наиболее важным представляется первый, носящий стрессоподобный характер и определяющий протекание остальных мобилизующих функциональных резервов.

Литература

1. Александер Д. Х., Гуд В. А. Иммунология для хирургов. — М., 1974.
2. Афонова В. Н. — Фармакология и токсикология, 1958, 21, 6, с. 64—69.
3. Велиев Б. А. — Здравоохранение Казахстана, 1965, II, с. 30.
4. Измеров Н. Ф., Тимофеевская Л. А. — Здравоохранение Казахстана, 1965, II, с. 30.
5. Измеров Н. Ф., Тимофеевская Л. А. — Здравоохранение Казахстана, 1965, II, с. 30.
6. Кардаш Б. Е., Гигиена труда и профессиональные заболевания, 1981, 2, с. 52—54.
7. Кассирский И. А., Александров И. Я. — Терапевтический архив, 1982, 8 с. 95—97.
8. Клемперская Н. И., Шальников Г. А. Клиническая гематология. — М., 1955.

ва Г. А. — Нормальные аутоантитела как разнозащитные факторы. — М., 1978. 8. Петров Р. В. Контроль и регуляция иммунного ответа. Л., 1981. 9. Трахтенберг И. М. Тычинин В. А. — Гигиена и санитария, 1977, 1, с. 69—72.

Азербайджанский
государственный медицинский институт
им. Н. Нариманова

Поступило 8. V 1983

Б. Э. Велиев

**ХРОНИКИ САТУРНИЗМИН КЭСКИНЛЭШМЭ ДЭВРУ ОЛАН ХЭСТЭЛЭРДЭ
КОМПЕНСАТОР-УЙГУНЛАШМА РЕАКЦИЯСЫ КЭСТЭРИЧИСИ ОЛАРЫГ
ПЕРИФЕРИК ГАНДА ЛЕЙКОСИТЛЭРИН ДЭЖИШИЛМЭСИ**

Мөглэдэг түргүшүүн эзёэрлэнмэсийн кэскинлэшмэ дэврүүдээ 141 хэстэдэ (орта агуулыгы—71, агыр дээрчэли—70) мүаличэдэн эввэл вэ сонра интоксикацијанын агуулыгындан асылы олараг, лейкоситлэрийн умуми мигдарь, ажры-ажры формаларынын мүтлэг сајы вэ онлар арасындаки корреласион элагэ ёрэннилмэшидир. Мүаличэдэн эввэл орта агуулыгы хэстэлэрдэ лейкоситлэрийн созинофиллэр, агыр дээрчли хэстэлэрдэ—лејкоситлэр вэ моноситлэр, чубуг нувэллэл арасында даха сых элагэ тэ'жин едилмэшидир. Ихэр ики групп хэстэлэрдэ лейкоситлэр вэ сегментнувэллэр арасындаки элагэ јүксэл дээрчэли олмуушдур.

Мүаличэдэн сонира бээр ики групп хэстэлэрдэ лейкоситлэрийн чубуг—нувэллэр, моноситлэр арасындаки элагэ азалмыш, агыр хэстэлэрдэ лейкоситлэрийн созинофиллэр, лимфоситлэр арасындаки элагэ јүксэлмэшидир. Эксинэ орта агуулыгда олан хэстэлэрдэ исэ лейкоситлэрийн созинофиллэр арасында элагэ азалмыш, лимфоситлэрийн дэшилмэшидир.

Бу дэжишилмэлүүлэх организмын компенсатор-уйгунлашма габилийтэй мүаличэдэн эфективлийн вэ интоксикацијанын агуулыг дээрчэши илэ элагэлийдир. Лејкоситлэрийн компонентлэри арасында коррелатив элагэний ёрэннилмэсийн лейкоформуланын иисби вэ мүтлэг сајынин ёрэннилмэсийн иисбэтийн даха дэгиг мэлумат верир.

B. A. Veliyev

LEUCOCYTES CHANGES IN PERIPHERAL BLOOD AS A SHOWING OF COMPENSATIVE AND ADAPTIVE ABILITY OF PATIENTS DURING EXACERBATION OF CHRONIC LEAD-INTOXICATION

General amount of leucocytes and their separate components in absolute numbers, as well as correlative connection between them, intoxication degree before and after treatment are investigated in 141 patients (average—71, serious—70) suffering from the lead-intoxication in exacerbation period.

It is determined that there exists closer relation between leucocytes and eosinophiles before treatment in patients of medium degree and between them and segment shaped nuclei monocytes in serious ones.

In both groups of patients connection between leucocytes and segment shaped nuclei monocytes is rather high. After treatment the connection between leucocytes and segment shaped nuclei monocytes goes down in both groups. In the patients in serious condition the connection between them and eosinophiles and lymphocytes grows, and in the patients with average degree the connection between eosinophiles goes down and between lymphocytes it remains without any change.

These changes are compensative and adaptive abilities of the organism, and the study of correlative connections between leucocytes and their components is much more informative for the evaluation of the treatment efficiency and intoxication degree than the leucoformula calculation in relative and absolute figures.

АЗЭРБАЙЖАН ССР ЕЛМЛЭР АКАДЕМИЈАСЫНЫН МЭРҮЗЭЛЭРИ

ДОКЛАДЫ АКАДЕМИИ НАУК АЗЕРБАЙДЖАНСКОЙ ССР

ТОМ XLII ЧИЛД

№ 5

1986

УДК 91.014)

ТОПОНИМИЈА

С. М. РЗАЈЕВ

**ШИРВАН ДҮЗҮНҮН БЭЗИ ТОПОНИМЛЭРИНИН МЭНШЭЈИНЭ
ДАИР**

(Азэрбајҹан ССР ЕА академики М. Ш. Ширәлијев тэгдим етшишдир.)

Ширван дүзүндэ (Afçy, Курдэмир, Учар вэ Кејчај рајонлары) мөвчүд олан топонимлэрийн эксеријјэтини мэнишэji идијэдэк айдынлашдырылмамышдыр. Онларын бэзилэри нағгында дэври мэтбуатда вэ елми өдэбијјатда ирэли сүрүлмүш мұланиязэлэри гәнаэтбэхш несаб етмэк чётинидир. Бу мөглэдэ һәмин топонимлэрин бир группун мэншэji верилмешдир.

Бығыр (Кејчај р-ну). Кәндиин јашлы адамларынын дедијинэ көрэ. Бығыр кәндиин адь куја кечмишдэ орада јашајанларын дэвэчиликлэ мәшгүл олмасы вэ өн чох бығыр дэвэ чинсини сахламасы илэ элагэлэндирилир. Шубнәсиз ки, бу, халг етимолокијасыдыр. Лакин дикэр рэвајэтэ эсасэн бу кәнд өз адьны харабалыглары Шамахы рајонунун эразисинде — Шамахы шәһеринин шимал-шәргинде идијэ гәдэр галмагда олан Буғурд галасынын адьындан алмашдыр. Ашағыда көрүнүүдүү кими, бу рэвајэт һәгигэтэ даха уйғундур. Буғурт галасы Ширванын орта эср мудафиә типли галаларындан бирин олмушдур [6]. Илк дэфэ бу галанын адь XIII эср мүәллифи Зәкәријә Гәзвини тәрәфиндэн чәкилмешдир [2]. Даха сонра галанын адьы Буғурт формасында 1500-чү ил надисэлэри илэ элагэдар олараг гејд едиллир. [7]. Гејд етмэк лазымдыр кими, галанын эсил гәдим адьы Бығыр олмуш, онун адьна «д» сәси, көрүнүү, данышыгда элавэ едилмешдир. Бир мэлумата көрэ галанын адь бығыр адлы дөйүшкөн тајфын бу эразидэ мәскүнлашмасы илэ бағлыдыр [6]. Бизчэ, бу дэгиг дөйлдир. Эслиндэ Бығыр кәнд өз адьны һәмин галанын адьындан алмашдыр. Буғурт (вэ ja Буғурт) галасынын адьы һ. Чиддијэ көрэ түрк дилләриндэ гартал мәнасыны верэн беркут сөзүндәндир [6,61].

Эслиндэ исэ Буғурт галасынын адь түрк дилләриндэки буғур, букур «әјри даф јамачы», «гөзбел, донгар» сөзүндәндир [3, 287]. Бу си фэтлэр дағын зәнири формасыны экс етдирир вэ гала да адьны дағдан алмашдыр. Ихэм дэгэдэ олунмалыдыр ки, галанын јерлэшиди даф да ярлы әнали ичәрисинде Буғур даф адланыр. Тарихи мэлумата көрэ гала Иран шаһы Шаһ I Тәһмасиб тәрәфиндэн 1537-чи илдэ дағыдымышдыр. Мәнбэдэ дејилир: «Гала сакинләри Гызылбашларын гарышында мәрдана дајаныб вурушурдулар. Бу заман I Тәһмасиб бөјүк орду илэ Буғурт галасынын јанына қәлир. О, галаны топ атәшинэ тутур» [7,133].

Беләликлэ, гала сүгүт етдирил сонира әналиси индикаторы кәндиин јеринэ көчүб кәлэрэк мәскүнлашмаш, јени јашајыш мәскәнини исэ Буғурт галасынын адь илэ адландырышлар.

УЧАР. Индијэ гәдәр мәншәји ајдыналашдырылмамыш Учар топоними һаггында мұхтәлиф фикирләр мөвчуддур. Р. Йүзбашова көрә Учар топоними учар тајфасының адындаидыр. [4,51]. Н. Нәбијев исә бу топонимин Азәрбајҹан дилиндәки учар сөзүндән (учмаг фе'линдән) әмәлә кәлдијини јазыр. Нәһајет, бир мұлаһизәј көрә Учар топоними түрк дилләриндәки уч—сәрһәд, гошун дәстәси вә јер сөзләриндән јаранмышдыры.

Бу мұлаһизәләр Учар топониминин мәншәји һаггында ајдын тәсәввүр жаратмыр. Эслиндә исә түрк дилләриндә учар «базар», «алыш-вериш јери» демәкдир [1, 116]. Гочаларын шифаһи мә'лumatына көрә, һәгигәтән дә Учарда кечмишә малдар тајфаларын алвер јери, базары мөвчуд олмушшур, чүники Ширван вә Гарабағ дүзләриндә гышлајан малдар елләри бә'зиләри бурада мал-гара сатырдылар. Сонralар орада јашајыш мәнтәгәси јаранмышдыры.

Күрдәмир рајонундакы Учарлы кәндinin ады исә кәтирилмә аддыры, башга сөзлә, Учардан чыхмыш айләләрин индике јердә мәскүнлашмалары иәтичәсиндә јаранмышдыры.

Мырты, Муртулу. Бу кәндләр Ағсу вә Көјчај рајонларында јерләширләр. Ингилабдан әvvәлки әдәбијатда бу кәндләрин адлары Мурту кими гејд олунмушшур. [8,20]. Бу да мә'лумдур ки, Ағсу рајонундакы Мырты кәndи Көјчај рајонундакы Мырты кәндидән јаранмышдыры [8,21]. Күрдәмир рајонундакы Муртулу кәндinin ады да мәһз Мырты кәндләринин ады илә ejni мәншәлидир, јалныз башга фонетик шәклини.

Тәдигатлар кәстәрир ки, Мырты вә ja Муртулу Азәрбајҹанда јашамыш бир елини аддыры. Гарабағда кечән әсрдә бир малдар ел Муртулу адланмышдыры [8, 29]. Мәншә е'тибарилә Мурту (вә ja Муртулу) шаһсевәнләrin тәклә голуна мәнсуб тајфанын аддыры. Тәклә исә И. П. Петрушевскије көрә 1540-чы илдә Түркијәдән Ирана кәлмиш вә шансевәнләре гошулуыш, Шаһ I Тәһмасиб исә онлары индике Сәлjan зонасына көчурмушшур [5]. Беләликлә, Мурту вә Муртулу кәндләри дә мәһз һәмин тајfanын мәскүнлашмасы иәтичәсиндә јаранмышдыры.

ЧӘРӘЧӘ. Көјчај рајонунда јерләшән бу кәнд бир мә'лumatata көрә Надир шаһын (XVIII әсерин орталары) Һиндистана һәрби сәфәри замајәтиндән кечүрууб кәтириди айләләрин мәскүнлашмасы иәтичәсиндә јаранмышдыры [9,344].

Чәјли (Күрдәмир рајону). Губа рајонунда Чәк кәndi мөвчуддур. Лакин һәмин кәндinin әналиси Гафгаз дилләриндә, Чәјли кәндinin әналиси исә азәрбајҹанча данышыр вә һәм дә онларын Араз кәнарындан, ораја исә Чәнуби Азәрбајҹандан кәлмәләри һаггында халг ичәрисинде рәвајәт вардыр. Мә'лумдур ки, XVI әсрдә Шәрги Анадолуда түрк тајфаларындан бири Боз-Улус, онун бир голу исә Чәк адланмышдыры [5]. Азәрбајҹандакы Чәјли кәndi дә мәһз һәмин тајфаја мәнсуб айләләрин мәскүнлашмасы иәтичәсиндә јаранмышдыры.

Корус. Ағсу рајонунда јерләшән бу кәнд XVIII әсрдә Ширванда мөвчуд олмуш Көрус маһалының адьны әкс етдирир. Мәнбәләрдән айдын олур ки, Корус күрд дилли тајфадыр [5]. Гејд едилмәлидир ки, Корус адлы кәндләр кечмишә Чавад гәзасында вә Күрчустанда Борчалы гәзасында да вар иди. Корус тајфасының Ширван дүзүндә мәскүнлашмасы онун гызылбаш тајфаларының тәркибинә дахил олмасы илә әлагәдардыры.

Гашад (Ағсу рајону). Бу кәндinin ады түрк дилләриндәки гажат— «дағ бели», «јүксәк»лик, «чәнуба догру ачылыш дағ» сөзүнүн дәјишилмиш фонетик шәклини. Һәигигәтән дә, Гашад кәndi Ағсу рајонунун дағлыг әразисинде јерләшир.

Өјләгуу (Күрдәмир рајону). Эслиндә бу кәндinin ады Өвлијјә—Гулу олмуш, сонralар тәһрифә мә'рүз галараг индике шәклә дүшмүшшур. Кәндinin әразисинде Гулу пири адлы кечмишә мүгәддәс һесаб едилмиш пири вардыр. Әнали пири «өвлијјә» дедијинә көрә «Пир Гулу» да «Өвлијјә Гулу» формасыны кәсб етмиш, орада јаранмыш кәнд дә пири ады илә адланимышдыры.

Голгәти (Ағдаш р-ну). Һазырда бу кәнд Juxary Ширван каналынын саһилинде јерләшир. Лакин вахтилә кәнд Түрjanчајын бир голунун кәнарында олмуш, һәмин гол гурудуғуна көрә (сувармада истифадә олундуғу үчүн) әнали ораны тәрк етмиш вә индике јера көчмүшшур. Һазырда һәмин голун жатағы галмагдадыр. Кәндinin ады исә кечмишә Гол-кәнти (Гол-кәndi) олмуш, тәләффүзә Голкәти (вә Голгәти) шәклини салыныш вә белә дә галмышдыры.

Жүхарыда дејиләниләрдән көрүнүр ки, Ширван дүзүндәки топонимләrin јаранмасы мұхтәлиф тарихи национальләрә әлагәдардыры. Онларын өјрәнилмәси исә бу саһә илә мәшғул олан алимләримиз үчүн гијмәти мәнбәдир.

Әдәбијјат

1. *Будагов Л. З. Словарь турецко-татарских наречий*, т. II.—СПб., 1870.
2. *Закариша ал Қазвини. Памятники стран и известия о людях; Дж. З. Буниятов. Материалы из сочинений Закариша ал-Казвини об Азербайджане*.—Изв. АН АзССР, серия истории, философии и права, 1976, № 3.
3. *Мурзаев Э. М. Очерки топонимики*.—М., 1974.
4. *Йүзбашов Р. Мұллымин топонимик лүгәти*.—Бакы: Тарих, ичтимаијјэт, чографија тадриж, 1969, № 6.
5. *Петрушинский И. П. Очерки по истории феодальных отложений в Азербайджане и Армении в XVI—на. XIX вв.*—Л., 1949.
6. *Һүсейн Чидди*. Буғарт галасы һаггында тарихи археологи мә'лumat.—АЗЭРБ. ССР ЕА хәбәрләри.
7. *Әфендиев О. Образование азербайджанского государства Сефевидов в нач. XVI в.*—Баку, 1961.
8. *Зейдлиц Н. Списки населенных мест Российской империи. Бакинская губерния*.—Тифлис, 1870.
9. *История Азербайджана*, т. I.—Баку, 1958.
10. *Радлов В. В. Опыт словаря тюркских наречий*, т. II.—СПб., 1893.

БИЛДІРЛЕННІ ҰЛПАРДОЛЫ

Алымнышдыры 25. XII. 1985

6. М. Рзаев

К ПРОИСХОЖДЕНИЮ НЕКОТОРЫХ ТОПОНИМОВ ШИРВАНСКОЙ НИЗМЕННОСТИ

Статья посвящена происхождению топонимов Быгыр, Уджар, Мырты, Чараджа, Джейли, Герус и Ойлагулу в Азербайджане. Выяснено, что топонимы Быгыр и Гашад восходят к древнетюркскому букур игажат, а остальные отражают этнонимы герус, мырты и джек.

S. M. Rzaev

ABOUT THE ORIGIN OF SOME TOPOONYMS OF SHIRVAN LOWLAND DEPRESSION

The article is devoted to the origin of such Azerbaljan toponyms as Bigir, Udjär, Mrti, Charadja, Jejly, Gerus, Ollaglu. It is shown that the toponyms Bigir, Gashad, come from Turkish toponyms Gadjal, Bukhur and others reflect ethnonyms Cherus, Mrti and Djek.

М. М. АЛИЕВ

**ПОСЛАНИЕ ИМПЕРАТОРА АЛЕКСАНДРА I
ШИХАЛИ БЕКУ НАХИЧЕВАНСКОМУ**

(Представлено академиком АН Азербайджанской ССР А. С. Сумбатзаде)

Среди многочисленных документов Архива внешней политики России имеется весьма любопытный документ, оставшийся до сих пор вне поля зрения исследователей, — это послание императора Александра I сыну Нахичеванского Келбали хана Шихали беку.

Что побудило императора столь великой державы направить послание малоизвестному Шихали беку?

В разгар первой русско-иранской войны, временно захватившей Нахичеванское ханство, иранское командование, подозревало Келбали хана Нахичеванского в «преданности России», арестовало его и отоспало вглубь Ирана «со всем его семейством» [1, л. 1]. Лишь одному из сыновей хана — Шихали беку удалось со своими людьми удалиться в соседнее Карабахское ханство, вошедшее в состав Русского государства еще в 1805 г.

Явившись к русским властям, Шихали бек просил «покровительства Всероссийской империи» [1, л. 1].

Командующий русскими войсками в Карабаге полковник Асеев с почестями принял Шихали бека, давшего присягу «на вечную верность подданства Его императорскому величеству» [1, л. 1]. Русское командование поручило Мехти Кули хану Карабахскому отвести Шихали беку «селение под жительство» и оказать помощь [1, л. 1].

Русское командование в знак доверия Шихали беку включило его в коннице в состав отряда Небольсина, отвоевавшего Нахичевань у иранцев. В этом бою войны Шихали бека отличались особой доблестью.

Наблюдавший за действиями Шихали бека, командующий русскими войсками в Закавказье генерал-фельдмаршал И. В. Гудович в своем письме графу А. Н. Салтыкову от 14 февраля 1809 г., после занятия русскими войсками Нахичевани, писал: «Сей же самый Ших-Али бек, в прошедшем Персидскую кампанию служил отряду генерал-майора Небольсина верным проводником до Нахичевана и при поражении войск храбро дрался против персиян и показал отличные опыты своей верноранием его и влиянием, какие он имеет на народ Нахичеванской войны доставляем был со всею экспедициею Генерал майора Небольсина провиант и все потребности, причем так же Ших-Али бек при случив-

шихся несколько раз тревогах от персидских войск тотчас собрал и давал свою конницу. Затем при возвращении сего отряда в Карабаге он оказал всю возможную помощь и искреннюю верность к всероссийской державе» [1, л. 1]. Далее в письме говорится: «...отдавая должную справедливость сим его подвигам, я покорнейший прошу ваше сиятельство в вящее его поощрение исходатайствовать ему от щедрости Его императорского величества высочайшее награждение полковничим чином» [1, л. 1]. Граф А. Н. Салтыков, придавая этому письму важное значение, не замедлил доложить о нем императору Александру I.

Уже 5 апреля 1809 г. последовало послание императора на имя Шихали бека следующего содержания: «Божнею милостью Мы Александр Первый император и самодержавец Всероссийский и прочая и прочая и прочая.

Нашему полковнику Шейх-Али беку.

Оказанные опыты усердия и верность вашей к нашему Императорскому престолу, обратили на себя наше всемилостивейшее внимание, во изъявление чего и в знак особенного нашего высокомонаршего благополучия, жалуем Вас в чин российского полковника, с произведением по сему чину жалования сереброю монетою у Наших государственных доходах, пребывая в твердой надежде, что сия наша милость послужит к вящему поощрению вашего верноподданнического усердия к Нашей службе в прочем пребыванием к вам благосклонны.

Дан в Санктпетербурге, апреля 5 дня 1809 год.

(Александр) [1, л. 3]

В дальнейшем брат Шихали бека Эхсан хан также был принят на службу в русскую армию в чине полковника.

Правительство Фатали шаха не могло остаться равнодушным к переходу способного военачальника Шихали бека Нахичеванского на сторону русских. В архивном документе по этому поводу говорится: «...персияне, зная отличные его (Шихалибека. — М. А.) дарования, храбрость и к нему всего нахичеванского народа, не могли равнодушно смотреть на оказанное ему Россиею покровительство, считая его для себя небезопасным и по этому персидское правительство употребляло все возможные обольщения, чтобы переманить его к себе, начав, во-первых, самого секретного персылкою к нему с большими уверениями от персидского двора» [1, л. 4]. Однако ухищрения иранских властей не дали результатов. Тогда шахское правительство прибегло к новым уловкам. Оно пообещало возвращение «...вольности о почестей отцу его Келбалай хану, содержащемуся внутри Персии за его приверженность к России» [1, л. 4]. Однако и это обещание не дало результата. Тогда иранские власти заставили его отца, слепого Келбали хана, написать письмо Шихали беку с требованием, чтобы тот перешел на иранскую сторону. Отказ сына означал бы гибель отца. Шихали бек вынужден был уйти в Иран, где был вероломно схвачен и заключен в тюрьму.

Однако это продолжалось недолго. Воспользовавшись поражением шахского Ирана в первой русско-иранской войне (1804—1813 гг.) Шихали бек вновь перешел Аракс и явился к русскому командованию, которое, учитывая его преданность и прежние заслуги, не отказалось ему в просьбе о принятии в состав русской армии. Во время второй русско-иранской войны (1826—1828 гг.) Шихали бек был назначен управляющим Ордубада, отобранным у иранского командования. В книге, изданной спустя год после войны, в 1829 г., о нем написано: «Шихали бек, назначенный управляющим в Урдабадском округе, который, давно как

и брат его Эхсан хан, командир Нахичеванского полку, совершенно нам преданы» [2].

Переход ханских сыновей в русское подданство в период первой русско-иранской войны свидетельствует об усилении русской ориентации в Азербайджане и среди феодальной знати.

Послание же императора Александра I Шихали беку показывает, что царизм, щедро раздавая высокие чины, поощрял переход «мусульманской» знати на русскую сторону, в чем особенно был заинтересован во время войн с Ираном.

Литература

1. АВПР.— Главный архив 1—10, д. 1, 1809, ср. АКАК, т. III, ч. 1, д. 476, с. 267.
2. Подробное описание Персии... и персидских провинций, присоединенных в России... — М., 1829, с. 73.

Киргизский государственный педагогический институт им. Зардаби

Поступило 7. IX 1985

М. М. Элиев

ИМПЕРАТОР I АЛЕКСАНДРЫН НАХЧЫВАНЛЫ ШЫХЭЛИБӘЈӘ МӘКТУБУ

Мәгаләдә көстәрилүп ки, I рус—Иран мұнасибәси заманы нахчыванлы Шыхэлибәјә өз сүвари дастаны илә рус гошууларының тәркибинде Иран тәчавузкарларының рәшадәтлә вурушмуш вә гәһрәмәнлыг көстәрмишdir. Бу мұнасибәттә император I Александр Шыхэлибәјә мәктуб көндәрмиш вә онун рус ордусунун полковники рүтбәсі илә тәлтиф олуандуғуну билдиришdir.

М. М. Aliev

MESSAGE OF THE EMPEROR ALEXANDER I TO SHIHALY-BEK NAHCHIVANSKY

The article tells, how during the first Russian-Iranian war Shihaly-bek Nahchivan-sky with his cavalry struggled against Iran aggressors together with the Russian army. In this connection emperor Alexander I sent a letter to Shihaly-bek, where he congratulated Shihaly-bek with the rank of colonel awarded to him.

АЗӘРБАЙЧЫЛ ССР ЕЛМЛӘР АКАДЕМИЯСЫНЫН МӘРҮЗӘЛӘРИ

ДОКЛАДЫ АКАДЕМИИ НАУК АЗЕРБАЙДЖАНСКОЙ ССР

ТОМ XIIII ЧИЛД

№ 5

1986

УДК. 930.26.665.5/479.24

АРХЕОЛОГИЯ

Г. Х. РАМАЗНОВ

ПОЗДНЕСРЕДНЕВЕКОВОЕ ФАЯНСОВОЕ БЛЮДО

(Представлено академиком АН Азербайджанской ССР З. М. Буниятовым)

В одном из верхних слоев IV участка г. Кабалы во время археологических раскопок обнаружены обломки полихромного фаянсового блюда, датируемого XIV—XV вв. Найденное блюдо состояло из 36 фрагментов. Его удалось реставрировать почти полностью. Фрагменты лежали в радиусе 0,5 м. Это объясняется тем, что посуда, пришедшая в негодность



в результате длительного использования или в силу каких-то других причин, выбрасывалась в вышедшую из строя хозяйственную яму. Диаметр блюда — 34 см при высоте 8,5 см; толщина стекла — 0,7 см. Оно тарелочкой формы, с округлыми плоскими боками; постепенно переходящими от дна к борту; на невысокой дискообразной кольцевидной нож-

ке. Черепок светлый, среднепористый, мелкозернистый и твердый. По шкале Мооса твердость излома его меньше 7 минерала шкалы кварца. Глазурь — прозрачная, равномерная, ближе к краю сильно утоньшается и имеет очень тонкий кракелюр. Через глазурь просматривается растекание синей краски и детали росписи на ангобе. Как это установлено на других образцах, окиси кобальта и цинка, содержащиеся в подглазурной краске, подвергаются действию паров хлора, отчего часть металлических окисей испаряется [1]. Это вызывает растекание краски и ощущается слегка зеленый цвет. Блюдо, за исключением ножки, покрыто светлым ангобом, толщиной 0,2 мм. Внутри его на дне видны следы от подставки из необожженной глины в виде трехножки, диаметром 7 см, разъединяющей во время обжига один предмет от другого. В местах касания подставки поверхность глазурованного предмета сорвана при его удалении. Все блюдо расписано элементами группы железа, окисью кобальта, синей тугоплавкой краской, от руки нанесенным росписным орнаментом. Ни налетов, ни оттенков штампов нет. На дне блюда, в центре композиции, изображены ботанические мотивы, различные виды растений, что характерно для кабалинского магала. Особенно выделяется монохромный цветок лотоса*, с сохранением белого цвета ангоба. Создается впечатление, что лотос словно вырастает из какого-то фантастического растения гребешковидной формы. На сосудах, найденных в Азербайджане, часто встречаются росписи в виде многолепестковых, пышно распустившихся лотосов [2]. Азербайджанские блюда с позднесредневековья покрывали сплошным растительным декором [3]. Н. В. Минкевич-Мустафаева отмечала, что почти на всей их внутренней поверхности растительные мотивы были значительными [4]. В рисунках орнаментации преобладают сложнопрорисованные растительные мотивы [5]. В позднесредневековом Азербайджане, особенно в Кабале, преимущественное распространение приобретают растительные мотивы коврового стиля. Политра красок не производит впечатления пестроты и беспокойства. Декоративность росписи сочетается с изумительно тонкой прорисовкой деталей. Свободное пространство занято двумя цветами и тремя эллипсовидными кругами с двусторонними лентающими лентами, придающими орнаменту легкость, создают впечатление парения в воздухе. Круги разделены на четыре части, с внешней стороны окружены синими каплевидными точками в виде розеток. Чтобы усилить красоту рисунка, мастер чередовал капли разного объема. Множество простых красноглиняных глазурованных поливных керамических изделий, найденных в старой Гяндже, Оренкале, Шемахе, Кубе, Баку, Дивичах, Нахичевани и Кабале, по своей форме, смкости и диаметру сходятся с исследуемым фаянсовым сосудом. С целью определения минералогического и химического составов древних керамических изделий и глазурей были проведены рентгенофазовый, дифференциальный и спектральный анализ отобранных фрагментов данного блюда*. Анализы показали, что глазурь, черепок и роспись блюда по своему химическому составу принадлежат к группе щелочных элементов — натриево-кальциево-кремнеземных ($Na_2O-CaO-SiO_2$) соединений. Для производства глазурей и теста применялись высококачественные кварцевые минералы, залежи которых имеются на Карабулах-

* Растение, изображенное на блюде, определено Г. Ахундовым.

* Приношу искреннюю благодарность сотруднику Института геологии АН АзССР Г. С. Теймурову за оказанную мне помощь.

ском, Карамурдском, Чардахлинском, Готульском, Бала-Кюльфинском и Кызылджинском месторождениях Азербайджана. Для производства высокохудожественного фаянса необходимы четыре фактора: богатые залежи высококремнеземных глин, рудные месторождения (каолин, кварц, полевой шпат), топливные ресурсы и широкий круг профессиональных художников-ремесленников. Принимая во внимание, что на территории Азербайджана имелись все указанные слагаемые, следует, очевидно, сделать вывод о том, что средневековые города Азербайджана, в том числе и Кабала, имели полную возможность производить фаянсовые изделия, несмотря на то, что особых специализированных мастерских по производству фаянса пока не обнаружено. Это позволяет предположить, что фаянс и поливная керамика изготавливались в одних и тех же ремесленных мастерских [6], обжигались в одних и тех же обжигательных печах посредством изменения термического режима, тем самым сохранили температуру печи с минимальными потерями, экономили топливный запас. С технологической точки зрения вполне допустим их обжиг в одной и той же печи [7]. Найденное фаянсовое блюдо является, несомненно, важным историческим источником, служащим одним из показателей развития быта и производительных сил, показателем того, насколько далеко ушел вперед процесс отделения городского ремесла от сельского кустарного производства [8]. Оно дает новейший материал для исследования культурного облика города и технологического процесса ремесленно-керамического производства, отражает черты нравов, обычая и искусства в средневековом городе. Кроме того, с помощью датированного фаянсового блюда можно безошибочно определить датировку аналогичных недатированных находок из разных мест Азербайджана, хранящихся в музеях фондах.

Литература

1. Салтыков А. Б. Избранные труды. — М., 1962, с. 363.
2. Аскерова Н. С. Архитектурный орнамент Азербайджана. — Баку, 1961, с. 17.
3. Якобсон А. Л. Керамика и керамическое производство средневековой Таврики. — Л., 1979, с. 126.
4. Минкевич-Мустафаева Н. В. — Изв. АН АзССР, серия история философия и право, № 1, 1978, № 1, с. 32.
5. Брестанецкий Л. С. — Докл. АН АзССР, т. 2, 1946, № 1, с. 64.
6. Жамкочян А. С. Доклад II Международного симпозиума по армянскому искусству. — Ереван, 1978, с. 7.
7. Мамашвили Н. Ф. Производство и потребление фаянса в средневековой Грузии. Автореф. канд. дисс.. — Тбилиси, 1970, с. 13.
8. Ахмедов Г. М. Неполивная керамика Оренкалы IX—XIII вв. Материалы и исследования по археологии СССР. — М., 1959, № 67, с. 186.

Сектор археологии и этнографии
АН АзССР

Поступило 4. V 1983

И. Х. Рамазанов

СОН ОРТА ЭСР ФАЙАНС НИМЧЭСИ

Мәгәләдә көстәрилүү ки, 1981-чи илдә Гәбәлә шәһәринин гала һиссесинде апарыланы археологи газынтылар заманы чохлу фаянс мә'мұлатлары тапталыштыр. Габулардан XIV—XV əсрләрә әнд олар бир фаянс нимчеси диггәти чох чәлб өдүр. Габын диаметри 34 см, үңидүрүү 8,5 см ва диварын галынлыгы 0,7 см-дир. Нимчә нәчм, форма ва диаметрина көрә Кәңчә, Өрәнгала, Шамахы, Губа, Бакы, Дәвәчі, Нахчыван ва Гәбәләдә тапталып сахы мә'мұлатларла еңијүүт тәшкил өдүр.

Төркибинин асасыны тәшкил өдөн кварс ва дикәр одадавамлы күл нөвләрине Азәрбајҹанын бүтүн әразисинде раст кәлмәк мүмкүндүр. Зөјлик, Гарамурад, Чар-

дахлы, Гарабулаг, Готул, Балакүлфү, Дашкәсән вә башга зоналарда бу минераллардан избарат хаммал сүтијатлары даһа чохдур. Мәгәләдә јерли фајанс истенесалыны мүмкүнлүјүнү реаллашдыран дикәр амилләр гыса характеристикаә едилир.

Нимчәдәки декоратив тәсвирләр эсасән нәбати мотивләрдән избарат олуб Гәбәлә маһалы учун чох характеристикдир. Мәгәләдә нахышлар вә онуи бә'зи јерли хүсусијәтләрең дә анализ едилир.

G. H. Ramazanov

EARTHENWARE PLATE OF THE LATE MIDDLE AGES

The article is devoted to the study of one of the most ill-researched field of handicraft production in Azerbaijan of the late Middle Ages, that is to the study of manufacturing of glazed earthenware. Both chemical and technology analyses are given. Deposits of kaolin as well as those of feldspar and quartz, employed as sources of principal raw materials for its manufacture, are also indicated. Considerable attention is given to technique of vessel decoration. Premises, favouring the local manufacture of earthenware of high-quality, dated approximately from the beginning of the XVth century, are enumerated in the article.

АЗЭРБАЙЧАН ССР ЕЛМЛӘР АКАДЕМИЯСЫНЫН МӘРҮЗӘЛӘРИ

ДОКЛАДЫ АКАДЕМИИ НАУК АЗЕРБАЙДЖАНСКОЙ ССР

ТОМ XLII ЧИЛД

№ 5

1986

УДК 920.6/2a

АРХЕОЛОГИЯ

М. И. АЛЕКПЕРОВА

ОБ ОДНОЙ ГРУППЕ ДРЕВНИХ ОЧАЖНЫХ ПОДСТАВОК ИЗ ТЕРРИТОРИИ НАХИЧЕВАНСКОЙ АССР

(Представлено академиком АН Азербайджанской ССР З. М. Буниятовым)

В результате археологических раскопок, проводимых на многослойных поселениях Кюльтепе I и Кюльтепе II (Нахичевань), выявлены интересные образцы так называемых передвижных глиняных очажных подставок. Добыты они непосредственно из культурных напластований раннебронзовой эпохи. Данные предметы, представленные в различных формах, являются наиболее характерными атрибутами раннебронзовой культуры, именующейся в археологической литературе куро-аракской. Наше сообщение посвящено одной из широкораспространенных форм этих своеобразных изделий — подковообразным очажным подставкам. Это не случайно, ибо они в настоящее время имеют современные этнографические параллели как из Нахичевани, так и из других зон Азербайджана.

Первый образец древней подковообразной очажной подставки на территории Нахичевани еще в 30-е годы был найден А. К. Алекперовым в памятнике Шортепе, вблизи с. Ибадуллы [1]. Впоследствии большое число таких же очажных подставок О. А. Абубуллаевым выявлено из куро-аракского раннебронзового слоя Кюльтепе I [2]. Они состоят из круглого в сечении валика с плоской нижней стороной. В каждом конце и в середине их имеются выступы. Концевые выступы, как правило, выражены в форме человеческой ступени, а средний имеет прямоугольную форму, под которой с наружной стороны расположена полушаровидная ручка. У некоторых подставок с внутренней стороны крайних выступов имеются маленькие шиншики в виде нальцев ног. Поверхность описанных подставок со всех сторон тщательно склажена и содержит следы копоти. Размеры их различны: диаметры с внешней стороны от 21 — 25,2 до 60 — 61 см, высота с выступами = 9,6 — 17,5 см. Все они изготовлены из глины, в примеси которой имеется крупнозернистый песок. Вследствие обжига они преимущественно красного или красно-серого цветов. Сложной формой и технологией изготовления характеризуются находки многослойного поселения Кюльтепе II [3]. Состоят они из отдельных небольших фрагментов, ввиду этого трудно определить их общие размеры.

Фрагменты подковообразной очажной подставки нам известны также из Западной части Азербайджана. Найден он, в частности, в урочище Баба-Дервиш, на втором холме раннебронзового поселения [4].

По сведению Г. С. Исмайлова, подковообразными очажными подставками сопровождаются почти все раннеземледельческие поселения IV—III тыс. до н. э. в междуречье Гуручай и Кенделенчай на юго-восточных склонах Малого Кавказа [5]. Особено много их выявлено в поселениях Гаракепектепе, Гюнештепе, Майнетепе, Узунтепе и др. Здесь же следует отметить, что крайние выступы одной из очажных подставок указанной зоны оформлены в виде человеческой головы.

Подковообразные очажные подставки широко распространены и в памятниках куро-аракской раннебронзовой культуры Армении и Грузии. Образцы на территории Армении выделяются в первую очередь большим разнообразием форм и богатыми изображениями. Часть их украшена рельефным изображением человека [6]. Различные изображения встречены и на имеющихся подковообразных подставках в Грузии. В этом отношении интерес представляет одна подставка из памятника Амиранис-гора. На ней имеется скульптурное изображение мужского лица с большим носом. Глаза и рот данного изображения переданы в виде круглых отверстий. В этом же памятнике найдена подковообразная очажная подставка в форме сидящего как бы над очагом мужчины [7].

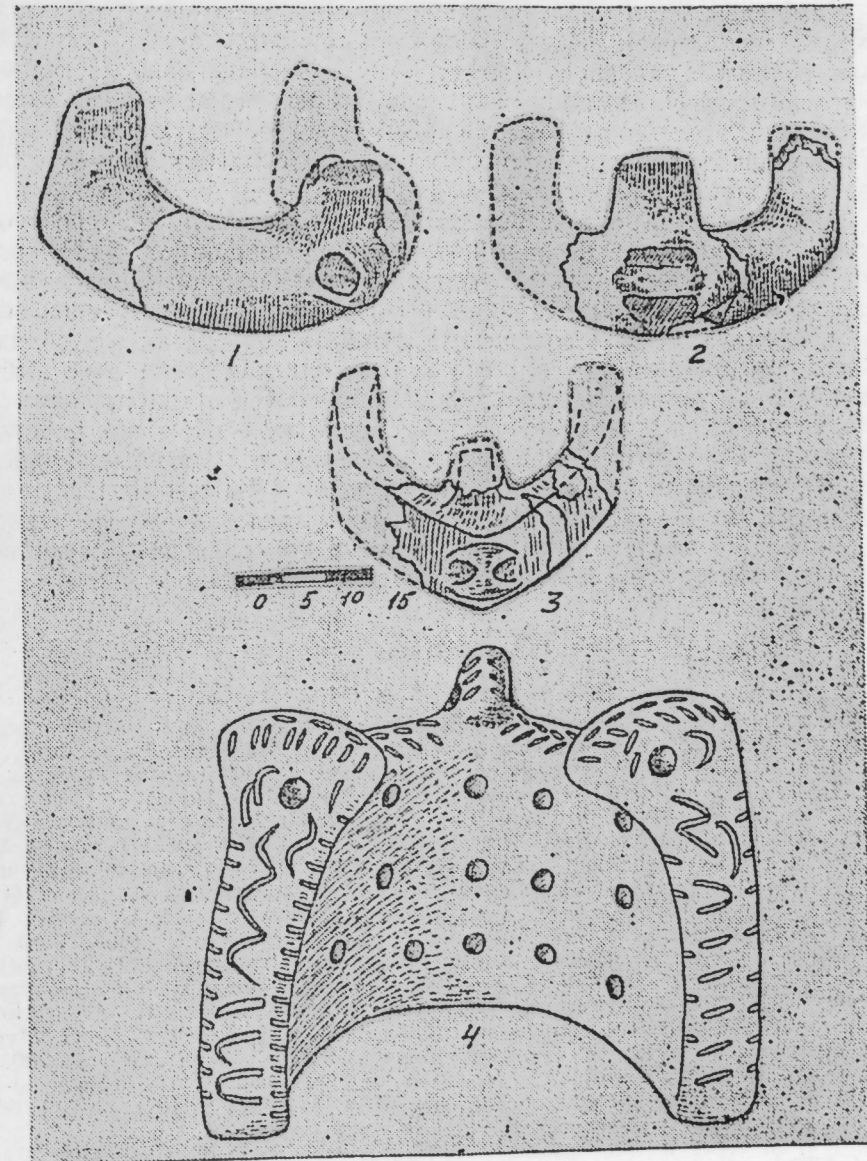
Не менее интересные глиняные очажные подставки подковообразной формы выявлены и в Восточной Анатолии — в Каразе [8]. По данным Б. А. Куфтина, подставка подковообразной формы имеется и среди материалов Алишарского холма [9]. Наиболее отдаленная территория, в которой найдена аналогичной формы очажная подставка — Северная Сирия [10]. Заслуживает внимания то обстоятельство, что на этой очажной подставке все три выступа украшены человеческими изображениями.

Как видно, ареал глиняных очажных подставок, характерных для куро-аракской раннебронзовой культуры, довольно широкий. Р. М. Мунчаев не исключает, что такие же подставки были и в памятниках Северо-Восточного Кавказа [11].

Несомненно, что основная часть упомянутых подковообразных подставок являлась повседневным бытовым предметом и использовалась в качестве необходимого приспособления для домашнего очага. Присущая им мобильная особенность позволяла в необходимых условиях перемещать их с одного места на другое. Наряду с этим, весьма приемлемым является и предположение отдельных исследователей о том, что подковообразные очажковые подставки с различными изображениями были непосредственно связаны с культовыми представлениями носителей куро-аракской культуры и использовались во время определенных религиозных ритуалов. Нам кажется, что вполне соответствуют истине высказывания о том, что такие подставки могли служить в качестве хранилища, или же домашнего алтаря для «священного огня», почитаемого оседлоземледельческими племенами территории Азербайджана [12]. Не случайно, также, что в отдельных районах указанной территории и в настоящее время не только изготавливаются, но и почитаются очажные подставки аналогичной формы, что не отмечено в других зонах Закавказья, входящих в регион распространения куро-аракской раннебронзовой культуры. Примечательно, что и ныне изготавляемые подставки во многих случаях украшаются различными знаками и символами. Особый интерес в этом отношении представляет именно Нахичеванский край Азербайджана, являющийся в свое время одним из основ-

ных районов, где формировалась и развивалась куро-аракская культура эпохи освоения бронзы.

Нашиими этнографическими наблюдениями установлено, что в указанной зоне очажные подставки бытуют повсеместно как в горных, так



и в низменных районах. В частности, распространение их отмечено во всех кенгерлинских сельских населенных пунктах: Карабагларе, Шахтахты, Хоке, Гывраге, Юрдчу, Кабуллах и т. д. Используются они и во многих современных селах Шахбузского района.

По информации 70-летней жительницы с. Карабаглар Новрузовой Зохры Миргашим кызы, очажные подставки подковообразной формы с давних времен являются необходимым бытовым приспособлением для домашнего очага. По ее сведениям, для сооружения такой очажной подставки выбирается специальное место, над которым впоследствии уста-

навливается навес. Основа данных подставок изготавливается из толстых глиняных валиков или же небольших сырцовых кирпичей, а затем обмазывается жидкой глиняной массой и украшается различными орнаментальными мотивами.

Как правило, изготовление таких очажных подставок — сугубо женское занятие. Сырьем же для сооружаемых очагов служат главным образом глиняные залежи с. Кабулу, откуда особая глина доставляется во все районы Нахичевани. Замечено также, что в отдельных селах Нахичевани, в частности Шахбузского района, основа подковообразных очажных подставок сооружается из отдельных мелких камней и обмазывается толстым слоем глины.

Нами получены интересные данные относительно размеров современных образцов подковообразных очажных подставок. Установлено, что размеры их почти соответствуют размерам описанных подставок куро-аракской раннебронзовой культуры. Но в отличие от древних образцов, современные подковообразные очажные подставки не обладают мобильностью. Как правило, сооружаются они над специально выбранным очажным местом и таким образом являются стационарными приспособлениями. Такая особенность современных очажных подставок, нам кажется, является не иначе как следствие тех больших изменений, которые произошли за истекшие тысячелетия в быту и хозяйстве древнего населения территории Нахичеванского края. Они же не исключают те местные корни и традиции, которые наиболее ярко сказались в этой исторически неотъемлемой части Азербайджана.

Литература

1. Алекперов А. К. Крашеная керамика Нахичеванского края и Ванского царства С6, статей: Исследование по археологии и этнографии Азербайджана. — Баку, 1960, с. 55.
2. Абубулаев О. А. Археологические раскопки в Кюльтепе (на азерб. яз.). — Баку, 1958, с. 69—70, табл. 31.
3. Алиев В. Г. Древний Нахичевань. — Баку, 1979, с. 11—12.
4. Мурадов Ф. М., Исмаилов Г. С. Очажные подставки куро-аракской культуры из памятников Азербайджана.—Изв. АН АзССР, 1971, № 2, рис. 5, с. 60—61.
5. Исмаилов Г. С. Следы древнейших культур в междуречье Гурчай и Кенделанчай (на азерб. яз.). — Баку, 1981, с. 28.
6. Ханзадян Э. В. Культура Армянского нагорья в III тыс. до н. э. — Ереван, 1967;
7. Есян С. А. Скульптура древней Армении. — Ереван, 1980, с. 14.
8. Чубинишвили Т. Н. Амирание — гора. — Тбилиси, 1963, табл. XI.
9. Koşay H., Turfan K. Egzigim-Karaç kalsızapor.—Turktarlı kurgutu. Belleteren XIII, 1959, № 91, с. 39.
10. Куптин Б. А. Урартский колумбарий и куро-аракский энеолит. ВГМГ, XIII—В.—Тбилиси, 1955, с. 81, рис. 40.
11. Hood S. Excavations at Tabara el-Akrad, 1948—1949. Anatolian studies, 1951, v. 1, с. 139, р. 9.
12. Мунчаев Р. М. Древнейшая культура СевероВосточного Кавказа МИА ССР, № 100.—М., 1961, с. 125.
13. Мурадова Ф. М., Исмаилов Г. С. Очажные подставки куро-аракской культуры из памятников Азербайджана.—Изв. АН АзССР, 1971, № 2, с. 65.

Сектор археологии и этнографии
АН АзССР

Поступило 25. VI 1985

М. И. Элэкбэрова

НАХЧЫВАН МССР ЭРАЗИСИНДЭН ТАПЫЛМЫШ ГЭДИМ ОЧАГ ГУРГУЛАРЫНЫН БИР ГРУПУ ЫЛГҮЙНДА

Мэгалаа еркэн түнч дөврүнә анд нал шэкилли очаг гургуларынын елми шэрһинэ нээр олумышдур. Ерамыздан эввэл IV—III миннилликлэрдэ кениш юйлан бэлэ очаг гургулары ёрли экинчи-малдар тајфаларын мэшиштэндэ мүнүм јер тутмуш, мүэjjэи

налларда исэ од ајниилэ баглы диний мэрасимлэрдэ шилдэгилмишдир. Мараглыдырки, Азэрбайчан эразисинин ајры-ајры јерлэриндэ, о чүмлэдэн Нахчыванда назырда да нал шэкилли очаг гургулары назырланир вэ мэшиштэдэ истифадэ олунур.

M. I. Alekperova

ON A GROUP OF ANCIENT HEARTH CONSTRUCTIONS IN THE TERRITORY OF NAKHICHEVAN ASSR

In the article the role of a group of ancient hearth constructions made of clay in the economy, every day amenities and religious events is determined and the local tradition in their establishment is ascertained.

МҮНДӘРІЧАТ

Ријазијат

<i>Ф. Г. Магсудов, Т. М. Расулов.</i> Дәйнешен сәріләли област үчүн гојулмуш қазихэтті системин һәллинин јекаңында	3
<i>А. Д. Искендеров, А. А. Нифтиеев.</i> Квазихэтті еволюсиялы тәйликлөр үчүн оптималь идарәтмә мәсәләсі	7
<i>П. Ж. Нагиев, Е. М. Чәфәров, К. К. Һүсейнов.</i> Қоңд тәсәрүфаты саңаләринын сохканаллы сканердән алымыш аеротәсвирләрини Е1М-дә тәһлилдинин ба'зи иетиңеләри	11
Жарымкечиричиләр физикасы	
<i>Е. І. Салаев, Һ. Ә. Әләкбәров, І. Ә. Абдуллаев, Е. К. Һүсейнов, И. А. Насибов.</i> Чивә-кадмиумтеллур сәттинин плазмада оксидләшdirмә механизми һаггында	16
<i>Ч. И. Исмаїлов, І. Г. Әсадов, Һ. Б. Гасымов.</i> Cu _{1,75} Fe _{0,05} S әрнитисинин моно-кристалында структур чеврилмәләри	20
Енергетика	
<i>Ч. М. Чуварлы, Е. В. Дмитриев, А. М. Һәширов, В. М. Максимов, Б. М. Садыков.</i> Ифрат кәркинилек мәһдудлаштырычыларынын (ИКМ) моделләшdirилмәси үчүн сплай-интерполасијанын тәтбиғи	24
Жарымкечиричиләр физикасы	
<i>Е. І. Салаев, Һ. Ә. Әләкбәрова, І. Ә. Абдуллаев, Е. К. Һүсейнов, И. А. Насибов.</i> Чивәкадиум-теллур, сәттинин плазмада оксидләшdirмә механизми һаггында	26
Ұзви кимja	
<i>Ф. А. Асланов, А. З. Шыхмәмәдбәјова, И. Ф. Мәммәдјарова, Г. И. Бајрамов.</i> Таңкиндә азот олар алкоксиметил алкенилсиклоексанларын масс-спектрометрия методы иле конформасијаларынын тәдгиги	28
<i>Т. Н. Шаңтахтински, Һ. Л. Шик, В. В. Черников, Т. А. Исмаїлова, И. М. Данилочкина, О. М. Хочаев.</i> Маје фәзада толуолун оксидләшdirичи аммонолизи	33
Гејри-ұзви кимja	
<i>Ә. И. Нуриев, Б. З. Рзаев, Ә. М. Гараев.</i> (I)-тиостибтин юни методда алымасы	36
Физики кимja	
<i>Б. А. Дадашов, Е. И. Попова, Ә. Ә. Сарычанов, Х. Й. Асфарова, С. И. Аббасов.</i> Модификасија олуимуш тәбии морденит иұмупәләрини бензол вә су бухарлары иле адсорбсијасы	41
Жүксәммолекуллы бирләшмәләр кимјасы	
<i>Б. І. Трифел, Е. Б. Злејналов, В. А. Қаримова, Т. Д. Гулиев, К. С. Шыхлиев, Т. Г. Насыров.</i> Бүтилкаучукун кимјави модификасија просесине антиоксидантларын тә'сирі	45
<i>Ә. В. Рәнимов, Б. Ә. Мәммәдов, Ч. Һ. Исмаїлова, А. Т. Аббасова.</i> Фенол һидроксид группалары иле епихлориидләрини гарышылыглы тәсирине ганушаујгүнлүгләре	49
Кеокимja	
<i>И. С. Гулиев, Ф. Һ. Дадашов, А. И. Попов, Ә. Ә. Фејзулаев, Ш. Д. Фридман.</i> Атмосферин јеро жаһын гатында күн әрзинде дәјишилмәсниниң өфрән-ilmәснине даир	53

Биология

<i>А. М. Әфәндиев, Ә. Г. Исламзадә, А. Н. Гараев.</i> Полисен антибиотик-ләрин јерицилмәниң спичанларын бөјрәкләриңдә простагландин мубадиләсі ферментләрини активлијине тәбии вә синтетик антиоксидантларын тә'сирі	56
--	----

Палеонтология

<i>Г. Ә. Әлиев, Н. И. Лысенко.</i> Неринеллидләрин (Гастропода) тәсифаты һаггында	60
---	----

Торпагшұнасылыг

<i>Д. Г. Пономарјов.</i> Торпагын җашындан асылы оларға минерал чеврилмәсінә сәрф олунаи енержинин несабланмасы	66
---	----

Тибб

<i>Б. Ә. Вәлиев.</i> Хроники сатуризмииң кәсқинләшмә дөврү олар хәстәләрдә компенсатор-үргүилашма редаксијасы көстәричиси оларға периферик гана дејишилмәсі	70
---	----

Топонимија

<i>С. М. Рзаев.</i> Ширван дүзүнүн ба'зи топонимләриниң мәншәјине даир	75
--	----

Тарих

<i>М. М. Әлиев.</i> Император I Александрын Нахчыванлы Шыхәлибәյе мәктүбү	78
---	----

Археология

<i>Н. Х. Рамазанов.</i> Соң орта аср фаянс ицмчәси	81
<i>М. И. Әләкбәрова.</i> Нахчыван МССР әразисинде тапылмыш гәдим очаг түргуларынын бир группасы һаггында	85

СОДЕРЖАНИЕ

Математика

<i>Ф. Г. Максудов, Т. М. Расулов.</i> О единственности решения одной смешанной задачи для квазилинейной системы в области с переменной границей	3
---	---

<i>А. Д. Искендеров, А. А. Нифтиеев.</i> Задача оптимального управления для квазилинейных эволюционных уравнений	7
--	---

<i>П. Ю. Нагиев, Э. М. Джабаров, К. К. Һүсейнов.</i> Некоторые результаты машинной обработки материалов многоканальной сканерчай информации по сельскохозяйственным угодьям	11
---	----

Физика полупроводников

<i>Ә. Ю. Салаев, Г. А. Алекперов, Я. А. Абдуллаев, Е. К. Һүсейнов, И. А. Насибов.</i> О механизме плазменного окисления поверхности теллуридов кадмия—рутти	16
---	----

<i>Д. И. Исмайлова, Ю. Г. Асадов, Һ. Б. Гасымов.</i> Структурные превращения в монокристалле состава Cu _{1,75} Fe _{0,05} S	20
--	----

Энергетика

<i>Ч. М. Джұварлы, Е. В. Дмитриев, А. М. Гашимов, В. М. Максимов, Б. М. Садыков.</i> Применение сплай-интерполяции для моделирования ограничителей перенапряжений (ОНН)	24
---	----

Органическая химия

- Ф. А. Асланов, А. З. Шихмамедбекова, И. Ф. Мамедъярова, И. Г. Байрамса. Исследование конформации азотсодержащих алкенилциклогексанов методом масс-спектрометрии 28
 Т. Н. Шахтахтинский, Г. Л. Шик, В. В. Черников, Т. А. Исмайлова, И. М. Данилочкина, О. М. Ходжаев. Окислительный аммонолиз толуола в жидкой фазе 33

Неорганическая химия

- А. Н. Нуриев, Б. З. Рзаев, А. М. Караев. Разработка нового метода получения триостибита меди (I) 36

Физическая химия

- Б. А. Дадашев, Е. И. Попова, А. А. Сарыджанов, Х. Ю. Асфарова, С. И. Абасов. Адсорбция паров бензола и воды на модифицированных образцах природного морденита 41

Химия высокомолекулярных соединений

- Б. Ю. Трифель, Э. Б. Зейналов, В. А. Керимова, Т. Д. Кулиев, К. С. Шихалиев, Т. Г. Гасанов. О влиянии антиоксидантов на процесс химической модификации бутилкаучука 45
 А. В. Рагимов, Е. А. Мамедова, Ч. О. Исмайлова, А. Т. Аббасова. Закономерности взаимодействия фенольных гидроксильных групп с эпихлоргидрином 49

Геохимия

- И. С. Гулиев, Ф. Г. Дадашев, А. И. Попов, А. А. Фейзулаев, Ш. Д. Фридман. К изучению суточных вариаций метана в приземном слое атмосферы 53

Биохимия

- А. М. Эффендьев, Ф. Г. Ислам-заде, А. Н. Караев. Влияние природных и синтетических антиоксидантов на активность ферментов метаболизма простагландинов в почках крыс при действии полценовых антибиотиков 56

Палеонтология

- Г. А. Алиев, Н. И. Лысенко. К систематике перинеллид (гастроподы) 60

Почвоведение

- Д. Г. Пономарев. Расчет энергии, пошедшей на минеральные преобразования, в зависимости от возраста почвы 66

Медицина

- Б. А. Велиев. Сдвиги лейкоцитов периферической крови как показатель компенсаторно-приспособительной реакции у больных с обострением хронического сатуризма 70

Топонимия

- С. М. Рзаев. К происхождению некоторых топонимов ширванской изменности 75

История

- М. М. Алиев. Послание императора Александра I Шихали Беку Нахичеванскому 78

Археология

- Р. Х. Рамазанова. Позднесредневековое фаянсовое блюдо 81
 М. И. Алекперова. Об одной группе древних очажных подставок из территории Нахичеванской АССР 85

9. Текст статьи печатается на белой бумаге через два интервала на одной стороне листа стандартного размера, с полями с левой стороны (не более 28 строк на одной странице по 58—60 знаков в строке). В тексте нельзя делать рукописные вставки и вклейки.

Статьи, напечатанные на портативной машинке, не принимаются.

10. Текст статьи должен быть изложен кратко, тщательно отредактирован и подписан авторами в печать. В математических статьях желательно избегать доказательств теорем, лемм и т. п. При использовании в тексте сокращенных названий (кроме общепринятых) необходимо давать их расшифровку.

11. Математические и химические формулы и символы в тексте должны быть вписаны четко. Следует избегать громоздких обозначений, применения, например, дробные показатели степени вместо радикалов, а также expr. Занумерованные формулы обязательно включаются в красную строку, номер формулы ставится у правого края страницы. Желательно нумеровать лишь те формулы, на которые имеются ссылки. Подстрочные и надстрочные индексы и степени следует отмечать карандашом, дугами сверху и снизу:

$$R^n, r_n$$

Греческие буквы нужно обводить (в кружок) красным карандашом. Буквы готического шрифта и рукописные в рукописях не использовать, векторные величины — подчеркивать черным, буквы латинского рукописного шрифта следует отметить на полях (например, Н рукоп.).

Во избежание ошибок следует четко обозначать прописные (заглавные) и строчные буквы латинского алфавита, имеющие сходное начертание (Cc; Kk; Pp; Oo; Ss; Uu; Vv; и т. д.), буквы I(i) и J(j) букву I и римскую единицу I, а также арабскую цифру I и римскую I', (вертикальная черта), I и штрих в индексах, I (латинское эль) и e. Прописные буквы подчеркивают карандашом двумя черточками снизу (C), а строчные — сверху (c.).

Следует избегать знаков типа ~ (волна), ⊖, ⊕, ⊗; □ | ⊖ ◊, √ ∙ (крышки) над и под буквами, а также знаков:

$$h \times \underline{e}, \underline{f}f, \underline{\phi}, \underline{\varphi}$$

Латинские названия вписываются на машинке.

Слова «теорема», «лемма», «следствие», «определение», «замечание» и т. п. следует подчеркивать штриховой чертой, а текст утверждений типа теорем — волнистой чертой (исключая математические символы).

При выборе единиц измерения рекомендуется придерживаться международной системы единиц СИ.

12. При описании методики исследования следует ограничиваться оригинальной ее частью. При элементном анализе приводить только усредненные данные.

13. Необходимо тщательно проверять написание местных географических названий.

14. Цитированная литература проводится общим списком на отдельной странице: ссылки в тексте даются порядковым номером в круглых скобках над строкой (например, 1). Список литературы оформляется следующим образом:

для книг: инициалы и фамилии авторов, полное название книги, место и год издания;

для журнальных статей: инициалы и фамилии авторов, название журнала, номер тома, номер выпуска, страница и год издания.

Ссылки на неопубликованные работы не допускаются.

15. Все статьи должны иметь резюме на английском языке, кроме того, статьи, написанные на русском и азербайджанском языках, должны иметь резюме на азербайджанском и на русском соответственно.

Публикация статьи в «Докладах» не препятствует напечатанию расширенного ее варианта в другом периодическом издании.

Индекс
76355

70 гэп.
коп.